

Vysoká škola: **strojní a textilní** Fakulta: **strojní**
V **Liberci**
Katedra: **obrábění a montáže** Školní rok: **1982/83**

ZADÁNÍ DIPLOMOVÉ PRÁCE

(PROJEKTU, UMĚleckého díla, UMĚleckého výkonu)

práce **Daneše Bitnara**
obor **23 - 07 - 8 strojírenská technologie**

Vedoucí katedry Vám ve smyslu nařízení vlády ČSSR č. 90/1980 Sb., o státních závěrečných zkouškách a státních rigorózních zkouškách, určuje tuto diplomovou práci:

Název tématu: **Ověřovací zkoušky sériově vyráběných
kopírovacích nožů**

Zásady pro vypracování:

1. Teoretický rozbor upínacího systému
2. Experimentální ověření výsledků rozboru
3. Stanovení pracovního rozsahu na dvou
druzích obráběného materiálu
4. Porovnání destiček Pramet s destičkami
z dovozu
5. Zhodnocení a závěr

Autorské právo se řídí směrnicemi
MSK pro státní záv. zkoušky č.j. 31
727/62-I/2 ze dne 13. července
1962. Věstník MSK XVIII, sečt 24 ze
dne 31.8.1962 § 19 aut. z. č. 115/53 čb.

VYSOKÁ ŠKOLA STROJNÍ A TEXTILNÍ
Ústřední knihovna
LIBEREC 1, STUDENTSKÁ 5
PSČ 461 17

Rozsah grafických prací: **dle potřeby**

Rozsah průvodní zprávy: **50 - 60 stran textu**

Seznam odborné literatury:

Technická dokumentace a podklady z k.p. Nářadí, Děčín

**Zirm, H.: Stanovení potřebných upínacích sil břitových
destiček soustružnických nožů. (Diplomová práce). VŠST Liberec 1980**

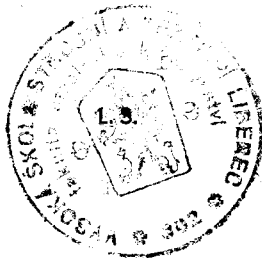
**Procházka, Z.: Pracovní rozsah vnitřních soustružnických
nožů s vyměnitelnou břitovou destičkou. (Diplomová
práce). VŠST Liberec 1980**

Vedoucí diplomové práce: **Ing. Vladimír Gabriel**

Konzultant DP: **Ing. Petr Tschakert, k. p. Nářadí, Děčín**

Datum zadání diplomové práce: **15. 10. 1982**

Termín odevzdání diplomové práce: **27. 5. 1983**



Gazda
Doc. Ing. Jaromír Gazda, CSc.

Vedoucí katedry

Stříž
Doc. RNDr. Bohuslav Stříž, CSc.

Děkan

v Liberci dne 10. 10. 1982

„Místopředsedně prohlašuji, že jsem diplomovou práci vypracoval
kompletně a použitím uvedené literatury.“

V Liberci, dne 27.5. 1983

Daneo Blyne
.....
vlastnoruční podpis

Vysoká škola strojní a textilní
nositelka Řádu práce

Fakulta strojní

obor 23 - 07 - 8

strojírenská technologie
zaměření

obrábění a montáže

Katedra obrábění a montáže

OVĚŘOVACÍ ZKOUŠKY SÉRIOVÉ VÝRÁBĚNÝCH KOPÍROVACÍCH NOŽŮ

Jméno a příjmení autora : Daneš Bitnar

Vedoucí práce :

Ing. Vladimír Gabriel

KOM VŠST Liberec

Konzultant : .

Ing. Petr Tschackert

Národní k.p. Praha
závod Děčín

Rezeh práce a přílohy :

Počet stran 112

Počet příloh a tabulek

Počet obrázků 43

Počet výkresů 11

Počet modelů nebo

jiných příloh

Datum: 27.5. 1983

O b s a h

strana

Seznam použitých symbolů a zkratek	
1. Úvod	
2. Kriteria hodnocení	
2.1 Nástroje ke zkouškám a řezné materiály	
3. Teoretický rozbor možností funkce upínání ...	
3.1 Posouzení maximálního výkyvu čepu s ohledem na tolerance	
3.1.1 Sestavení algoritmu výpočtu	
3.1.2 Výpočet algoritmu	
3.1.3 Stanovení potřebné délky kolíku l_k	
3.2 Teoretický rozbor zatížení břitové destičky .	
3.2.1 Stanovení velikosti složek řezné síly	
3.2.2 Posouzení stability břitové destičky v sedle nože pro různé varianty dotyku a zjištění potřebné upínací síly F_{up}	
3.2.2.1 Řešení dotyku v bodech B a D - varianta I ... u nože 1	
3.2.2.2 Řešení dotyku v bodech A a C - varianta II u nože 1	
3.2.2.3 Řešení varianty I a II u nože 2	
3.2.2.4 Upínací síly u nože 1	
3.2.2.5 Upínací síly u nože 2	
3.2.3 Zjištění upínací síly vyvozené upínacím mechanismem	
3.2.3.1 Zjišťování upínací síly F_{um} výpočtem	
3.2.3.2 Zjištění skutečné upínací síly F_{us} nepřímým měřením	
3.2.3.3 Zjištění skutečné upínací síly F_{us} přímým měřením	
3.2.4 Porovnání zjištěných hodnot upínacích sil ...	

4.	Bezpečnost upnutí břitové destičky upínacím mechanismem
5.	Pevnostní výpočet upínacího mechanismu
5.1	Kontrola nebezpečných průlezů čepu
5.2	Výpočet kontaktních napětí na stykových místech upínacího mechanismu
5.3	Výpočet průhybu čepu
5.4	Zhodnocení pevnostního výpočtu upínacího mechanismu
5.5	Návrh nového upínacího čepu
6.	Pracovní rozsah nožů
6.1	Stanovení pracovního rezahu na materiálu 12 050.1
6.2	Utváření třísky na materiálu 15 260
6.3	Utváření třísky na materiálu 17 246.4
7.	Stanovení trvanlivosti břitových destiček ..
7.1	Porovnání naměřených hodnot
8.	Závěr
	Literatura

Seznam použitých symbolů a zkrátek

- l - označení nože
- 2 - označení nože
- a - délka stykové plešky
- A - opěrný bod mezi břitevou destičkou a tělesem nože
- b - rozměr stykové plešky
- b_i - rozměr geometrický na výkyvném čepu
- B - opěrný bod na tělese nože
- c - rozměr na upínacím mechanismu
- C - opěrný bod na tělese nože
- d - rozměr na upínacím mechanismu
- d_D - vnitřní průměr destičky
- d_C - průměr hlavy čepu
- d_S - průměr čepu
- D_d - průměr otveru pro čep
- d₂ - střední průměr závitu
- D_i - průměry stykajících se těles
- e_i - rozměr na upínacím mechanismu
- E - bod na čepu, modul pružnosti materiálu
- f, f' - koeficienty tření
- f_z - koeficient tření v závitech šroubu
- F_{ci} - cejchovní hodnoty sležek řezných sil
- F_{ij} - síly na břitevě destičce ve směru souřadních os
- F_• - osová síla na šroubu
- F_{um} - upínací síla vyvzená mechanismem při teoretickém výpočtu
- F_{up} - potřebná upínací síla
- F_{us} - skutečná velikost upínací síly
- F_x - sležka řezné síly ve směru posuvu
- F_y - sležka řezné síly ve směru přísluvu
- F_z - sležka řezné síly ve směru řezné rychlosti

- h – hodnota vysunutí kolíku v mezní poloze
- h_0 – počáteční vysunutí kolíku v nulevé poloze
- h' – výška břitevě destičky
- H – bod na hlevě čepu
- i – číselný index, rozměr v upínacím mechanismu
- j – písmenný index, rozměr v upínacím mechanismu
- k – koeficient cejhevní přímky
- k_i – koeficient bezpečnosti
- l_j – geometrické vzdálenosti v upínacím mechanismu, vzdálenosti
pólu pohybu od příslušné sily
- l_{ci} – geometrické rozměry na čepu
- L – hodnota vyležení nože
- m – konstanta, rozměr v upínacím mechanismu
- M – moment síly
- n – konstanta, rozměr v upínacím mechanismu
- N_e – bod na tělesse nože, normálná síla mezi břitevou destičkou
a lůžkem nože působící v osce z
- N_j – normálné reakce na styku břitevě destičky a tělesa nože
- ϵ_i – osa kolem níž se uskutečňuje naklepení
- p_D – dovedený tlak
- p_i – maximální tlak na stykovou plešku
- q – síla působící na jednotku délky
- r_{ji} – remena momentů sil k ose ϵ_i
- R_j – reakce ve stykových místech upínacího mechanismu
- R_c – fiktivní reakce sdruženého nosníku
- s – pesuv, rozměr na břitevě destičce
- S – směrodatná odchylka
- t – hlesubka třísky
- t_i – geometrický rozměr v mechanismu
- T_1 – trvanlivost nástroje v minutách při jedné řezné rychlosti

T_{ki}	- korigovaný čas na jeden záběr
T_{xy}, T_z	- složky třetí síly
U	- bod na břitevě destičce
U_i	- průměrná cejchovní hodnota složek řezných sil vyjádřená v mV
v	- řezná rychlosť
v_{si}	- hodnota střední rychlosti
x_i	- souřadnice okamžitého polo umístění vzhledem k počátku volné souřadné soustavy, hodnota vychýlení čepu
y_i	- souřadnice okamžitého polo umístění, vychýlení čepu
w_1	- průhyb volného konce čepu
w_N	- celkový průhyb čepu
α	- konstanta, polovina vrcholového úhlu kuželevého konce kolíku
β	- konstanta
κ	- úhel steupání šroubovice závitu
δ	- úhel na břitevě destičce
δ_i	- velikost kontaktní deformace v místě i
γ	- pomocná veličina při výpočtu kontaktních deformací
γ_c	- sklon tečny k shybové čáře v místě C
χ_r	- hlavní úhel nastavení nože
π	- Ludolfovo číslo
Γ_{ei}	- shybové napětí v kritickém průřezu i
Γ_{pt}	- mez pevnosti materiálu v tahu
Γ_{kt}	- mez kluzu v tahu
Γ_{kd}	-mez kluzu v tlaku
f_j	- orientovaný úhel mezi osou x a spojnicí polo j s bodem N.
φ_i	- orientovaný úhel polohy destičky vůči souřadné soustavě; úhel, který svírají reviny maximálních polemérů křivesti
ψ	- orientovaný úhel mezi nositelkou síly F_{up} a osou y

w_i	- orientovaný úhel mezi nositelkou osy e_1 a osou x
min.	- minimální
max.	- maximální
např.	- například
obr.	- obrázek
tab.	- tabulka
tav.	- takzvaný
BD	- břítevá destička
Pl	- plynulá tříška
M	- metaná tříška
Š	- tříška tvaru šroubevice
ŠDM	- šroubevice dlouhá malého průměru
ŠKV	- šroubevice krátká velkého průměru
U	- utvářená tříška
U - CH	- utvářená tříška za chvění stroje

1. Úvod

Nestálý růst nároků na výkonnéost nástrojů vede k vývoji nových typů upínání vyměnitelných břitevých destiček. Cílem vývoje je zvýšení stability břitevých destiček v lůžku destičky, protože právě tato stabilita má rozhodující význam pro kvalitu a přesnost obroběného povrchu. V ČSSR se konstrukcí a vývojem řezných nástrojů zabývá k.p. Nářadí Praha, závod Děčín. Nástroje se konstruuují na základě zkušeností konstruktéra, který je při návrhu omezen podmínkami ekonomickými, normalizačními a také funkčními. Řezné nástroje musí splňovat řadu náročných a často protikladných požadavků. Především musí zajišťovat vysokou produkcí, tím tedy umožňovat použití vysokých hodnot řezných podmínek. S tím souvisí vysoká tvrdost, otěruvability, stálost tvrdosti za vysokých teplot. Nástroj má mít vysokou životnost při velmi malém opětřebení, má snášet plynulý i přerušovaný řez. Měl by být tuhý a s minimální deformací snášet zatížení řeznou silou. S těmito požadavky úsce souvisí vysoká pevnost ale i houževnatost materiálu nástroje. To vše při snadné výrobě a úmerné výrobní ceně. V poslední době se setkáváme na světovém trhu se stále dokonalejšími řeznými nástroji s originálním řešením upínacích mechanismů, optimální úpravou sedla nože. Mezi nejznámější výrobce tohoto sortimentu patří západoněmecká fa. Krupp, švédská Ceramant, rakouská Tizit. Tyto nástroje mají v celku větší pracovní možnosti v porovnání s nástroji Marex. Současné konstrukce řezných nástrojů lze rozdělit do dvou základních typů:

- a) nástroje z břitovou destičkou upínanou svrchu upínkou
- b) nástroje z břitovou destičkou upínanou za středový otvor

šroubem

c) nástroje s břítevou destičkou upínanou za středový otvor výkyvným elementem.

V nástrojích prvého typu se obvykle používají břítevé destičky hladké a příložné utváreče, méně časté je použití předlisovaných utvárečů. Nástroje druhého typu bývají osazeny destičkami s předlisovanými utváreči třísky. Ze získaných zpráv a zkušebních protokolů, které se touto problematikou zabývaly, vyplývá, že při upínání svrchu je malá bezpečnost proti působení sil v rovině čela destičky, za tím co při upnutí za otvor je nižší bezpečnost ve směru kolmém. V tomto případě je potřeba věnovat větší pozornost jak správnosti a přesnosti funkce upínacího mechanismu, tak především jeho tuhosti. Velmi důležitým faktorem, který má značný vliv na stabilitu břítevé destičky v sedle nože, je velikost upínací síly vyvozené upínacím mechanismem u konkrétního typu nože. Hodnoty upínacích sil se zjišťují experimentálně měřením nebo teoretickým výpočtem. Podle jejich velikosti za daných řezných podmínek se posuzuje stabilita destičky v lůžku nože, t.j. dochází-li k naklápení či otáčení v průběhu obrábění. V současné době je snaha nástroje s vyměnitelnou břítevou destičkou konstruovat tak, aby se potřebné síly vyvozené upínacím mechanismem snižovaly, čímž by se zmenšilo i namáhání jednotlivých upínacích elementů. Z hlediska funkčních vlastností nástroje je důležité také použití druhu řezného materiálu. S velkou výhodou se v několika posledních letech používají destičky s velmi tvrdými povlaky jako jsou TiC, TiN, Al₂O₃. Dnes již velká většina výrobců (např. fa. Krupp, Tizit, Böhlerit apod.) nabízí destičky s několikavrstvými povlaky. Už i u nás se v současné době můžeme setkat s no-

vými povrchově upravovanými destičkami, které vyrábí n.p. Pramet - Šumperk. Technologie povlakování umožňuje použít na výrobu destiček relativně houževnatého druhu slinutého karbidu a velmi tvrdý povlak dává celému nástroji požadovanou živostnost. Další výhodou povlakovaných destiček je jejich použití v širší oblasti obráběného materiálu, což ve svém důsledku snižuje nároky na velikost zásob, skladové hospodářství aped.

Cílem této práce je tedy především provést ověřovací zkoušky u nás vyráběných kopírovacích nožů Marex, t.j. posoudit možnosti upínání, stanovit pracovní rozsahy a schopnosti na základě experimentálně získaných údajů a v neposlední řadě porovnat používané druhy řezných materiálů tuzemské a zahraniční výroby pro tyto nože.

2. Kritéria hodnocení

Funkci seustužnického nože s VD ovlivňují jeho tři komponenty, a to BD, těleso nože a upínací mechanismus. Všechny tyto komponenty na sebe vzájemně působí a proto je zřejmé, že pracovní vlastnosti nože pak nelze zjistit odděleně, nýbrž ve vzájemné souvislosti. U hodnocených kopírovacích nožů byl proveden teoretický rozbor a získané výsledky ověřeny experimentálním měřením. Při svých úvahách jsem vycházel z údajů získaných v jiných výzkumných zprávách, které se touto problematikou zabývaly. Teoretický rozbor možností funkce upínání jsem zaměřil především na tato kritéria :

- a) možnosti výkyvu čepu s přihlédnutím k výrobním tolerancím
- b) velikost upínací síly zjištěné experimentálně, velikosti upínací síly vyvozené mechanismem a síly získané na základě rozboru podmínek stability břitové destičky
- c) míru bezpečnosti upnutí vyjádřenou bezpečnostním koeficientem
- d) pevnostní kontrolu a kontrolu na otlačení ve stykových místech upínacího mechanismu.

V praktické části úkolu se prováděly v dílnách katedry ověřovací zkoušky kopírovacích nožů orientované ke stanovení

- e) oblasti utváření třísky na dveu druzích obráběného materiálu
- f) řezivosti BD tuzemské a zahraniční výroby
- g) pracovních rozsahů na etalonovém materiálu 12 050.1

Všechny získané údaje byly zpracovány do tabulek a grafických závislostí s následným vyhodnocením.

2.1 Nástroje ke zkouškám a řezné materiály

Zkoušky jsme prováděli na soustružnických kopírovacích nožích s vyměnitelnou břitovou destičkou upínanou za otvor. Jedná se o nože, označené podle podnikové normy PN 22 05 28 ($\lambda_r = 93^\circ$)

PN 22 05 27 ($\lambda_r = 63^\circ$) nebo podle ISO

PDNNL 25 25 M 15 ($\lambda_r = 63^\circ$)

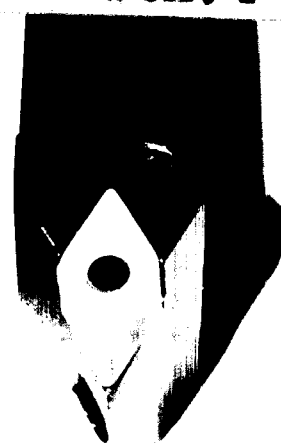
PDJNR 25 25 M 15 ($\lambda_r = 93^\circ$)

Z podniku nářadí Děčín jsme dostali k dispozici dva nože PN 22 05 28 a nůž PN 22 05 27 byl k dispozici v našich laboratořích. Oba nože jsou na obrázku obr. 2 - 1.

Nůž 1



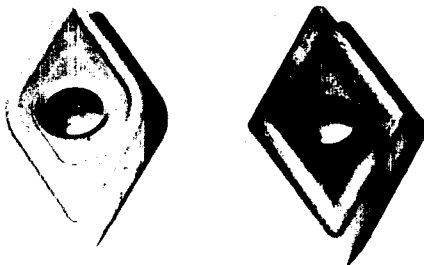
Nůž 2



obr. 2 - 1

Jedná se o nože s t. zv. negativní geometrií $\neq \lambda_s = -6^\circ$, $\neq \lambda_n = -6^\circ$. Nůž 1 je pravý kopírovací nůž s úhlem nastavení $\lambda_r = 93^\circ$. Nůž 2 je levý kopírovací nůž s úhlem nastavení $\lambda_r = 63^\circ$. Oba nože mají shodný upínací mechanismus unifikovaného systému upínání Marex a to i rozměrově. Průřezy k držáku jsou 25 x 25 mm. Pod břitovou destičkou je uložena podložná karbidová destička aretrovaná dutým nýtem. Při zkouškách byly nože osazovány břitevními destičkami DNMM 15 06 08 Gm 25 Tizit výrobce Metallwerk Plansee AG a destičkami Pramet S 20 a Pramet S 20/CN výrobce n.p. Pramet

Šumperk uvedenými na obr. 2 - 2.



GM 25 Tixit Pemat S 20

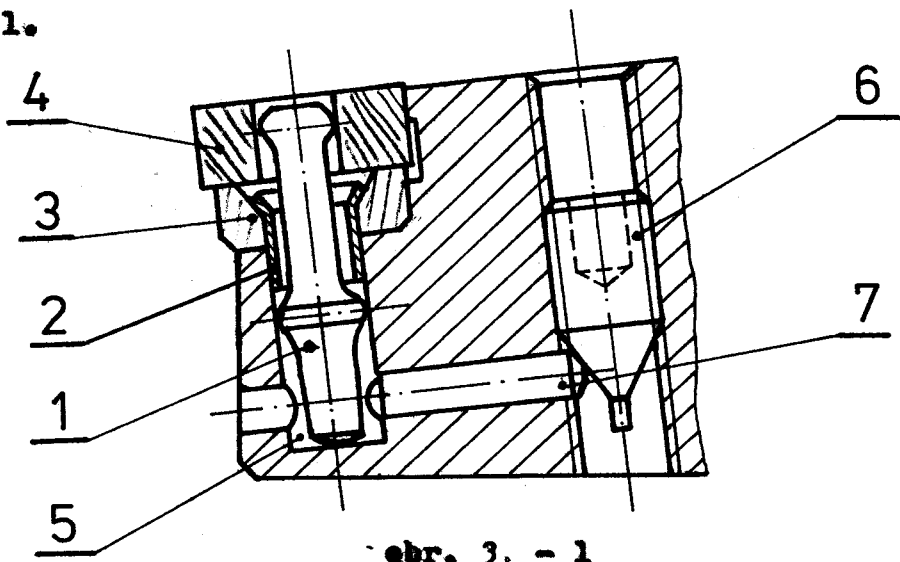
Obr. 2 - 2

U všech nástrojů a jejich součástí jsem proměřil jednotlivé rozměry, které by mohly ovlivnit správnou činnost upínacího mechanismu nebo zapříčinit špatné dosednutí BD v lůžku nože. Všechny naměřené hodnoty se shodovaly s výkresovými nebo se pohybovaly v mezích daných tolerancemi ve výkresové dokumentaci.

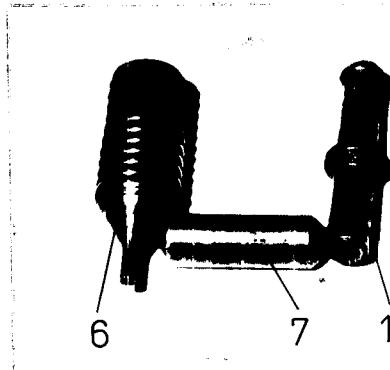
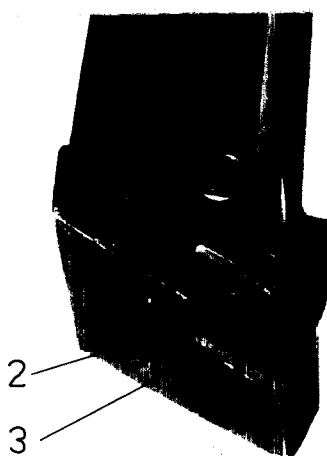
3. Teoretický rozbor možností funkce upínacího mechanismu

Uzlevým bodem všech nástrojů s vyměnitelnými destičkami je jejich spojení s vlastním tělesem nástroje. Upínací systém musí být dostatečně tuhý, aby zabezpečoval polohu destičky v jejím lůžku a nesmí dovolovat chvění destičky nebo její naklápění či natáčení nezávisle na tělese nože. Musí být dále dostatečně jednoduchý, aby umožňoval rychlou výměnu destičky přímo v obráběcím stroji. U soustružnických nožů existuje řada konstrukcí upínacích systémů vyměnitelných břitových destiček. V tomto případě se jedná o systém upínání výkyvným čepem za průchozí otver v BD. Schéma je nakresleno na obr.

3 - 1.



Břitová destička 4 je do sedla upínána čepem 1, procházejícím rovněž dutým nýtem 2, který aretuje podložku 3. Čep je volně uložen svou střední částí v otveru 5 a sedá na jeho dno. Vlastní upínání se děje utahováním šroubu 6 s vnitřním šestihranem, působícím svým kuželovým zakončením na mezičlánek - kolík 7. Kolík pak kulovým koncem tlačí na dolní část čepu a způsobí jeho vykývnutí s následným upnutím destičky horní části čepu. Proti vypadnutí z otveru 5 je čep jištěn dutým nýtem.



obr. 3 - 3

obr. 3 - 2

Obr. 3 - 2 a obr. 3 - 3 představuje upínací elementy unifikovaného systému upínání Narex.

Nůž 1 v tomto provedení byl vyroben podle výkresů č.

sestava - Tk 16 072 s

těleso nože - Tk 32 03 s

upínací čep - Tk 14 18 s/9

kolík - Tk 14 19 s

upínací šroub - Tk 14 24 s

podložka - Tk 14 10 s

dutý nýt - Tk 14 39 s

detail hlavy nože-Tk 15 990 s

Nůž 2 byl zhotoven podle výkresů č.

sestava - Tk 16 072 s

těleso nože - Tk 32 26 s

detail hlavy nože-Tk 16 034 s

kolík, upínací šroub, podložka a nýt podle stejných výkresů jako u nože 1.

3.1 Posouzení maximálního výkyvu čepu s ohledem na tolerance

U sledovaných nožů je třeba posoudit vliv tolerancí jednotlivých částí nože a jeho součástek na samotnou funkcí upínání. Vzhledem k charakteru výroby můžeme získat v rámci tolerančních polí různé hodnoty rozměrů součástí nože. Ve výpočtech budou tedy hrát hlavní roli krajní meze rozměrů, získané z výkresové dokumentace. Proto provedeme rozbor výkyvu čepu pro tyto mezní rozměry a porovnáme je s rozbořem provedeným pro skutečné hodnoty rozměrů součástek neže. K porovnávání výsledky zjištěné při mezních hodnotách s výsledky získaných při hodnotách skutečných, měly by tyto ležet v intervalu daném výsledky rozboru při horních a dolních mezních rozměrech. Cílem tohoto rozboru bude tedy posoudit možnosti výkyvu čepu počtu čepu při upnutí BD, posoudit vliv délky kolíku na velikost výkyvu a stanovit potřebnou délku kolíku. V případě, kdybychem uvažovali všechny vlivy, které postihují velikost výkyvu čepu, stala by se celá úloha velmi komplikovaná a nепřehledná. Proto musíme nutně přistoupit k řadě zjednodušení, které nám umožní vyvodit snažší závěry na daný problém. Předně při mych úvahách budu vycházet z těchto zjednodušujících předpokladů :

- a) všechny pohyblivé části se posouvají v osách nebo se otáčejí kolem pevného nepohyblivého bodu (okamžitého pólu pohybu)
- b) dále předpokládáme, že celý mechanismus je absolutně tuhý
- c) všechny rovinné dotykové plochy jsou absolutně rovné a hladké
- d) při výkyvu čepu zanedbáváme vliv změny polohy dotykového bodu H a E (odvalem přímky po kružnici). Tedy všechny výpočty provádíme pro koncový bod kolíku E a dotykový bod H. viz. obr. 3 - 4.

e) všechny posuvy a výkyvy počítáme a měříme v rovině rovnoběžné s rovinou lůžka procházející danými body H a E. Toto zjednodušení si můžeme dovolit, neboť výkyv čepu je velmi malý a chyba proti případu, kdy uvažujeme změnu polohy dotykového bodu, činí řádově 10^{-2} - 10^{-3} mm. Na základě uvedených zjednodušení můžeme tedy sestavit algoritmus výpočtu pro výkyv upínacího čepu.

3.1.1 Sestavení algoritmu výpočtu

Na obr. 3- 5 je zakreslena hlava nože v řezu se zakótovanými hlavními rozměry. Velikosti potřebných rozměrů jsou zapsány v tab. 3.1. Upínací čep se otáčí kolem pevného bodu O, okamžitého polu otáčení. Naším úkolem je stanovit dráhu, kterou vykoná bod E a bod H v rovině rovnoběžné s rovinou lůžka pro určitý výkyv čepu, jež odpovídá příslušnému vysunutí kolíku. Při zasazování břitové destičky do sedla nože musí hlava čepu projít otvorem v břitové destičce, přičemž osa čepu je kolmá na rovinu sedla. Tuto polohu budeme napříště označovat jako nulovou polohu čepu. Na tom, jestli je čep v nulové poloze, závisí vysunutí kolíku ve spodní části upínacího mechanismu. viz. obr. 3 - 4.

Přesah kolíku potřebný pro nulovou polohu čepu je označen h_0 a specítá se podle vztahu

$$h_0 = \frac{1}{2} \cdot (D_d - d_s) + k \quad (3.1)$$

Hodnota K je vůle mezi kulovým povrchem čepu a válcovým povrchem tělesa nože a je též vyznačena na obr. 3 - 4. Má-li kolík délku l_k a je-li maximálně zasunut, t.zn. dosedá - li na stopku upínacího šroubu, pak přesah činí velikost h, jež je vyjádřena vztahem (obr. 3 - 5)

$$h = l_k - l_r - \frac{D_d}{2} - m_1 + m_2$$

(3.2)

Na příště tuto polohu čepu budeme nazývat polohou mezní.

Platí - li podmínka $h_o \geq h$, pak lze BD zasadit do lůžka nože.

Ovšem pro podmínku $h_o < h$ BD zasadit nepůjde, neboť čep bude vychýlen v kladném smyslu a bude přesahovat přes hranu upínače otveru o hodnotu y_1 . Hodnota y_1 nám udává potřebnou velikost výkyvu bodu H do upínačí polohy a získáme ji

$$y_1 = x_2 + x_3$$

(3.3)

Hodnota x_2 je velikost posunutí bodu H při vychýlení čepu z nulové polohy v záporném smyslu. Platí vztah, že

$$x_2 = \frac{1}{2} d_\xi - (k + t_1)$$

(3.4)

Hodnota t_1 je zakotována na obr. 3-8 a její velikost udává tab. 3.2. Velikosti posuvu x_2 bodu H odpovídá posuv x_1 bodu E. Odhadnutu x_1 se tedy kolík zasune a je-li příliš dlouhý, je nutné jeho zkrácení minimálně o tuto hodnotu. Platí

$$x_1 = \frac{1}{2} d_\xi - (k + t_1) \cdot \frac{l_{\xi 1}}{l_{\xi 2}} \cdot \frac{1}{l_{\xi 2}} \quad (3.5)$$

Velikost posuvu x_3 je pak dána vztahem

$$\frac{x_3}{x_4} = \frac{l_{\xi 1}}{l_{\xi 2}} \Rightarrow x_3 = \frac{x_4 \cdot l_{\xi 2}}{l_{\xi 1}} \quad (3.6)$$

a vyjadřuje posuv bodu H z nulové polohy v kladném smyslu.

Hodnotě x_3 odpovídá posuv v bodě E označení x_4 .

$$x_4 = |h - h_o|$$

(3.7)

Hodnota y_2 je celkový posuv bodu E při výkyvu čepu z původní polohy do upínačí polohy.

$$y_2 = x_1 + x_4$$

(3.7.1)

Velikost rozměru t_1 obr. 3 - 8 byla získána v revině řezu hlavou než pedle vztahu

$$t_1 = \frac{1}{2} \cdot d_D - q + s \quad (3.8)$$

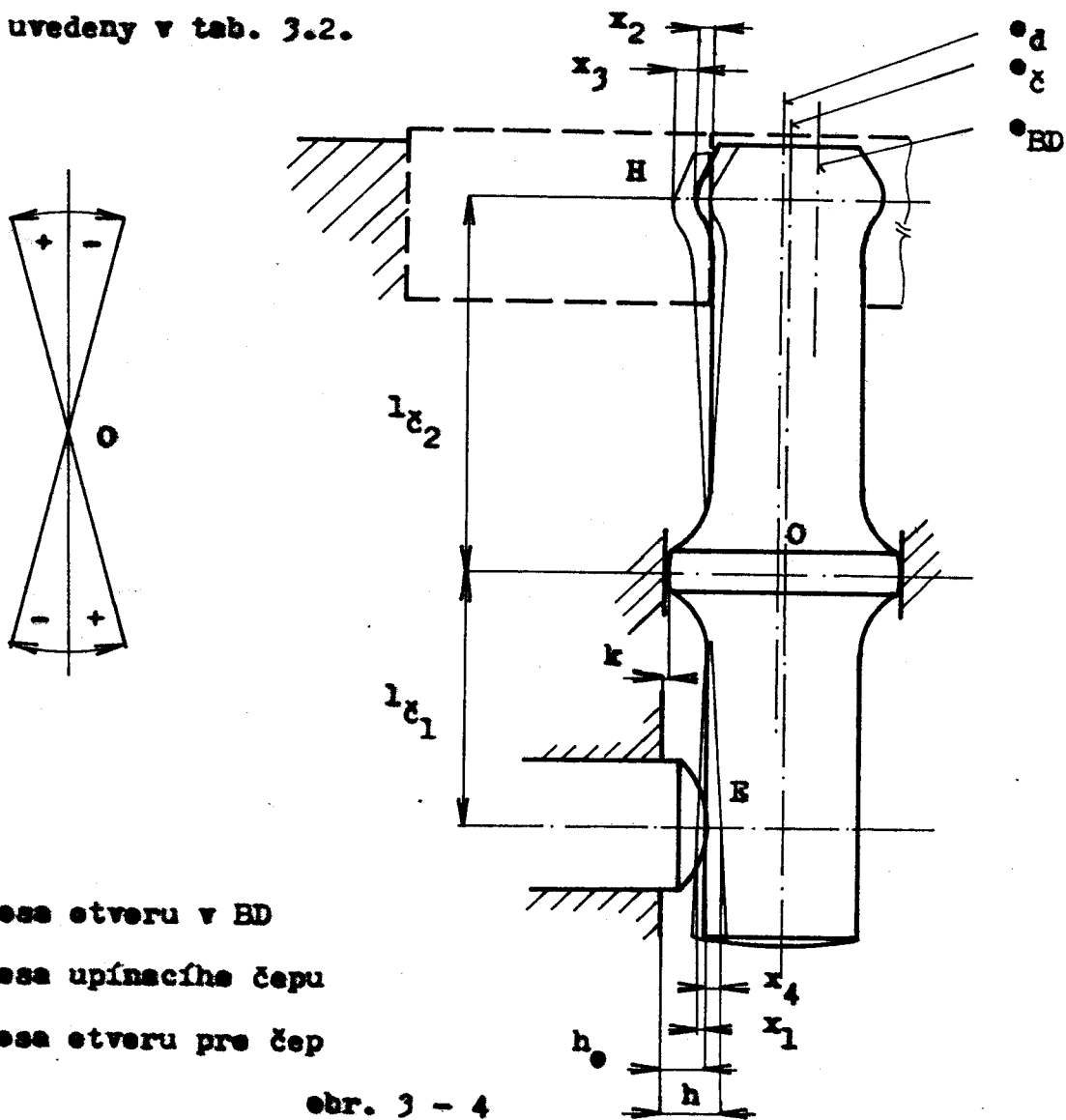
kde hodnota q se stanoví pedle obr. 3 - 6. Její velikost je dána vztahem

$$q = \frac{i}{ces} \quad (3.9)$$

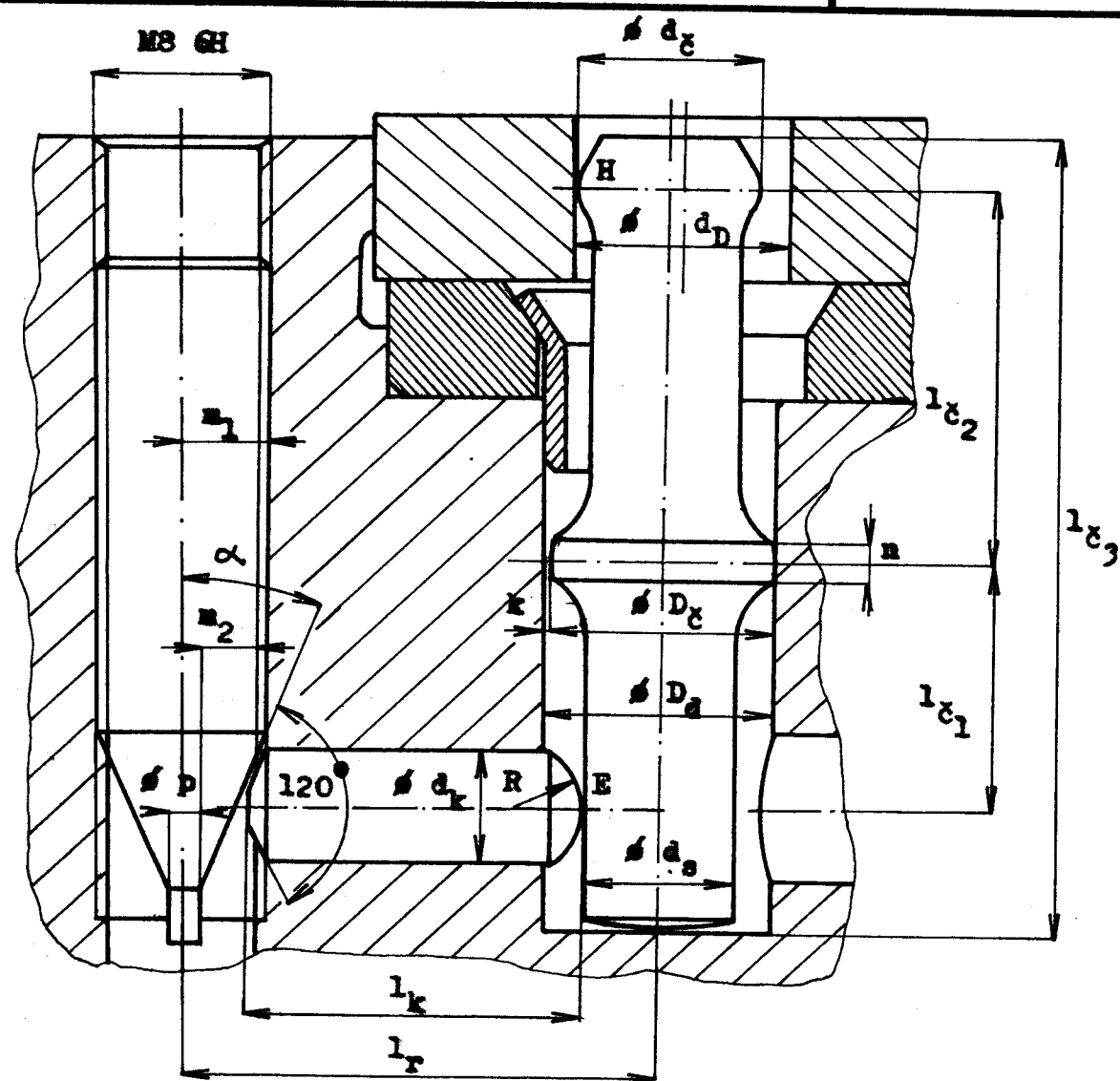
a velikost rozměru s vyjádříme pedle obr. 3 - 7.

$$s = \frac{j}{ces} \quad (3.10)$$

Hodnoty všech rozměrů potřebných pro výpočet vztahů (3.8 - 3.10) jsou uvedeny v tab. 3.2.



obr. 3 - 4

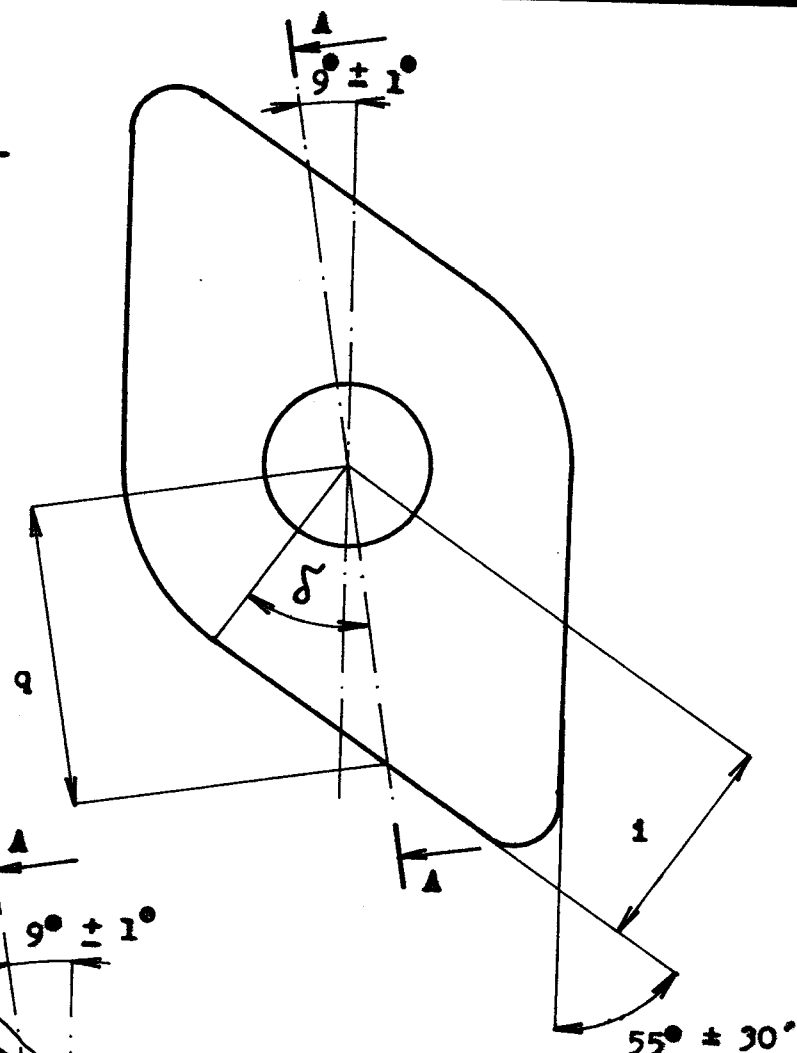


obr. 3 - 5

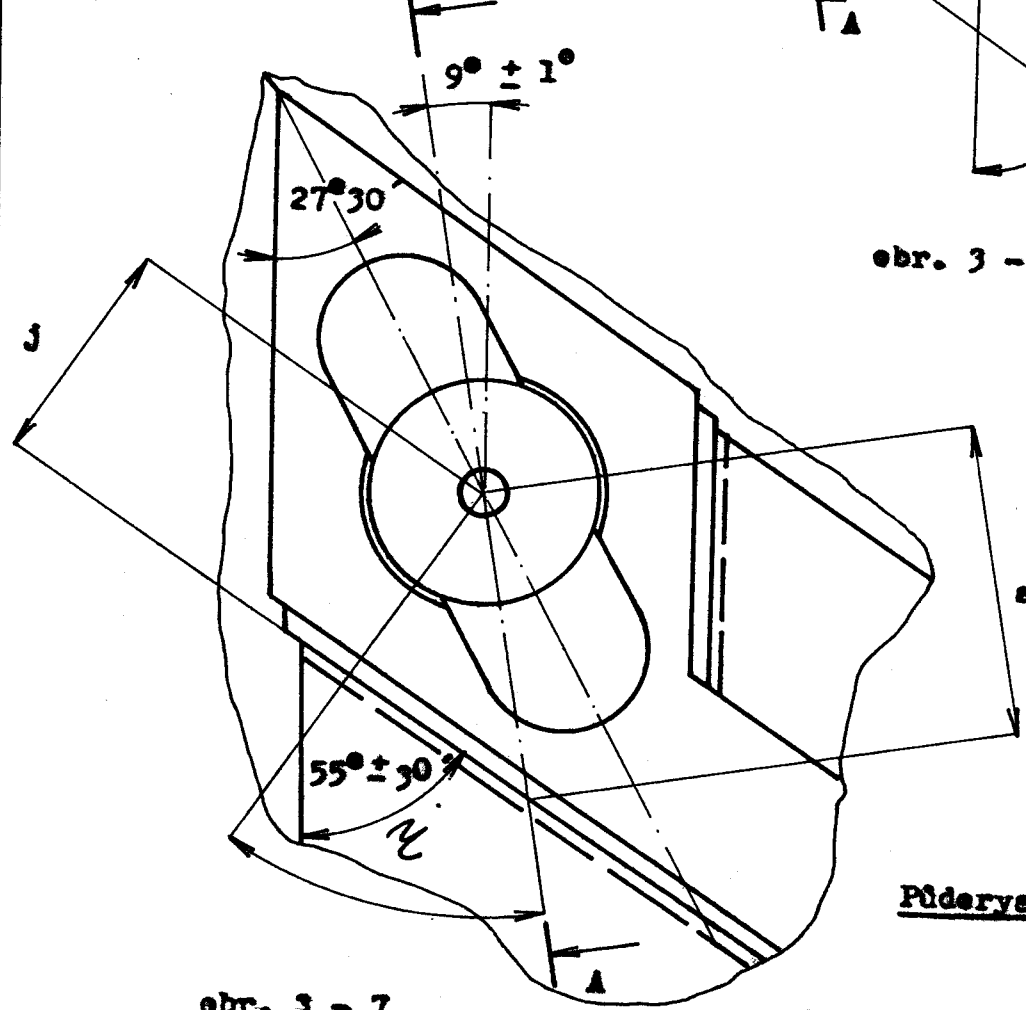
tab. 3.1 Geometrické rozměry upínacího mechanismu

	rozměry /mm/				rozměry /mm/		
označ.	max.	min.	skuteč.	označ.	max.	min.	skuteč.
d_D	5,24	5,08	5,10	R	3,5	3	3
D_a	6,05	6,00	6,00	p	1,5	1,1	1,4
d_c	4,85	4,75	4,75	n_2	2,46	2,77	2,51
D_c	6,00	5,88	5,90	n_1	3,21	3,32	3,21
d_s	4,00	3,80	3,80	α	30°	30°	30°
n	1	1	1	l_{c1}	7,3	6,8	7,15
k	0,05	0,02	0,02	l_{c2}	10,65	10,35	10,60
d_k	5 h 11	5 h 11	5,0	l_{c3}	22,70	22,30	22,40
l_k	13,8	13,8	13,8	l_r	16,46	16,10	16,36

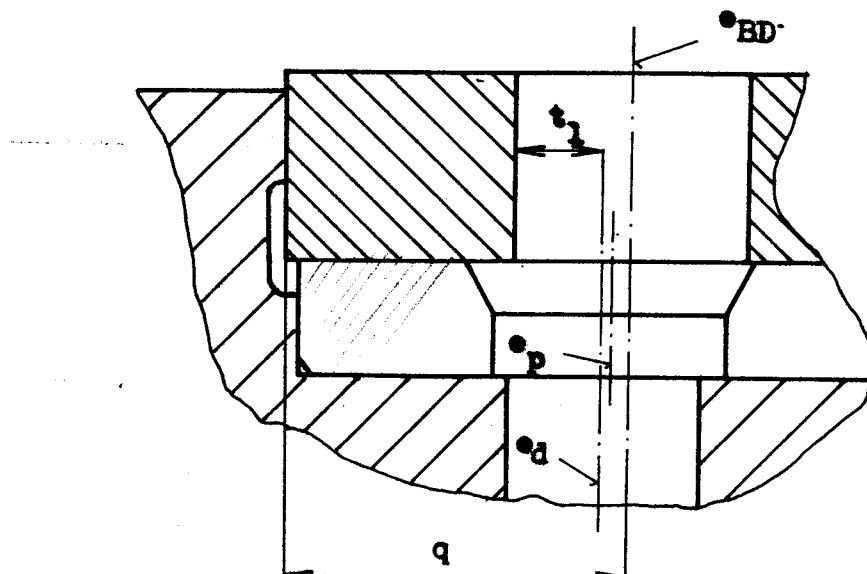
Břitové desítka



ebr. 3 - 6



ebr. 3 - 7



obr. 3 - 8

tab. 3.2

rozměry	max. /mm/	min. /mm/	skuteč./mm/
δ	44,5°	43,5°	44°
i	6,39	6,31	6,35
q	8,95	8,69	8,82
γ	44,75°	43,5°	43,5°
j	6,20	6,10	6,20
s	8,73	8,40	8,54
t_1	2,4	2,25	2,27

3.1.2 Výpočet algoritmu

Všechny vztahy (3.1) - (3.7) jsou sestaveny do tab. 3.3

a je provedeno dosazení za příslušné hodnoty z tab. 3.1.

Všechny hodnoty jsou udávány v mm.

Z vypočtených hodnot v tab. 3.3 vyplývá, že břitevá destička by teoreticky neměla jít nasadit do lůžka nože, protože v tomto případě platí podmínka $h > h_0$ a to i pro skutečné hodnoty rozměrů nože a jeho součástek. Pak tedy posuvy x_1 a x_2 jsou velikosti potřebného výkyvu čepu z nulové do upínací

tab. 3.3 Hledané výkyvu čepu

/mm/

vztah	rozměry max.	rozměry min.	rozměry skuteč.
$h = l_k - l_r - \frac{D_d}{2} - x_1 + x_2$	1,11	1,25	1,14
$h_e = \frac{1}{2} \cdot (D_d - d_s) + k$	1,07	1,12	1,09
$x_1 = \frac{1}{2} d_s - (k + t_1) \cdot \frac{l_{\xi 1}}{l_{\xi 2}}$	-0,01	0,07	0,06
$x_2 = \frac{1}{2} d_s - (k + t_1)$	-0,02	0,10	0,09
$x_3 = \frac{x_4 + l_{\xi 2}}{l_{\xi 1}}$	0,06	0,19	0,07
$x_4 = (h - h_e)$	0,04	0,13	0,05
$y_1 = x_2 + x_3$	0,04	0,29	0,16
$y_2 = x_1 + x_4$	0,03	0,20	0,11

polohy v příslušných bodech H, E. Hledaná x_3 a x_4 nám vyjadřuje velikost vychýlení čepu z mezní polohy do polohy nulové. U rozměrů maximálních vyšly hodnoty x_1 a x_2 záporné, což vyjadřuje tu skutečnost, že břitová destička by teoreticky měla jít nasadit v nulové poloze čepu, na rozdíl od rozměrů minimálních a skutečných, kde BD může nasadit na čep v nulové poloze nelze. Z uvedeného je tedy vidět, že kolík je příliš dlouhý a způsobuje počáteční výkyv čepu zabraňující nasazení břitové destičky do sedla nože. Podle teoretického výpočtu, aby šla BD snadno nasadit, musel by se kolík zkrátit právě o hodnotu y_2 a větší, neboť jenom tak dojde k posuvu x_1 bodu H, tedy k posuvu do upínací polohy.

3.1.3 Stanovení potřebné délky kolíku

Můžeme tedy konstatovat, že vzhledem k našim zjednodušujícím předpokladům by bylo vhodné zkrátit dél-

ku kolíku, ale skutečnost je však jiná. Předpokládali jsme totiž, že celý upínací mechanismus je tuhý a všechny součásti se pohybují v osách. Při praktickém ověřování výkyvu čepu byla však zjištěna určitá vůle upínacího šroubu v závitech tělesa nože, která způsobovala jeho značné vychýlení z osy. (ve spodní části šroubu až 0,4 mm). To je také důvod, proč vznikl rozdíl mezi teoretickým výpočtem a praktickým měřením. Při zasazování destičky do lúžka nože se totiž působí na čep, který přes upínací vležku vyvolává vychýlení šroubu, čímž se umožňuje snazší nasazení BD.

Zkušebně jsme upínali s kolíky o délce 12,5; 12,9; 13,1; 13,6; 13,8; 13,9; 14 mm. Pro délku $l_k = 13,9$ mm břitová destička nasadit šla, ale velice obtížně. Při délce $l_k = 13,8$ mm bylo možné BD zasunout poměrně snadno. Teoreticky s uvažováním zjednodušujících předpokladů pro hodnoty $l_k < 12,0$ mm by mělo dojít k narušování závitu šroubu, které způsobuje kuželevé zakončení kolíku při jeho malé délce. Praktickým ověřením bylo zjištěno, že k perušení závitu dochází již při délce kolíku $l_k < 12,5$ mm. Na základě těchto poznatků můžeme tedy stanovit rozsah délek l_k , při kterých dojde k upnutí břitové destičky. Dolní mez je limitována perušením závitové části šroubu a horní mez tím, jak snadno lze BD nasadit do lúžka nože. Rozsah délek je pak dán intervalom $l_k \in (12,5 ; 13,9)$ mm. Protože jsme prováděli kontrolní měření pouze u dvou nožů, jež byly k dispozici, nemohli jsme prakticky pestihnout všechny výrobní odstíhlky, na které je vázána délka kolíku l_k , a proto uvedený interval nemusí být zcela uzavřen.

S ohledem na uvedené skutečnosti bude nutné stanovit potřebnou délku kolíku pro správnou činnost upínacího mechanismu podle těchto kriterií :

a) zaměřit se na polohu místa styku kolíku a šroubu

b) snadnost zasunutí BD do sedla nože

c) kontrolovat polohu osy upínacího čepu vůči ose otveru

Bude-li docházet ke styku šroubu a kolíku na menším poloměru kuželového zakončení šroubu, zmenší se potřebný utahovací moment pro vyvození stejné upínací síly, jako při styku na větším poloměru kužele. Proto volíme délku kolíku co největší s ohledem na další kriteria tak, aby stykové místo leželo na co nejmenším poloměru. Z hlediska rozložení reakcí mezi hlavou čepu a břitovou destičkou je nutné, aby čep upínal v peleze nulové nebo v poloze, kdy jeho osa bude vychýlena vůči ose otveru v kladném smyslu. viz. obr. 3- 4.

Potom tedy můžeme navrhnout délku kolíku s ohledem na výše uvedená kriteria. Kolík délky $l_k = 13,8$ mm vyhovuje jak požadavku snadného upínání, tak kriteriu stykového místa, ale pro teoretický výpočet již nevyhoví požadavku polohy čepu při upínání. Proto je potřeba upravit rozměry sedla nože na výkrese Tk 15 990 s v řezu B-B z $11,8 \pm 0,1$ na rozměr $11,9 \pm 0,1$. Posuneme tak osu otveru břitové destičky vůči ose otvoru pro čep a tedy získáme správnou polohu čepu při upnutí. Tab. 3.3.1 uvádí vypočtené hodnoty výkyvů pro nově upravené sedlo. Tyto se pohybují v malém rozmezí kolem nulové polohy čepu.

tab. 3.3.1

rozměr	max. /mm/	min. /mm/
\bullet	8,85	8,52
q	8,95	8,69
t_1	2,52	2,37
x_1	-0,10	-0,09
x_2	-0,14	-0,13
y_1	-0,08	0,06
y_2	-0,06	0,04

Na základě provedeného rezboru výkyvu čepu můžeme proto konstatovat, že délka kolíku $l_k = 13,8$ mm s následnou úpravou lúžka nože daným podmínkám upínání plně vyhovuje.

3.2 Teoretický rozbor zatížení břitové destičky

Teoretický rozbor zatížení BD jsme prováděli podle / 1 / pro nově naměřené hodnoty složek řezných sil. Cílem úkolu bylo stanovení velikosti potřebné upínací síly v závislosti na řezných podmínkách. Provedem to tak, že stanovíme nejdříve hodnoty složek řezných sil v závislosti na řezných podmínkách výpočtem podle empirických vztahů nebo experimentálně měřením. Protože břitová destička může v průběhu obrábění zaujmout různé polohy v lúžku nože vlivem podmínek obrábění, proto pro jednotlivé varianty poloh břitové destičky zjistíme velikosti potřebných upínacích sil v závislosti na řezných silách a tím tedy i v závislosti na řezných podmínkách. Získané výsledky porovnáme.

3.2.1 Stanovení velikosti složek řezné síly

Z obr. 3-11 a obr. 3-14 je zřejmé, že z hlediska statiky má pro stanovení potřebné upínací síly velký význam poměr velikosti složek $\frac{F_x}{F_y}$ a jejich směr. Při výpočtu F_x, F_y, F_z na základě použitelnosti konstant c_f a koeficientů x_f a y_f , odečtených v dostupných pramenech, se i při známých opravách pro jednotlivé konkrétní nástroje dopustíme poměrně velké chyby. Proto jsme velikosti složek řezných sil stanovili experimentálně dynamometrickým měřením. Měření se provedlo pro lehké, střední a těžké řezné podmínky na obou typech kopírovacích nožů. V prvém případě se měřilo při konstantní hloubce

$t = 7 \text{ mm}$ a měničím se posuvu s , v druhém případě při stálém posuvu $s = 0,7 \text{ mm}/\text{ot}$ a měničí se hloubce třísky t . Největší hodnoty složek řezných sil a tím také největší hodnoty potřebných sil upínacích se vyskytnou při nejtěžší podmíinkách obrábění, t.j. při maximálních hodnotách s a t .

Při vlastním měření jsem se řídil podle / 2 /. Nejdříve se provedlo ocejchování jednotlivých složek řezných sil, hodnoty se zapisovaly do tab. 3.4.

tab. 3.4 Cejchevní hodnoty složek řezných sil

$/\text{mm}/$	0	0,1	0,2	0,3	0,4	0,5	0,6	0,7	0,8	0,9
U_{mV}	0	2,7	5,65	8,4	11,25	13,95	16,75	19,4	21,7	24,9
F_{cz} $/\text{N}/$	0	523,4	1046,7	1570,2	2093,6	2616,9	3140,4	3663,8	4187,1	4710,6
U_{mV}	0	2,65	5,3	7,9	10,45	13,25	15,9	18,65	21,4	24,15
F_{cy} $/\text{N}/$	0	523,4	1046,7	1570,2	2093,6	2616,9	3140,4	3663,8	4187,1	4710,6
$/\text{mm}/$	0	0,2	0,4	0,6	0,8	1,0	1,2	1,4	1,6	1,8
U_{mV}	0	2,55	5,3	7,9	10,45	13,25	15,9	18,65	21,4	24,15
F_{cz} $/\text{N}/$	0	523,4	1046,7	1570,2	2093,6	2616,9	3140,4	3663,8	4187,1	4710,6

Pak podle vztahu (3.10)

(3.10)

$$F_{\text{ci}} = F_{\text{hi}} \cdot \frac{204}{167 + 36}$$

se vyčíslily cejchevní hodnoty F_{ci} takéž do tab. 3.4. Hodnoty F_{hi} se odečítaly na sileměru z konstantou $1,92 \text{ mm} = 10 \text{ kN}$. Uvedené cejchevní hodnoty sledují lineární závislost podle vztahu

(3.11)

$$F_{\text{ci}} = k_e \cdot U_1$$

Koefficienty k_e jsou vyjádřeny pro jednotlivé složky řezných sil v tab. 3.5. Pomoci koefficientů se jehovní přímky převedeme naměřené hodnoty z / mV / na / N /.

tab. 3.5

složka síly	koefficient k_e
F_x	188,7
F_y	198,2
F_z	334,9

Zkušební materiál : obráběný etalonový materiál 12 050.1 s chemickým složením podle ČSN 41 20 50 o rozměrech Ø 206 x 998 mm byl upnut do soustruhu, zbaven kůry, ze strany koníku byla sražena hrana pro plynulé najetí nože do záběru. Skutečná soustružná délka vzhledem k rozmerům dynamometru byla 858 mm.

Zkušební stroj : označení SU 50/1500, výrobce TOS Lipník, příkon 11 kW, se stupňovitou změnou otáček a z úpravou příčného supořtu pro usazení dynamometru. Hodnota vyložení obou zkoumaných nožů byla L = 36 mm.

Řezné síly byly pro danou kombinaci řezných podmínek změřeny ve všech třech sležkách a hodnoty odečtené na milivoltmetrech pak zaznamenány do pracovního deníku. Obrábělo se při řezné rychlosti 145 m / min. Hodnoty již přepečítaných sil obsahuje tab. 3.6, jež byla základem pro numerická řešení dalších teoretických úvah.

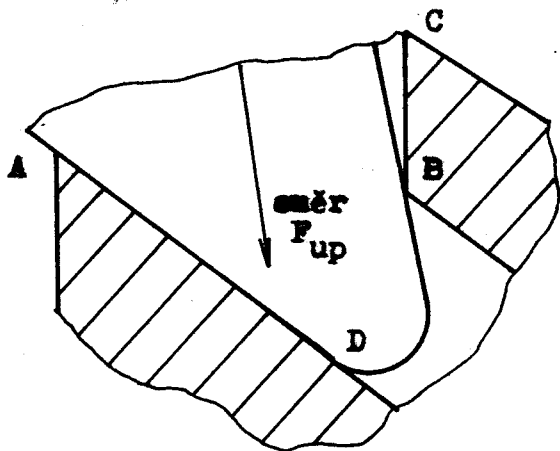
3.2.2 Posouzení stability BD v sedle nože pro různé varianty dotyku a zjištění velikosti potřebné upevnací síly F_{up}
Na břitevou destičku působí v procesu obrábění

tab. 3.6 Změřené hodnoty sležek řezných sil

s mm/et /mm/ mm	t	Nůž 1			Nůž 2		
		F_z /N/	F_y /N/	F_x /N/	F_z /N/	F_y /N/	F_x /N/
0,15	7	2 511	657	1 604	2 679	1 715	1 132
0,54	7	7 200	1 617	3 302	7 368	3 136	3 585
0,7	7	9 126	1 684	3 915	9 042	3 920	3 962
0,7	5	6 698	1 470	2 830	6 363	2 695	2 830
0,7	2	2 847	980	1 094	2 680	1 078	1 132

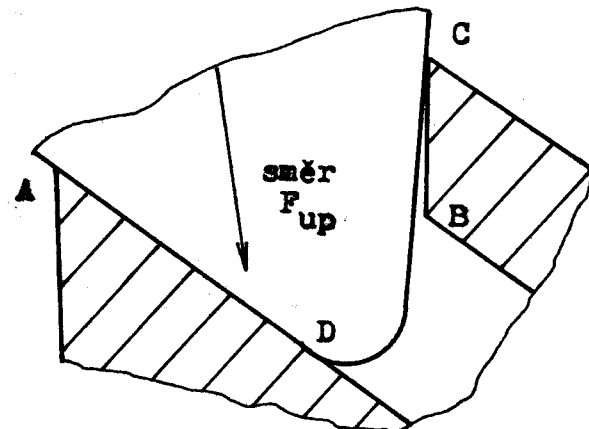
výsledná řezná síla, síla upínačí a síly způsobené chvěním nástroje. Preteže nesmí dojít k pehybu břitové destičky vůči sedlu nože, musejí být všechny výše uvedené síly v rovnováze s příslušnými reakcemi ve stykových místech břitové destičky a opěrných ploch řužka nože. Práce / 1 / se již touto preblematikou zabývala. Byla v ní posouzena stabilita destičky pro nůž 1 za podobných podmínek jako v tomto případě. V / 1 / byl proveden rychber neže 1, který měl v sedle vyvrtán odlehčovací otvor. Nůž zkoumaný v této práci má však místo odlehčovacího otvoru vyfrézovanu drážku a z toho pak vyplývají i jiné skutečnosti. V zásadě existují dvě krajní možnosti perušení stabilitы břitové destičky. Jde o naklopení destičky kolem hrany pedložky nebo kolem hrany sedla nože, o naklopení kolem špičky a o poetočení destičky v rovině sedla. Při poetočení destičky v rovině sedla (t.j. rovina xy) mohou v podstatě nastat dva případy. Případ, kdy destička má menší úhel špičky, než je

úhel vybrání nože a naopak případ, kdy úhel vybrání nože je menší než úhel špičky. Obě varianty jsou na obr. 3-9 a obr. 3 - 10.



I. varianta
natačení z ADB do DBC

obr. 3 - 9



II. varianta
natačení z ADC do ABC

obr. 3 - 10

Především je nutno konstatovat, že ve fázi upínání BD nastane vždy jedna z poloh ADB nebo ADC, neboť břitová destička je vlivem směru působící síly F_{up} přitlačena vždy k opěrné ploše AD. Styk břitové destičky a sedla nože jen ve dvou bodech není pravděpodobný a může nastat pouze přechodně při porušení stability. Proto uvažujeme styk ve třech bodech, přičemž jeden z reakcí považujeme za nulovou. Získáváme tak hodnotu zatěžujících sil a momentů, kdy poprvé může dojít k porušení stability břitové destičky pootečením v rovině xy. Abychom mohli řešit uložení BD statickými metodami, musíme zavést některá zjednodušení. Předně vyslovíme předpoklad, ve kterém směru dojde k porušení stability. Zda dojde k naklopení destičky kolem hrany nebo špičky nože, nebo zda dojde k pootečení v rovině xy. Oba případy porušení stability lze řešit ve vzájemné souvislosti a to tak, že řešíme rovnováhu tělesa v rovině xy a stabilitu na naklopení kontrolujeme při dosažení meze stabi-

lity pootočením. Při tomto způsobu řešení předpokládáme, že výslednice tečných reakcí působících ve směru rovnoběžném a kolmém k rovině sedla, svírá se svými složkami úhel 45° . Řešení provedeme u obou typů nožů, neboť břitová destička je rozdílně orientována složkám řezných sil F_x a F_y , z čehož vyplývá i různá velikost potřebných upínacích sil F_{up} nutných k zajištění stability při měnících se řezných podmírkách.

3.2.2.1 Řešení dotyku v bodech BD - varianta I u nože 1

Stanovíme rovnice rovnováhy podle obr.

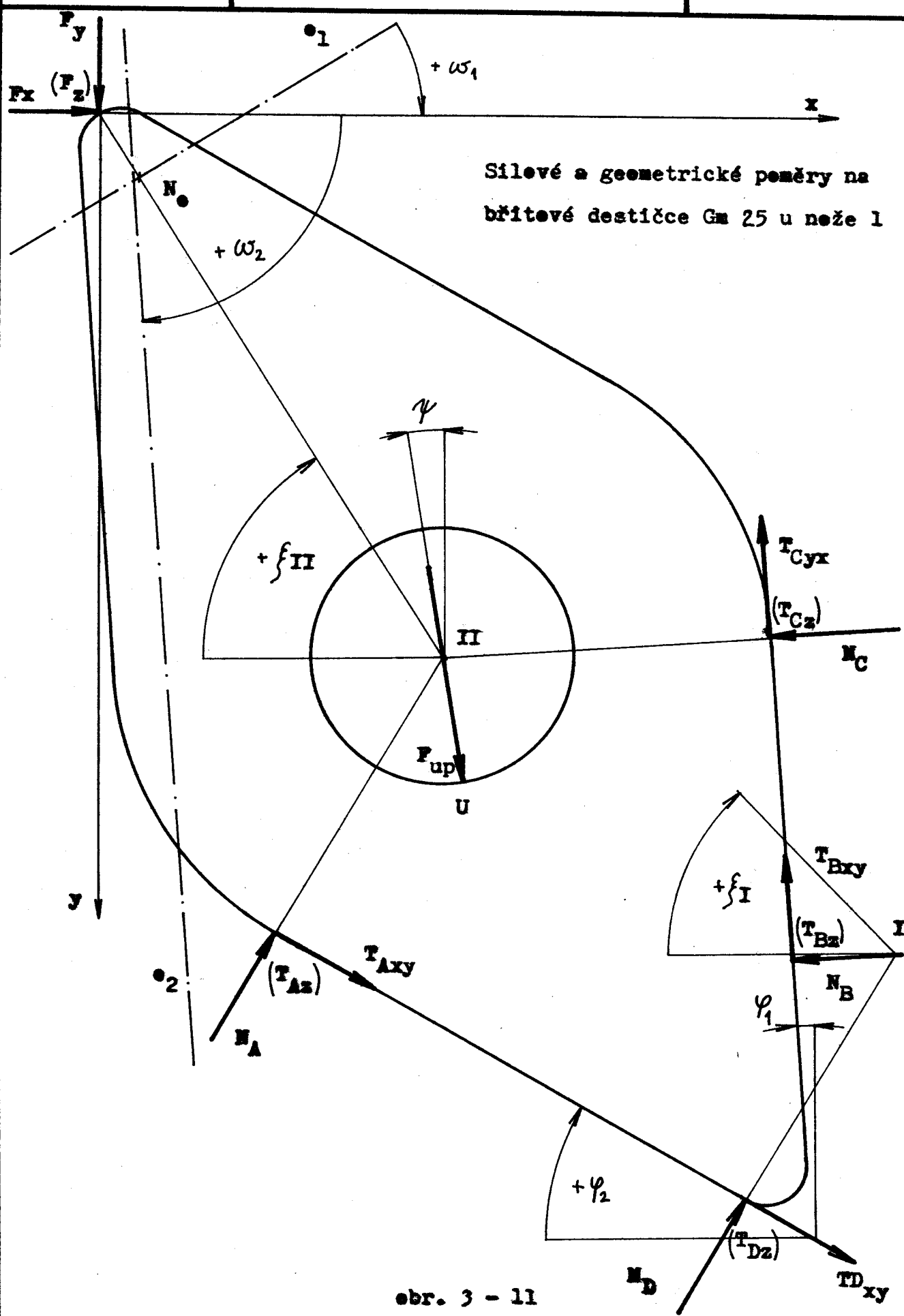
3 - 11 pro pootočení z polohy ADB do DBC kolem okamžitého pólu stáčení I, který je dán průsečíkem normálních reakcí ve stykových místech B a D. Než stability je v tomto případě charakterizována podmínkou $N_A = 0$. Potřebné geometrické poměry byly získány odměřením z obr. 3 - 11, 3 - 12, 3 - 13 nakreslených v měřítku 10 : 1. Velikosti jednotlivých rozměrů shrnuje tab.

3.7. Hodnoty koeficientů tření mezi břitovou destičkou a podložkou a břitovou destičkou a tělesem než byly vyčteny z / 1 /, která se tímto problémem zabývala. Řešení se provedlo pro dvě břitové destičky tvarově podobné u nichž se vlivem malé tvarové rezdílnosti projevila změna dotykových bodů. Důsledky, které z toho plynou nelze stanovit předem, ale až po získání výsledků. Varianta I je pro obě destičky u nože 1 shodná vlivem stejné polohy okamžitého pólu stáčení I.

Rovnice rovnováhy :

$$\sum F_{ix} = 0 : \text{ rovnováha sil ve směru osy } x \quad (3.12)$$

$$F_x + F_{up} \cdot \sin \gamma + N_D \cdot \sin \gamma_2 + T_{Dxy} \cdot \cos \gamma_2 - N_B \cdot \cos \gamma_1 - T_{Bxy} \cdot \sin \gamma_1 - N_o \cdot f' \cdot \sin f = 0$$



$$\sum F_{iy} = 0 : \text{ rovnováha sil ve směru osy y} \quad (3.13)$$

$$-F_y - F_{up} \cdot \cos \varphi + N_D \cdot \cos \varphi_2 - T_{Dxy} \cdot \sin \varphi_2 - N_B \cdot \sin \varphi_1 + T_{Bxy} \cdot \sin \varphi_1 - N_o \cdot f' \cdot \cos \varphi = 0$$

$$\sum M_I = 0 : \text{ rovnováha momentů k okamžitému pélu otáčení I}$$

(3.14)

$$-T_{Dxy} \cdot l_D - T_{Bxy} \cdot l_B - F_y \cdot x_I + F_x \cdot y_I - F_{up} \cdot l_u - N_o \cdot f' \cdot l_o = 0$$

rovnice vyjadřující poměry při tření mezi břitevou destičkou a opěrnými plechami sedla neže :

$$T_{Dxy} = T_{Dz} = N_D \cdot f \cdot \frac{1}{\sqrt{2}} \quad (3.15)$$

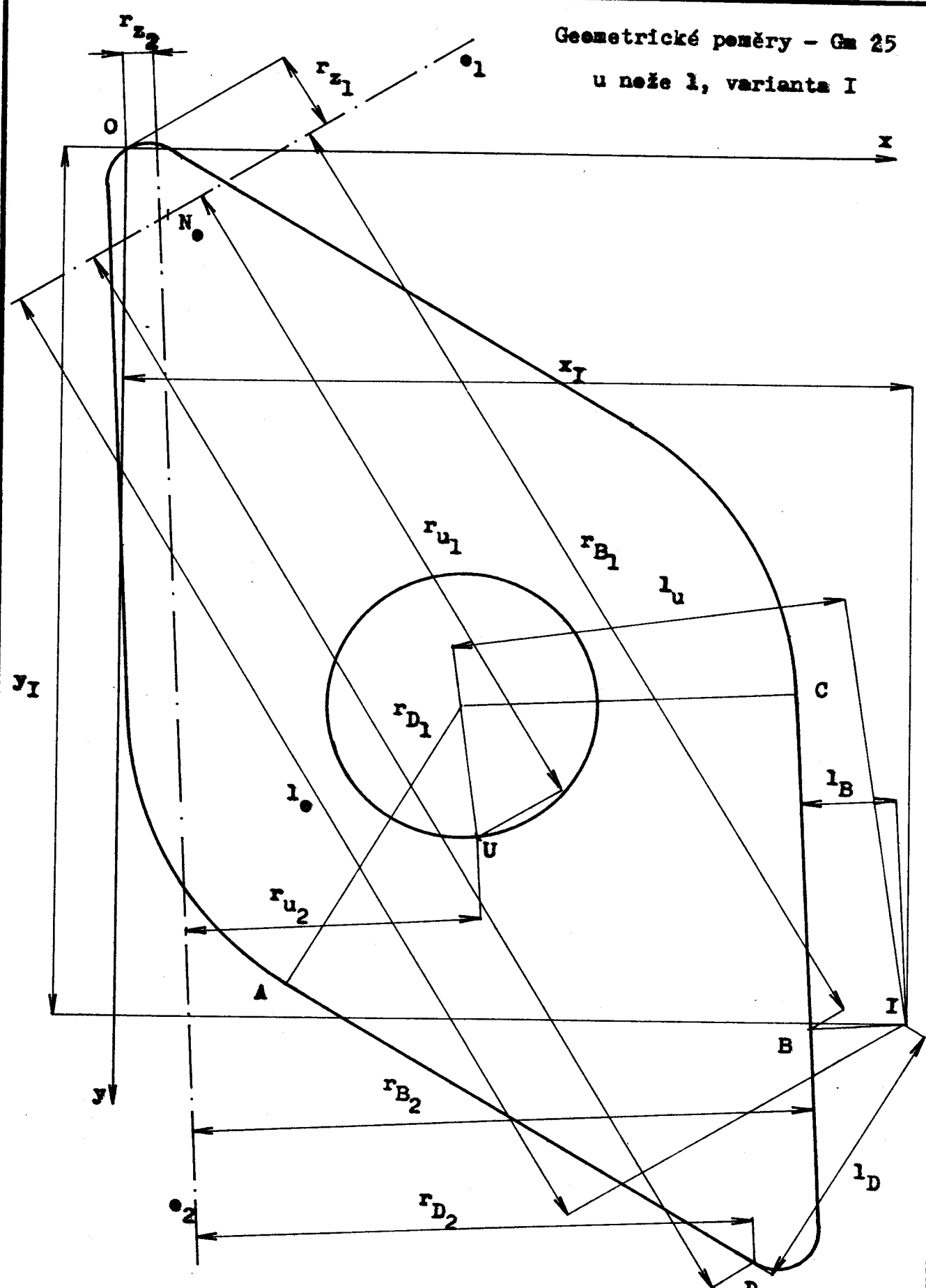
$$T_{Bxy} = T_{Bz} = N_B \cdot f \cdot \frac{1}{\sqrt{2}} \quad (3.16)$$

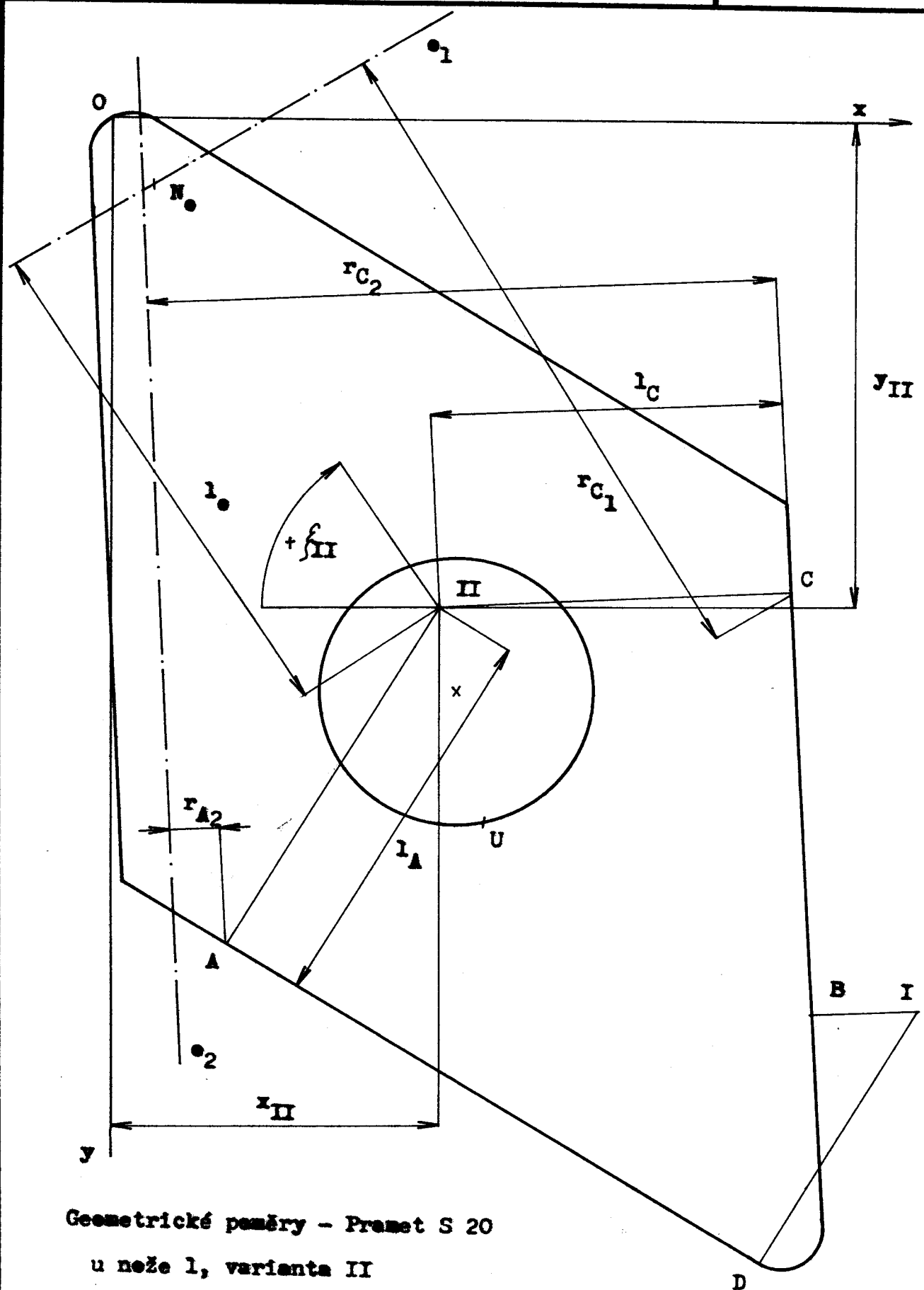
sestavená maticevá rovnice :

$$\begin{vmatrix} \sin \varphi & \sin \varphi_2 + \frac{f \cdot \cos \varphi_2}{\sqrt{2}} & -\cos \varphi_1 - \frac{f \cdot \sin \varphi_1}{\sqrt{2}} \\ -\cos \varphi & \cos \varphi_2 - \frac{f \cdot \sin \varphi_2}{\sqrt{2}} & -\sin \varphi_1 + \frac{f \cdot \cos \varphi_1}{\sqrt{2}} \\ l_u & l_D \cdot \frac{f}{\sqrt{2}} & l_B \cdot \frac{f}{\sqrt{2}} \end{vmatrix} \begin{vmatrix} F_{up} \\ N_D \\ N_B \end{vmatrix} = \begin{vmatrix} 0,9 F_z \cdot f \cdot \sin \varphi - F_x \\ F_y + 0,9 F_z \cdot f' \cdot \cos \varphi \\ -F_y \cdot x_I + F_x \cdot y_I - 0,9 F_z \cdot f' \cdot l_o \end{vmatrix} \quad (3.17)$$

Geometrické poměry - Gm 25

u než l, varianta I



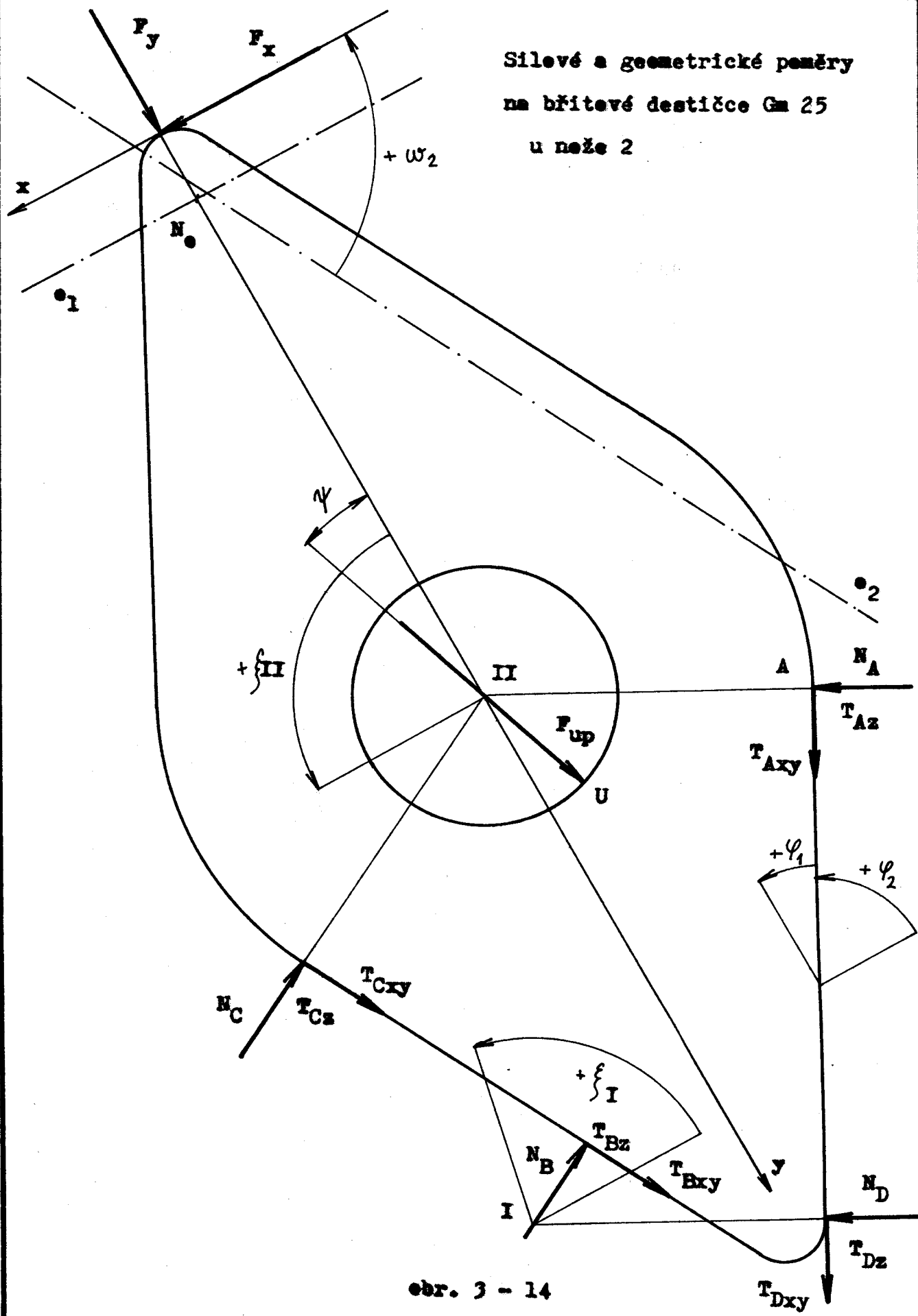


Geometrické poměry - Pravet S 20

u než l, varianta II

tab. 3.7 Geometrické paměry na břítevých destičkách u než 1

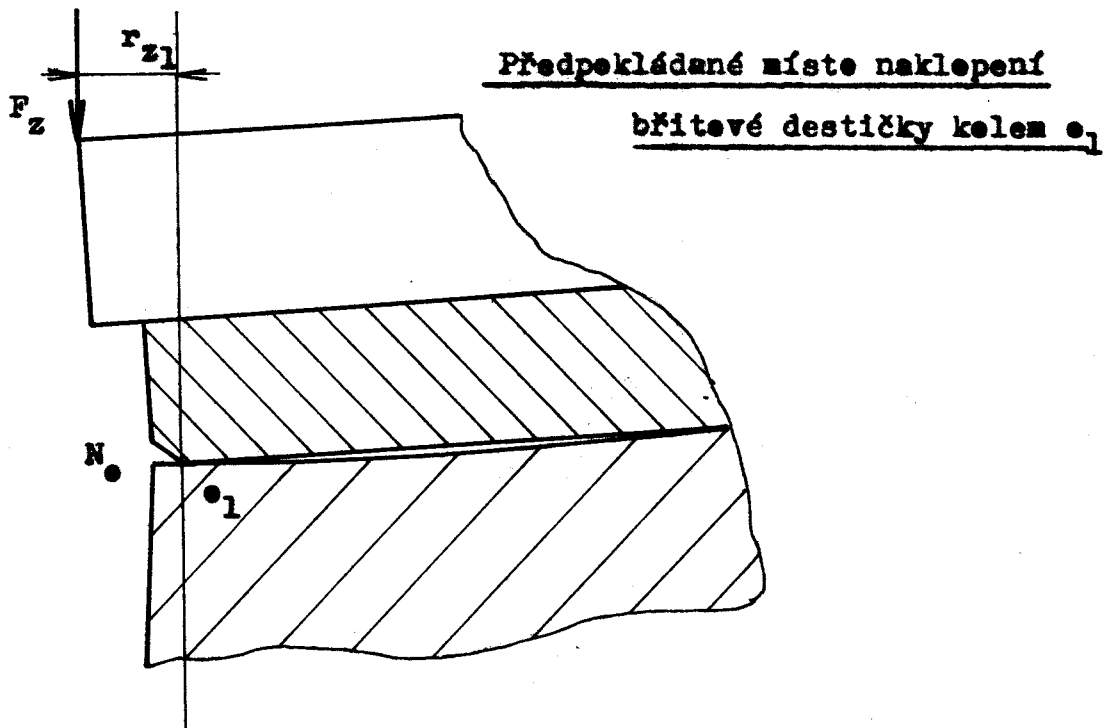
	břitevá destička DNMM 15 06 08			břitevá destička DNMM 15 06 08			
varianta I	rozměr /mm/	Gm 25	Pramet S20	varianta II	rozměr /mm/	Gm 25	Pramet S 20
	l_B	2,0			l_A	6,35	7,6
	l_D	5,7			l_C	6,35	6,6
	l_e	21,2			l_u	11,2	9,7
	l_u	7,5			l_u	0	
	x_I	15,1			x_{II}	6,6	6,1
	y_I	17,1			y_{II}	10,9	9,35
	r_{B1}	20,0			r_{A1}	14,1	13,2
	r_{B1}	23,5			r_{C1}	14,1	12,8
	r_{ul}	13,6			r_{ul}	13,6	
	r_{al}	1,5			r_{xl}	1,5	
	r_{B2}	11,8			r_{A2}	1,8	0,95
	r_{D2}	10,6			r_{C2}	11,8	
	r_{u2}	5,8			r_{u2}	5,8	
	r_{z2}	0,55			r_{x2}	0,55	
	h'	6,35			h'	6,35	
	φ_1	3°			φ_1	3°	
	φ_2	31°			φ_2	31°	
	φ_I	47°			φ_{II}	59°	56,5°
	φ	12°			ψ	12°	
	w_1	30,5°			w_1	30,5°	
	w_2	87°			w_2	87°	
	t	0,244			t	0,244	
	t'	0,202			t'	0,202	



tab. 3.8 Geometrické poměry na břítevých destičkách u než 2

		břítevá destička DNMM 15 06 08	
Varianta I	rozměr /mm/	Gm 25	Pramet S20
		l_B	2,0
		l_D	5,7
		l_e	21,2
		l_u	7,5
		x_I	4,3
		y_I	22,4
		r_{B1}	20,0
		r_{D1}	23,5
		r_{ul}	13,6
		r_{zl}	1,5
		r_{B2}	11,8
		r_{D2}	10,6
		r_{u2}	5,8
		r_{z2}	0,55
		h'	6,35
		γ_1	27,5°
		γ_2	62,5°
		f_I	87,5°
		ψ	18,5°
		w_1	0°
		w_2	62,5°
		φ	0,244
		φ'	0,202

		břítevá destička DNMM 15 06 08	
Varianta II	rozměr /mm/	Gm 25	Pramet S20
		l_A	6,35
		l_C	6,35
		l_e	11,2
		l_u	0
		x_{II}	0
		y_{II}	11,3
		r_{A1}	14,1
		r_{C1}	14,1
		r_{ul}	13,6
		r_{zl}	1,5
		r_{A2}	1,8
		r_{C2}	11,8
		r_{u2}	5,8
		r_{z2}	0,55
		h'	6,35
		γ_1	27,5°
		γ_2	62,5°
		f_{II}	90°
		ψ	18,5°
		w_1	0°
		w_2	62,5°
		φ	0,244
		φ'	0,202



Rovnice (3.15) a (3.16) platí za předpokladu, že výslednice třecích sil se svými složkami svírá úhel 45° . Získali jsme tedy 7 rovnic pro 7 neznámých a ty řešíme. Za předpokladu vydutosti sedla a nepohyblivosti podležky volíme působiště normálné složky třecí síly N_0 mezi břitovou a podložnou destičkou na špičce podložné destičky, tedy ve vzdálenosti 1,5 mm od počátku volené souřadné soustavy. Po uvedených skutečnostech můžeme dosadit za jednotlivé proměnné do vztahu (3.12 - 3.14) a dostaneme soustavu 3 rovnic pro 3 neznámé. Sestavíme z nich maticovou rovnici (3.17), kterou pak lze řešit nejlépe pomocí výpočetní techniky. Výpočet 3.17 byl proveden na kalkulačce TI - 59 po vyvolání programu ML 02 pro řešení maticových rovnic. Výsledky byly zpracovány do tab. 3.9 a 3.10. Aby bylo dosaženo stabilní polohy BD, musí síla F_{up} působit proti smyslu uvažovaného otočení destičky kolem ohmitělého pólu pohybu. Pak platí, že moment síly F_{up} k příslušnému pólu pohybu bude opačný, než je směr předpokládaného porušení stability. Tedy kladná hodnota upínací síly charakterisuje

stabilní polohu destičky při odpovídajících řezných podmínkách. Je to síla, kterou je nutno vyvinout k udržení břitové destičky na mezi stability pootočení viz. obr. 3 - 11 a 3 - 14. V / l / bylo působiště síly No voleno ve vzdálenosti 7 mm od nezaoblené špičky BD. V našem případě však byla vzata vzdálenost k zaoblení. Působiště složek řezných sil se stanovilo právě v tomto místě, což představuje z hlediska uložení destiček nepříznivější podmínky než při uvažování skutečného působiště sil. Velikost normálné sležky třecí síly No bude 0,9 . $F_z \cdot f$, neboť F_z se nebude příliš lišit od No. Současně se při teoretickém rozboru uvažovalo naklopení břitové destičky kolem os O_1 a O_2 . Jak dalece je při těchto podmínkách zajištěna stabilita naklopení můžeme zjistit kontrolou, jakou maximální sílu $F_{z \max}$ je destička schopna přenést bez porušení stability. Kontrolu lze provést pro výsledky, kde síla $F_{up} > 0$ a momentové podmínky k ose O_1 .

$\sum M_{O_1}$:

$$F_{z_{\max i}} = \frac{1}{r_{z_i}} \cdot \left[(F_x \cdot \sin \omega_i + F_y \cdot \cos \omega_i) \cdot h' + N_D \cdot \frac{f \cdot r_{z_i}}{\gamma^2} + N_B \cdot \frac{f \cdot r_{z_i}}{\gamma^2} + F_{up} \cdot f \cdot r_u \right] \quad (3.18)$$

Vyšla-li $F_{z \max} \leq F_z$, vyplývá z toho, že k porušení stability naklopením kolem osy O_1 dojde dříve, jak k pootočení v rovině xy. Pro $F_{up} < 0$ a jde-li o stabilní uložení v rovině sedla, musíme sílu F_{up} volit a vyjádřit nový vztah pro $F_{z \max}$

$$F_{z_{\max i}} = \frac{1}{r_{z_i}} \cdot \left[(F_x \cdot \sin \omega_i + F_y \cdot \cos \omega_i) \cdot h' + N_j \cdot \frac{f \cdot r_j}{\gamma^2} + N_i \cdot \frac{f \cdot r_i}{\gamma^2} + (800 - F_{up}) \cdot f \cdot 2 \cdot r_u \right] \quad (3.19)$$

Vyjdeme-li z možnosti aplikace metody superpozice na tuto úlohu, lze zavést předpoklad, že ve skutečném případě, kdy $F_{up} > 0$ se zvětší momentový účinek této síly proti naklopení o $2 \cdot f \cdot F_{up} \cdot r_{ui}$. Sílu F_{up} velíme 800 N . Sílu $F_{z \max}$ lze pak vyjádřit podle vztahu (3.19). Hodnoty sil $F_{z \max}$ takto získané jsou pouze orientační a jsou zaznamenány v tab.3.11

a 3.12.

tab. 3.12 Převnání sil F_z se silami $F_{z \max_1}$ u nože 2 při
naklepení kolem osy e_1

DNMM 15 06 08 Pramet S 20	DNMM 15 06 08 Gm 25 Tizit	t /mm/	a/mm/et/	F_z /N/	$F_{z \max_1}$ /N/	$F_{z \max_2}$ /N/
I		7	0,15	2 679	100 675	149 125
		7	0,54	7 368	286 003	432 134
		7	0,7	9 042	309 138	467 078
		5	0,7	6 363	221 732	334 867
		2	0,7	2 680	88 607	133 311
II					33 546	53 643
					83 141	144 069
					92 161	158 812
					66 291	114 058
					28 085	47 264
I					100 675	149 125
					286 003	432 134
					309 128	467 078
					221 732	334 867
					88 607	133 311
II					28 585	47 178
					67 430	123 892
					75 716	137 574
					54 482	98 824
					23 619	41 559

3.2.2.2 Řešení detyku v bodech A a C u nože 1 - varianta II

Při řešení této varianty postupujeme stejně jako v předchozím případě. Protože i zde platí stejné rovnice rovnováhy, pouze se změní indexování a velikost rozměrů v důsled-

tab. 3.11 Převnání sil F_z se silami $F_{z \max_1}$ u než 1 při
naklepení kolem osy z

DNMM 15 06 08	Pramet S 20	Gm 25	Tizit	I	t/mm/	a/mm/ et/	$F_z /N/$	$F_{z \max_1} /N/$	$F_{z \max_2} /N/$
					7	0,15	2 511	18 005	33 020
DNMM 15 06 08	Pramet S 20	Gm 25	Tizit	I	7	0,54	7 200	29 738	59 584
					7	0,7	9 126	34 709	68 651
					5	0,7	6 698	29 421	58 072
					2	0,7	2 847	16 498	26 298
								24 600	46 435
DNMM 15 06 08	Pramet S 20	Gm 25	Tizit	II				35 103	73 080
								42 127	88 120
								25 797	56 384
								—	—
								18 005	33 020
DNMM 15 06 08	Pramet S 20	Gm 25	Tizit	I				29 728	59 584
								34 709	68 651
								29 421	58 072
								16 498	26 298
								17 085	30 566
DNMM 15 06 08	Pramet S 20	Gm 25	Tizit	II				24 310	56 271
								29 210	67 837
								17 836	44 090
								—	—

ku změny polohy okamžitého pôlu otáčení, můžeme provést záměnu indexů takto :

B → C

D → A

I → II

Po té stačí dosadit do vztahu (3.17) příslušné hodnoty rozměrů a vyjádriť neznámé. Pro tuto variantu nebude platit shodnosť

rozměrů a sil F_{up} u obou BD, neboť póly otáčení mají u každé břitové destičky rozdílnou polohu. Podmínka meze stability bude vyjádřena jako $M_D = 0$.

3.2.2.3 Řešení varianty I a II u nože 2

Řešení provedeme za stejných předpokladů a podmínek jako u nože 1 pro 2 břitové destičky. Na tomto noži je však břitová destička orientována jinak vůči ose nožového tělesa než v předešlém případě, což bude mít za následek změnu některých geometrických rozměrů. I zde platí stejné rovnice rovnováhy jako u nože 1. Při přechodu z varianty I na variantu II u výpočtu je nutné provést přeindexování, jak již bylo uvedeno viz. kap. 3.2.2.2. Potřebné silové a částečně geometrické poměry uvádí obr. 3 - 14. Velikosti výpočtových rozměrů jsou obsaženy v tab. 3.8.

3.2.2.4 Upínací síly u nože 1

Z obr. 3 - 11 a tab. 3.9 vyplývá, že kladná upínací síla F_{up} má pro variantu I i II stabilizující charakter u obou břitových destiček. Význam mají pouze hodnoty kladné, které představují síly, jež by bylo nutno vyvinout, aby bylo dosaženo meze stability pečetěním za daných řezných podmínek. Záporné hodnoty F_{up} charakterisují síly, které napomáhají k uvolnění břitové destičky z lůžka nože. Varianta I tedy bude stabilní pro řezné podmínky, kde se vyskytuje velká hloubka třísky t . Pro malé hloubky třísky je stabilita BD porušena, ale břitová destička může pro tuto variantu dotyku při daných podmínkách obrábění zaujmout novou stálou polohu, která se při další změně řezných podmínek poruší. Varianta II bude také sta-

tab. 3.9 Potřebné upínací síly v závislosti na řezných podmínkách

		F_{up} / N /	
		varianta I	varianta II
		t /mm/ s /mm/et/	
Núž 1	Gm 25 Tizit	7 0,15	699,2 2 590,2
		7 0,54	37,7 2 181,2
		7 0,7	211,1 2 951,6
		5 0,7	- 360,1 987,0
		2 0,7	- 1017,1 - 1579,9
	Pramet S 20	7 0,15	699,2 1 356,2
		7 0,54	37,7 375,3
		7 0,7	211,1 792,6
		5 0,7	- 360,1 - 359,8
		2 0,7	- 1017,1 - 1728,2
Núž 2	Gm 25 Tizit	7 0,15	- 1850,5 - 1830,1
		7 0,54	- 3726,9 - 3670,9
		7 0,7	- 4495,9 - 4439,9
		5 0,7	- 3125,0 - 3076,7
		2 0,7	- 1243,6 - 1206,7
	Pramet S 20	7 0,15	- 1850,5 - 1989,3
		7 0,54	- 3726,9 - 4108,6
		7 0,7	- 4495,9 - 4977,0
		5 0,7	- 3125,0 - 3454,6
		2 0,7	- 1243,6 - 1382,4

tab. 3.10 Hesby normálnych reakci na styku břitev destičky a sedla nože

		Gm 25 Tizit		Pramet S 20	
		$N_D /N/$	$N_B /N/$	$N_D /N/$	$N_B /N/$
I	1 NÚZ	7 0,15	1751,4	2557,0	1751,4
		7 0,54	2675,6	4095,0	2675,6
		7 0,7	3182,9	4818,5	3182,9
		5 0,7	2037,7	3191,1	2037,7
		2 0,7	328,3	716,2	328,3
	2 NÚZ	7 0,15	16 299	16 359	16 299
		7 0,54	49 999	51 100	49 999
		7 0,7	53 381	54 261	53 381
		5 0,7	38 240	38 946	38 240
		2 0,7	14 871	15 131	14 871
II	1 NÚZ	- -	$N_A /N/$	$N_C /N/$	$N_A /N/$
		7 0,15	3797,6	4236,4	2426,3
		7 0,54	4852,8	5806,2	2873,3
		7 0,7	5967,8	7009,2	3605,0
		5 0,7	3335,3	4170,7	1868,7
	2 NÚZ	2 0,7	- 397,9	57,6	- 543,8
		7 0,15	4483,7	4550,5	2984,6
		7 0,54	14 883,5	16 001,5	10 330,9
		7 0,7	15 680,6	16 621,4	10 800,9
		5 0,7	11 272,9	11 994,0	7 783,9
		2 0,7	4 408,5	4 623,5	3 025,5
					3 266,2

bilní za uvažovaných zjednodušujících předpokladů, a to tak, že bude stabilnější než varianta I i když se u poslední hodnoty F_{up} vlivem záporné upínací síly projevily záporné reakce, což je pro opěru nereálný případ. Bereme-li v úvahu zase velikost potřebných upínacích sil, je výhodnější varianta I, kde jsou hodnoty F_{up} dosti malé, a proto se upínacím mechanismem snadno přenášejí bez značného namáhání jeho jednotlivých elementů. Z tohoto hlediska pak také lépe vyhovuje u varianty II destička Pramet, která má na rozdíl od destičky Tizit hodnoty F_{up} až 6 x menší. Z hlediska přesnosti výpočtu je nutné vzít v úvahu, že působiště řezných sil bylo uvažováno na špičce břitové destičky a úloha tak byla řešena za nepříznivých podmínek. Při kontrole proti naklopení BD kolem os o_1 a o_2 vycházely $F_{z \ max}$ značně větší než síly F_z , viz. tab. 3.11. Tak velký rozdíl v získaných hodnotách vyplývá zřejmě z volby vzdálenosti osy o_1 od špičky nože. Za předpokladu správné výdutosti lůžka břitové destičky a rovinnosti podložné destičky je právě špička nože nejvhodnějším místem kolem něhož by se uskutečnilo naklopení BD. Podle získaných hodnot $F_{z \ max}$ můžeme konstatovat, že stabilita proti naklopení kolem os o_1 a o_2 bude zajištěna pro zavedené zjednodušující podmínky a to i při porušení stability pootečením v rovině xy.

3.2.2.5 Upínací síly u nože 2

U tohoto nože podle vytvořené teorie stabilita proti pootečení zajištěna není ani v jednom případě uvedených podmínek obrábění, neboť všechny hodnoty F_{up} jsou záporné. Varianta I a II jsou tedy pro obě břitové destičky nestabilní. Stabilitu BD pro tento nůž lze zajistit volbou správného směru upínací síly, která by destičku přitlačila hned ve fázi upínání

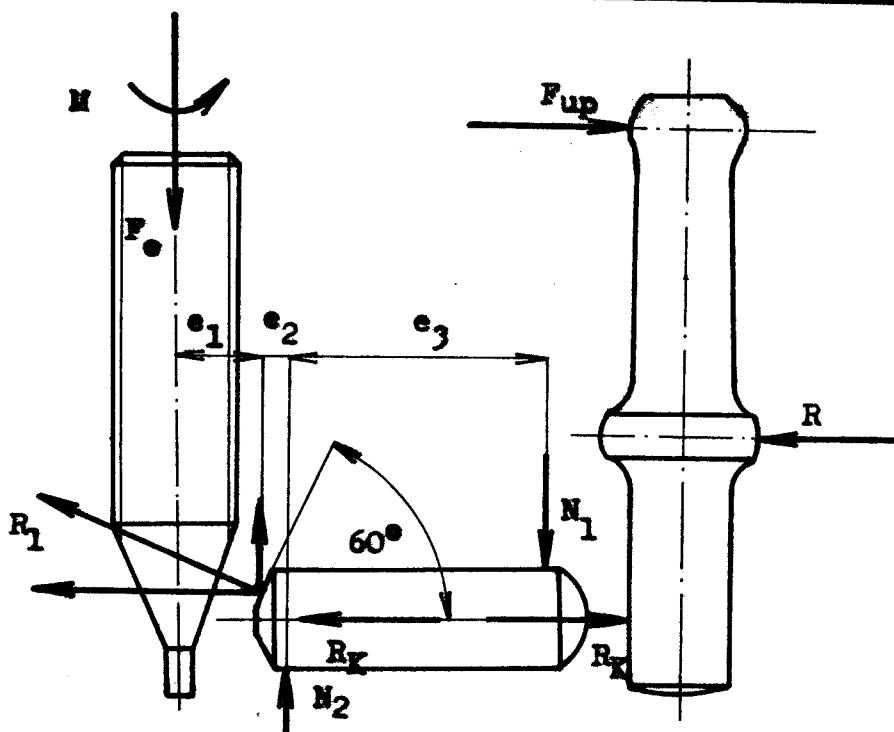
k oběma opěrným plochám sedla. Při kontrole proti naklopení je stabilita břitové destičky dostatečně zajištěna, přestože se jedná o nestabilní uložení v rovině xy. Jak je vidět, v tab. 3.12 jsou $F_{z \max}$ oproti F_z značně vysoké. $F_{z \ max}$ je až 36 x větší než F_z . Z tohoto hlediska se jako nejstabilnější jeví varianta I. Důvod pro tak velké rozdíly vypočtených a na měřených složek řezných sil je stejný jako u nože 1.

3.2.3 Zjištění upínací síly vyvozené upínacím mechanismem

Za předpokladu zajištění usazení destičky na karbidové podložce, jež je současně aretována dostatečnou silou nýtem, je hlavním faktorem zajišťujícím stabilitu destičky při obrábění, upnutí destičky dostatečně velkou silou. Tato síla může být zjištována výpočtem, což vede k chybám percentuelně vyšší, než při experimentálním měření upínacích sil. Na základě této skutečnosti byla z teoretického rozboru upínacího mechanismu vyjádřena upínací síla F_{um} a její skutečná velikost F_{us} se ověřovala přímo i nepřímo prostřednictvím experimentálních metod měření. Ze získaných výsledků se provedlo porovnání a zhodnocení jednotlivých přístupů k problému.

3.2.3.1 Zjištování upínací síly F_{um} výpočtem

Na základě poznatků získaných z /1/ byl proveden silový rozbor upínacího systému s výkyvným čepem. Podle obr. 3 - 15 se sestavily rovnice rovnováhy na jednotlivých upínacích elementech.

Sílové poměry v upínacím mechanismu

obr. 3 - 15

Revnováha na upínacím šroubu je vyjádřena vztahem

$$M - M_{tz} - M_{tk} = 0 \quad (3.20)$$

kde hodnota utahovacího momentu se zmenšuje o velikost momentu třecích sil v závitech šroubu a o moment tření na styku kuželových částí kolíku a šroubu. Moment tření v závitech má velikost podle (3.21) a moment tření na styku kolíku a šroubu podle (3.22).

$$M_{tz} = \frac{d_z}{2} F_o \left(\tan \kappa + \frac{f_z}{\cos 30^\circ} \right) \quad (3.21)$$

$$M_{tk} = F_o \cdot e_1 \cdot \frac{f}{\sin 30^\circ} \quad (3.22)$$

Dosažením za jednotlivé momenty (3.20) dostáváme pak

$$M - \frac{d_2}{2} F_o \left(\operatorname{tg} \alpha + \frac{f_2}{\cos 30^\circ} \right) - F_o \cdot e_1 \cdot \frac{f}{\sin 30^\circ} = 0 \quad (3.23)$$

Odtud získáme velikost osové síly vyvzestvané šroubem při utahování.

$$F_o = \frac{M}{\frac{d_2}{2} \left(\operatorname{tg} \alpha + \frac{f_2}{\cos 30^\circ} \right) + e_1 \cdot \frac{f}{\sin 30^\circ}} \quad (3.24)$$

Pro rovnováhu sil na kolíku platí vztahy

$$R_k = \frac{F_o}{\sin 30^\circ} \quad (3.25)$$

$$R_k = (N_1 + N_2) \cdot f - F_o \cdot \operatorname{cotg} 30^\circ \quad (3.26)$$

Po dosazení do (3.26) za N_1 a N_2 získáme vztah (3.29) pro hodnotu

$$N_1 = \frac{e_2}{e_3} \cdot F_o \cdot \sqrt{1+f^2} \quad (3.27)$$

$$N_2 = \left(\frac{e_2}{e_3} + e_2 \right) \cdot F_o \cdot \sqrt{1+f^2} \quad (3.28)$$

reakce mezi kolíkem a upínacím čepem.

$$R_k = F_o \left[\frac{1}{\operatorname{tg} 30^\circ} - \left(\frac{2e_2}{e_3} + e_2 \right) \cdot f \cdot \sqrt{1+f^2} \right] \quad (3.29)$$

Revnováhu sil na upínacím čepu posuzujeme jako revnováhu sil na páce a rovnice má tvar

$$F_{um} = \frac{c}{d} \cdot R_k \quad (3.30)$$

Pro zjištění velikosti reakce R mezi čepem a tělesem nože můžeme sestavit ještě rovnici (3.31).

$$R = F_{um} + R_k$$

(3.31)

Ze vztahu (3.24, 3.29 a 3.30) vyplývá výsledný vztah pro upínací sílu F_{um}

$$F_{um} = \frac{c}{d} \cdot \frac{M \cdot [\cotg 30^\circ - \left(\frac{2e_2}{e_3} + e_2 \right) \cdot f \cdot \sqrt{1+f^2}]}{\frac{d_2}{2} \left(\tg \lambda + \frac{f}{\cos 30^\circ} \right) + e_1 \cdot \frac{f}{\sin 30^\circ}} \quad (3.32)$$

Hodnoty vypočtené podle (3.32) jsou zaznamenány v tab. 3.13. Pro výpočet je však nutné vyčíslit velikosti konstant uvedených ve vztahu (3.32).

$$\frac{c}{d} = \frac{7,15}{10,6} = 0,674 \dots \text{zjištěno z výkresu Tk 14 18/9}$$

$$D_2 = 7,188 \dots \text{střední průměr metrického závitu M 8}$$

$$\tg \lambda = \frac{e}{\pi \cdot D_2} = 0,05535$$

$$e_1 = 2,0 \text{ mm}$$

$$e_2 = 1$$

$$e_3 = 8,18$$

Velikosti koeficientů tření získaných z / 1 / pro utahovací momenty od 1 do 5 Nm udává tab. 3.14. Výpočet se prováděl jak pro mazaný, tak pro odmaštěný závit. Byl stanoven předpoklad, že koeficient tření v závitech odpovídá koeficientům tření na styku šroubu a kolíku a na styku kolíku a tělesa nože.

tab. 3.14

M /Nm/	zmocnitel tření	f_z
	odmaštěno	mazáno
1	0,458	0,141
2	0,499	0,150
3	0,479	0,164
4	0,430	0,172
5	0,428	0,154

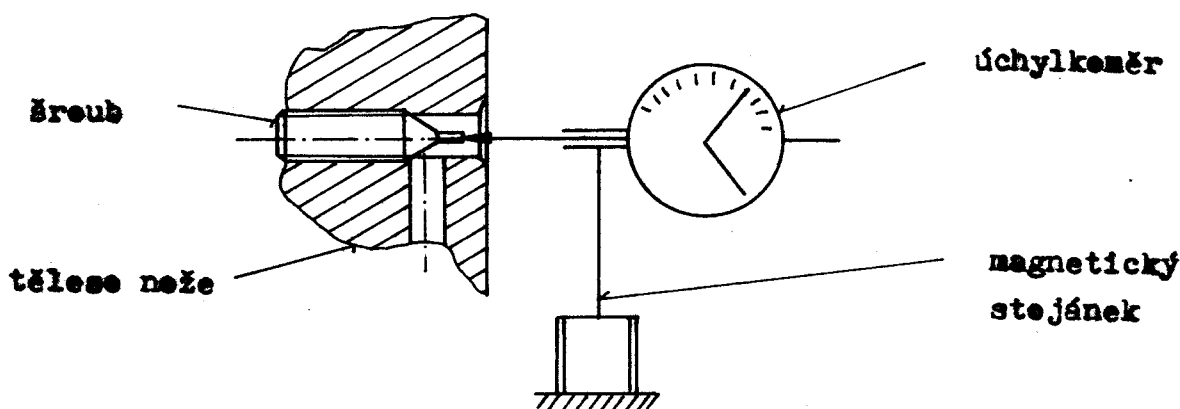
Přehled jednotlivých reakcí - teoretický výpočet
Tab. 3.13.

M/ Nm/	Fum/ N/	Rk/ N/	F _D /N/	N ₁ / N/	N ₂ / N/	R/ N/
1 189,5	281,1	254,3	34,1	313,9	470,6	
2 328,1	486,8	468,8	63,9	587,9	814,9	
3 528,0	783,4	731,2	98,9	909,7	1 311,4	
4 837,0	1 241,8	1 080,0	143,4	1 319,1	2 078,8	
5 1 053,7	1 663,3	1 356,0	179,9	1 654,9	2 616,9	
1 777,4	1 153,4	741,8	91,4	840,5	1 930,8	
2 1 463,6	2 171,6	1 407,0	173,6	1 596,3	3 635,2	
3 2 008,5	2 980,0	1 953,7	241,5	2 221,4	4 988,5	
4 2 551,5	3 785,6	2 498,8	309,3	2 844,9	6 337,1	
5 3 565,1	5 289,5	3 438,7	424,4	3 903,7	8 854,6	

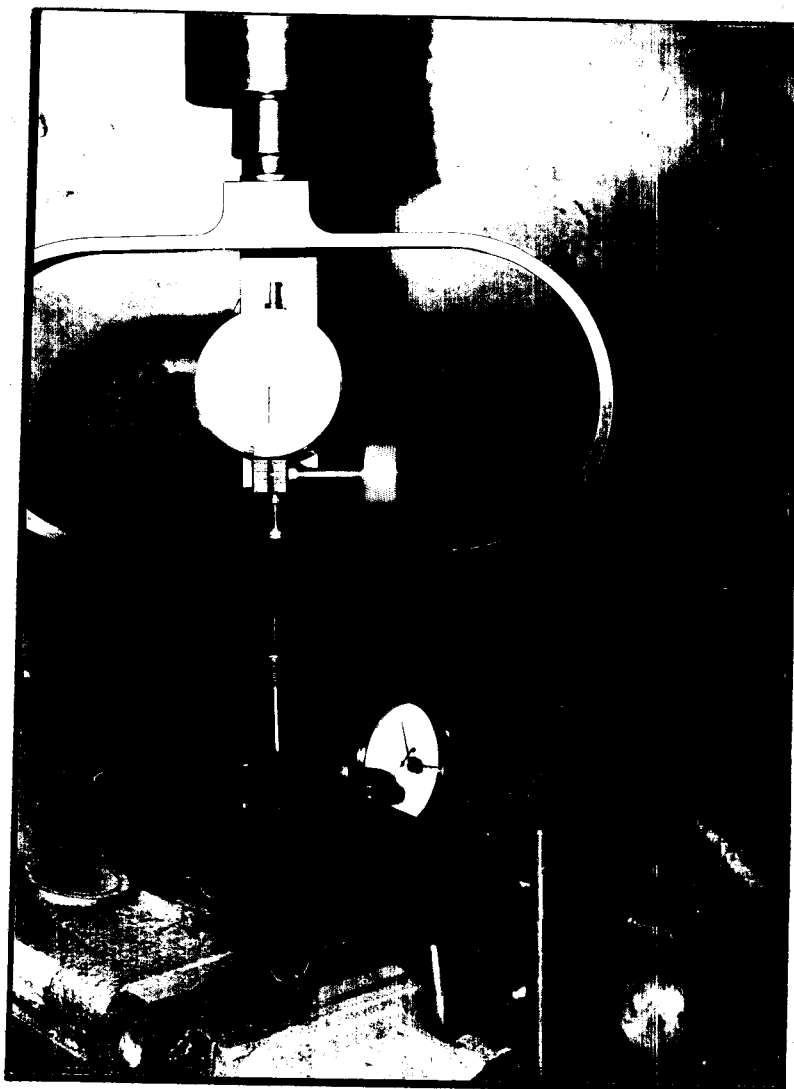
Z vypočtených hodnot F_{um} vyplývá, že u odmaštěného mechanismu vycházejí tyto až 3x menší než u mazaného a to při všech uvažovaných utahovacích momentech. Jak je zřejmé, tak mazaným mechanismem se dají podle teoretických výpočtů vyvinout značně vysoké síly F_{um} , kolem 3500 N. K tomu, aby bylo možné takto vysoké upínací síly přenášet, je nutné zajistit maximální tuhost mechanismu a volit součástkové materiály s vysokou mezi pevnosti a povrchovou tvrdostí.

3.2.3.2 Zjištění skutečné upínací síly F_{us} nepřímým měřením

Protože při výpočtu upínací síly jsme se dopustili poměrně velké chyby vlivem některých zjednodušení a vlivem volby ne příliš vhodného koeficientu tření, proto jsme experimentální metodou ověřili, zda velikosti upínací síly vypočtené a změřené si budou odpovídat při příslušných utahovacích momentech. Měření F_{us} jsme provedli nepřímo, protože nejdříve jsme změřili velikost reakce R_K působící mezi kolíkem a upínacím čepem a poté podle vztahu (3.30), po dosazení za rozměry c a d, vypočítali sílu F_{us} . Měření jsme uskutečnili na vrtačce VR-4. Schéma měřicí aparatury je na obr. 3 - 16 a 3 - 17.



obr. 3 - 16



obr. 3 - 17

Pro vlastní měření se nechala vyhotovit tyčinka z rychlořezné oceli odpovídající rozměrově a tvarově kolíku. Rozdíl byl pouze v délce, protože tyčinka po zasunutí do otvoru pro kolík musela přesahovat úroveň špičky nože. Přesah se nevolil příliš velký z důvodu možnosti ohýbu tyčinky při jejím zatěžování. Těleso nože se upevnilo do naklápacího svéráku tak, že osa vřetena vrtačky byla totožná s osou otvoru pro kolík. Na vřeteno vrtačky byl upnut třmenový siloměr s konstantou 1 mm \approx 3,294 kN. Ten svým dotykem působil na zasunutou tyčinku v tělese nože.

Ze spodní strany nože byl umístěn úchylkoměr, který se dotýkal stopky šroubu. Utahování šroubu se provádělo torsním momentním klíčem č. 4, kde jeden dílek na stupnici představoval hodnotu $0,1 \text{ kpm} = 1 \text{ Nm}$. Přesnost měření na tomto klíči je $\pm 0,3 \text{ kpm}$ a rozsah od $0 - 20 \text{ kpm}$. Před započetím měření jsme nejdříve ustavili šroub do polohy, kdy již upíná břitovou destičku do lůžka nože a vynulovali jsme úchylkoměr ve spodní části nože. Poté jsme vytočili upínací šroub o určitou hodnotu, čímž nastala situace, při které šroub už neupíná. Ručička na úchylkoměru se vychýlila od nuly. Pak jsme nepatrně zatížili vřetenem vrtačky tyčinky a momentovým klíčem utahovali upínací šroub do té doby, než ručička na úchylkoměru dosáhla hodnoty, kterou měla při upínací poloze šroubu. V tomto okamžiku byla přečtena výchylka na třmenovém siloměru. Šroub se potom opět vytočil z upínací polohy a zatížení tyčinky se zvýšilo. Zkráceně tedy můžeme říci, že tento postup uvádí do rovnováhy reakci R_K s utahovacím momentem M na šroubu. Měření jsme provedli pro každou hodnotu utahovacího momentu $10x$ a z průměrné hodnoty R_K stanovili přepočtem velikost upínací síly F_{us} , což shrnuje tab. 3.15 a 3.16. Protože oba zkoumané nože mají funkčně i rozměrově stejný upínací mechanismus, postačilo ověření velikosti upínací síly pouze na jednom z nich, na noži 1.

Při měření se uvažoval také vliv mazání. Upínací mechanismus byl mazán strojním olejem a pro odmaštění se používalo benzínového čističe.

Při tomto způsobu měření se také dopouštíme určité chyby, která je daleko menší, než u teoretického výpočtu upínací síly. Jedná se především o chybu při přepočtu reakce R_K na F_{us} , neboť vlivem výrobních odchylek se mohou změnit poměry na upína-

tab. 3.15 Velikosti reakcí na kolíku při nepřímém měření P_{us}

		čís. měř.	1 /Nm/	2 /Nm/	3 /Nm/	4 /Nm/	5 /Nm/
odmaštěno	R_K /N/	1	263,5	560,0	856,4	1218,8	1614,0
		2	197,6	494,1	922,3	1021,1	1778,8
		3	230,6	527,0	823,5	1416,4	1383,5
		4	296,5	592,9	889,4	1119,9	1416,4
		5	295,3	658,8	790,9	1152,9	1482,3
		6	197,6	510,6	889,3	1136,4	1218,8
		7	296,4	494,1	856,4	1021,1	1020,3
		8	197,6	625,9	757,6	1004,6	1251,7
		9	230,6	559,9	790,6	1119,9	1218,8
		10	263,5	592,9	807,0	1087,0	1284,7
		#	246,9	561,6	838,3	1129,8	1385,1
mazáno	R_K /N/	1	461,1	922,3	1663,4	2239,9	2701,0
		2	510,6	1004,6	1696,4	2223,4	2717,6
		3	428,2	1087,0	1762,3	2174,0	2734,0
		4	461,1	1152,9	1712,9	2279,4	2717,6
		5	461,1	1136,4	1778,8	2272,8	2717,6
		6	461,1	1129,8	1811,7	2470,5	2602,3
		7	527,0	1119,9	1778,8	2276,1	2635,2
		8	543,5	1152,9	1828,1	2272,8	2470,5
		9	569,9	1185,8	1861,1	2305,8	2707,7
		10	592,9	1185,8	1811,7	2256,4	2734,0
		#	501,7	1107,7	1770,5	2277,1	2670,5

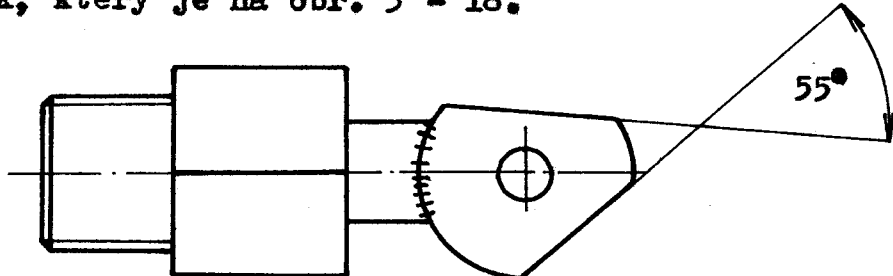
cím čepu od poměru výkresových. Upínací síla získaná tímto experimentem však nepostihuje vliv tření mezi čepem a tělesem nože, mezi upínacím čepem a břitovou destičkou. Je v ní ale zahrnuto tření v ostatních částech mechanismu. Bylo by zajímavé stanovit, jaká část upínacích sil se ztrácí v pasivních odporech na výkyvném čepu. Tento problém bude probrán v kap. 3.2.4. Ze získaných sil F_{us} v tab. 3.16 vyplývá, že jsou až 2x menší než sily získané výpočtem v kap. 3.2.3.1 a to jak u odmaštěného, tak u mazaného upínacího mechanismu.

tab. 3.16

čís. měř.	odmaštěné			mazané	
	M /Nm/	R _K /N/	F _{us} /N/	R _K /N/	F _{us} /N/
1 N° čísl.	1	246,9	166,4	501,7	338,1
	2	561,6	378,5	1107,7	746,6
	3	838,3	565,0	1770,5	1193,3
	4	1129,8	761,5	2277,1	1534,8
	5	1385,1	933,6	2670,5	1799,9

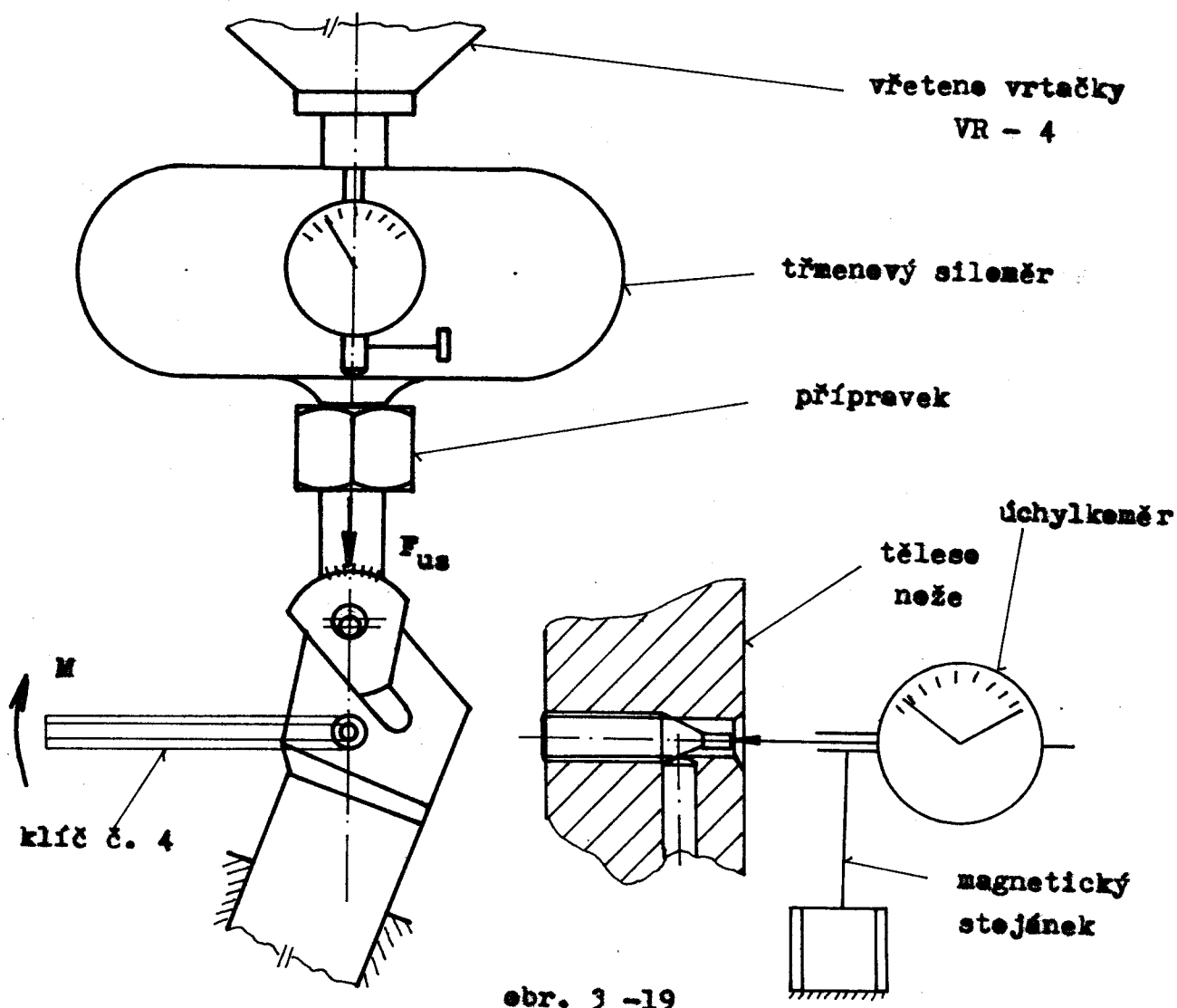
3.2.3.3 Zjištění skutečné upínací síly F_{us} přímým měřením

Ještě přesněji, než bylo popsáno v obou předchozích kapitolách, lze získat velikosti upínacích sil jejich přímým měřením, kdy postihujeme všechny vlivy upínacího mechanismu. Pro tento případ měření byl vyhotoven speciální přípravek, který je na obr. 3 - 18.



Obr. 3 - 18

Jednalo se v podstatě o ocelovou destičku, která byla připájena ke zvláštnímu držáku se závitem a ten byl zašroubován do třmenového siloměru upevněného opět na vřeteno vrtačky VR -4. Ocelová destička na přípravku byla vyrobena podle vzoru skutečné břitevé destičky. Stejně jako u nepřímého měření F_{us} i zde jsme použili úchylkoměru umístěného v zadní části nože a dotýkajícího se stopky šroubu. Úchylkoměr zajistoval vždy tu polohu, kterou měl šroub při upnutí BD. Utahování se provádělo torsním momentním klíčem č.4 s charakteristickými údaji uvedenými v předešlé kap. 3.2.3.2. V tomto případě se použil třmenový siloměr s konstantou 6 mm \approx 4 kN. Schéma uspořádání měření je na obr. 3 - 19.



tab. 3.17 Velikost skutečných sil F_{us} při přímém měření

	čís. měř.	1 /Nm/	2 /Nm/	3 /Nm/	4 /Nm/	5 /Nm/
odmaštěno F_{us} /Nm/	1	140,0	346,6	526,7	666,6	930,0
	2	146,6	340,0	536,7	673,3	916,6
	3	140,0	343,3	540,0	656,6	920,0
	4	166,6	353,3	533,3	670,0	940,0
	5	176,6	366,6	520,0	676,6	943,3
	6	143,3	326,6	500,0	653,3	966,6
	7	160,0	306,6	506,6	673,3	940,0
	8	163,3	293,3	493,3	663,3	930,0
	9	166,6	300,0	516,7	670,0	920,0
	10	170,0	340,0	510,0	663,3	903,3
mazáno F_{us} /Nm/	6	144,7	331,6	518,3	666,6	930,9
	1	286,6	726,6	980,0	-	-
	2	300,0	736,6	993,3	-	-
	3	320,0	753,3	1006,7	-	-
	4	320,0	763,3	1020,0	-	-
	5	313,3	760,0	1026,7	-	-
	6	300,0	746,6	986,7	-	-
	7	283,3	733,3	963,3	-	-
	8	266,6	723,3	973,3	-	-
	9	300,0	706,6	1020,0	-	-
6	10	316,6	713,3	1006,7	-	-
	6	300,6	736,3	997,7	-	-

Těleso nože bylo usypano do naklápacího svéráku tak, aby se směr upínací síly ztotožnil s osou vřetena vrtačky. Po upnutí přípravku do sedla nože byl vynuleván úchylkoměr, kterým se pochoval šroub. Pak se provedlo povolení šroubu a počáteční zatížení vřetenem vrtačky. Po té došlo k utažení šroubu momentovým klíčem do upínací polohy zajištěné pomocí úchylkoměru. Právě v nulové poloze byla přečtena velikost síly F_{us} na siloměru. Zkušební přípravek jsme zatěžovali tahem. Upínací čep pak musel vyvinout při upnutí BD příslušnou sílu F_{us} . Uváděli jsme tak do rovnováhy skutečnou upínací sílu s utahovacím momentem na šroubu. Měření jsme provedli 10x pro uvedený rozsah momentů u odmaštěného a mazaného mechanismu. Hodnoty udává tab. 3.17 a 3.18.

tab. 3.18

čís. měř.	odmaštěné			mazáne	
	M /Nm/	F _{us} /N/	-	F _{us} /N/	-
- •N •O •Z	1	1	144,7	300,6	-
	2	2	331,6	736,3	-
	3	3	518,3	997,7	-
	4	4	666,6	-	-
	5	5	930,9	-	-

U odmaštěného mechanismu jsme utahovacím momentem 5 Nm vyvinuli upínací sílu 930 N. U mazaného mechanismu při momentu 4 a 5 Nm docházelo již k ohýbání upínacího čepu, neboť odpovídající síla vyvolala svou velikostí značně vysoké ohýbové napětí, které překročilo předepsanou mez škuzu a mez pevnosti. Proto pro běžné dotažení šroubu v mazaném upínacím mechanismu plně postačí utahovací moment 2 Nm. Je třeba se zmínit o tom, že během měření bylo zjištěno nejen ohýbání čepu při vyšších utahovacích momentech, ale i značné emačkávání kontaktních plechů.

Jde především o styková místa na kelíku, čepu a upínacím šroubu. Kelík měl značně deformovaný kuželový konec a to tak, že ho nebylo možné vysunout z tělesa nože. Zrovna tak upínací šrouby byly příliš měkké a nepříznivě se omačkávaly i při nižších hodnotách upínacích sil. Proto všechny šrouby byly znevě tepelně zpracovány t.j. kaleny a popuštěny na teplotu 230°C. Po této zpracování byly lepší odolnost proti kontaktním deformacím. Pro úplnou přehlednost jsou v tab. 3.19 porovnány hodnoty předepsaných a zjištěných tvrdostí a pevnosti materiálu jednotlivých upínacích elementů.

tab. 3.19 Porevnání pevnosti upínacích elementů

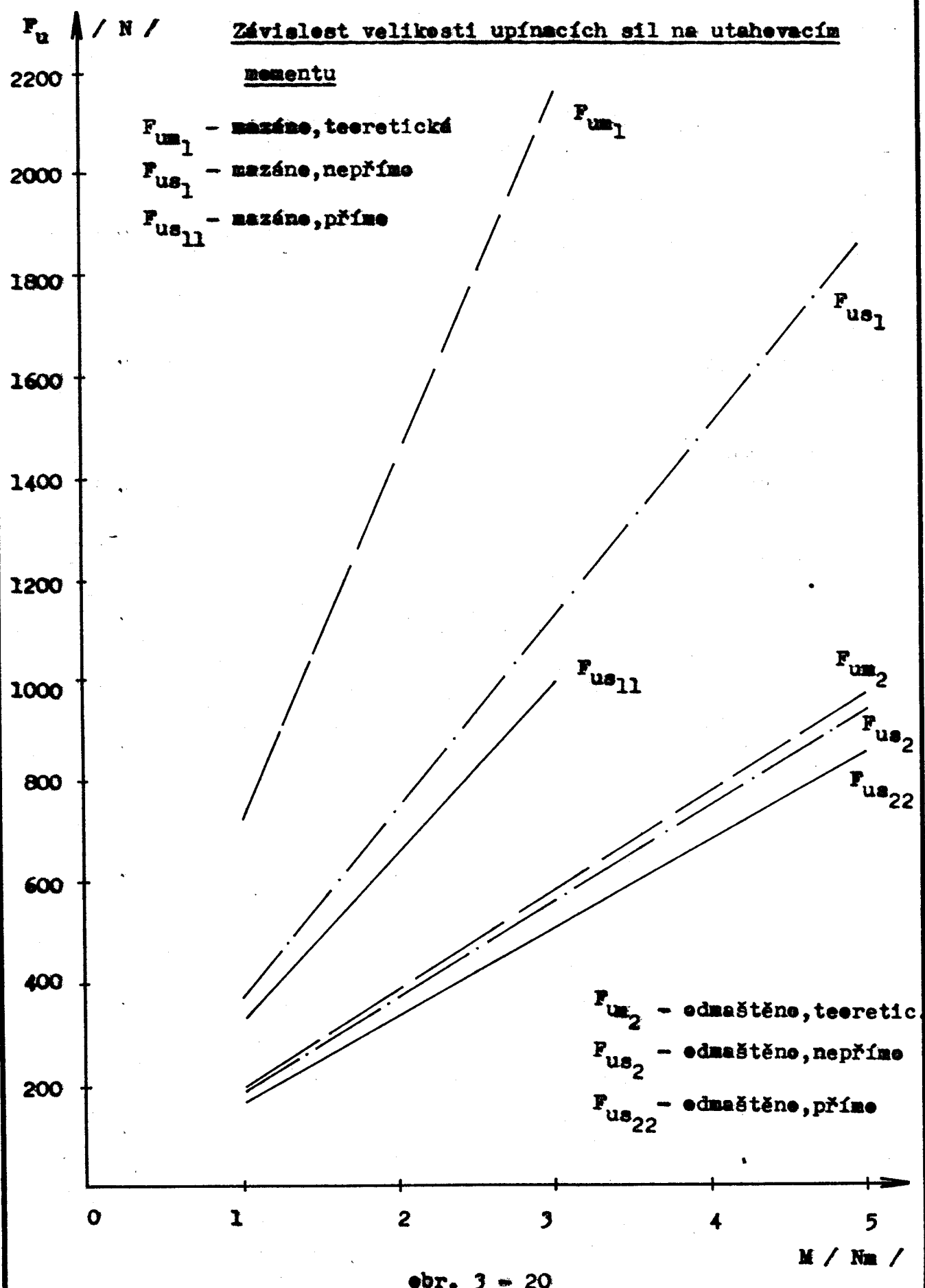
-	šroub původní	kelík	čep	šroub znevě tepel, zprac.
zjištěná tvrdost HV	457	573	382	658
zjištěná \bar{F}_{P_t} pevnost /MPa/	1457	1853	1286	2118
předepsaná \bar{F}_{P_t} /MPa/	minimálně 1080	1706 - 2020	1375 - 1570	-

Tvrdost byla změřena vpichem a na jejím základě určena hodnota \bar{F}_{P_t} . V tab. jsou zaznamenány již průměrné hodnoty ze 3 měření u každé upínací součástky.

Z uvedených skutečností tedy vyplývá, že je potřebné věnovat větší pozornost tepelnému zpracování jednotlivých částí upínacího mechanismu a zvýšit tak jejich povrchovou tvrdost, ovšem ne na úkor pevnosti.

3.2.4 Porevnání zjištěných hodnot upínacích sil

Srovnáme-li získané hodnoty upínacích sil při jednotlivých způsobech měření, zjistíme, že síly při přímém měření a síly při nepřímém měření se mezi sebeu o mnoho neliší, což je dáno odlehlostí přímek na obr. 3 - 20, kde je udána závislost F_u na M . Z principu sametného měření je tedy zřejmé,



že nepřímo měřené síly, které nepostihují vliv celkového tření v mechanismu, musí být o něco menší, než síly přímo měřené, které zahrnují vliv tření v celém upínacím mechanismu. Jelikož známe velikosti těchto sil, můžeme je porovnat a stanovit jejich rozdíl, který pak vyjadřuje, jaká část upínací síly se ztrácí v pasivních odporech na stykových místech výkyvného čepu. U odmaštěného mechanismu, při jednotlivých utahovacích momentech, činí ztráty v průměru 10,5% z naměřené upínací síly. U mazaného mechanismu činí ztráty 11,2%. Vyšší ztráty pasivními odpory u mazaného mechanismu si lze vysvětlit tím, že hla-va upínacího čepu ani břitová destička při přímém měření F_{us} nebyly mazány, z čehož vyplývá, že vlivem větší upínací síly vyvozené mazaným mechanismem se zvýší i normálná složka třecích sil na hlavě čepu.

Z obr. 3 - 20 je vidět, že hodnoty teoretických upínacích sil u odmaštěného mechanismu si celkem s naměřenými hodnotami odpovídají. U mazaného mechanismu však teoretické síly vyšly až 2x větší než naměřené. Chyba zřejmě tkví ve volbě správného koeficientu tření odpovídajícího daným podmínkám a v nepřesnosti použitého vztahu (3.32). Ve skutečnosti dochází k namáhání kolíku na chybě svislou složkou reakce R_1 viz. obr. 3-15. Kolík se pak v uložení přičí a horní hranou koncového kužele se zalisovává do kuželového zakončení šroubu. Takovéto uložení kolíku je velice nevhodné, protože tvářením materiálu šroubu se značně sníží velikost upínací síly i reakce R_k proti teoretickému výpočtu. Na základě uvedených poznatků můžeme proto konstatovat, že upínací mechanismus, je-li mazán, může přenášet pouze síly, které jsou vyvolány kroutícím momentem 3 Nm a nižší. Pro kroutící momenty vyšší dochází u mazaného mechanismu k ohýbání upínacího čepu, neboť chybová napětí vyvozená přísluš-

ným utahovacím momentem se kritický bliží k mezi pevnosti materiálu. Pro daný materiál a danou konstrukci čepu nesmí hodnota upínacích sil u mazaného a ~~odměštěného~~ mechanismu překročit hodnotu 1144 N při dodržení hodnot σ_{p_t} daných výkresem Tk 14 18 s/9. Pro výpočet, který by odpovídal nebo se výrazně bližil skutečným silevým poměrům daného upínacího mechanismu, jsem stanovil empirický vztah. Pro jeho určení jsem použil skutečně naměřených hodnot sil F_{us} a naměřených hodnot koeficientů tření v závitech šroubu dle § 1/. Vliv tření a plastické deformace na stykovém místě kolíku a šroubu pro konkrétní materiál lze vyjádřit konstantou z_k . Pak platí

$$F_{u_0} = F_{u_m} \cdot \frac{1}{z_k} \quad (3.33)$$

kde z_k je dána kvadratickou rovnicí (3.34).

$$z_{k_{1,2}} = -\frac{B \pm \sqrt{B^2 - 4AC}}{2A} \quad (3.34)$$

$$A = [M^2 \cdot f^2 \cdot 1,54 - e_1 \cdot R_k \cdot \frac{1}{\sin 30^\circ}] \quad (3.35)$$

$$B = R_k [2M \cotg 30^\circ - R_k \cdot d_2 \cdot (\operatorname{tg} \mu + \frac{f_2}{\cos 30^\circ})] \cdot \frac{e_1}{\sin 30^\circ} \quad (3.36)$$

$$C = \left\{ R_k \cdot d_2 \cdot (\operatorname{tg} \mu + \frac{f_2}{\cos 30^\circ}) \cdot \left[\frac{d_2}{2 \cdot 2} (\operatorname{tg} \mu + \frac{f_2}{\cos 30^\circ}) + M \cdot \cotg 30^\circ \right] - M^2 \cdot (\cotg 30^\circ - 1,54 f^2) \right\} \quad (3.37)$$

Řešením kvadratické rovnice získáme dva kořeny, z nichž platí pouze kladný a větší kořen. Pro dany mazaný mechanismus při utahovacím momentu $M = 3 \text{ Nm}$ je hodnota $z_k = 1,47$.

4. Bezpečnost upnutí břitové destičky upínacím mechanismem

Po uvedených měřeních a výpočtech můžeme schopnosti upínacího mechanismu vyjádřit bezpečnostním koeficientem upnutí BD. Za určitých předpokladů jsme zjistili, že pro dosažení rovnováhy destičky v sedle ověřovaných vzorů kopírovacích nožů zatěžovaných při extrémních podmínkách obrábění je potřeba vyvinout určitou minimální sílu, potřebnou upínací sílu F_{up} , při které ještě nedojde k porušení stability BD, viz. kap. 3.2.2. Potřebná F_{up} se volila z tab.

3.9 pro podmínky obrábění $s = 0,7 \text{ mm/ct}$ a $t = 7 \text{ mm}$. Bezpečnost upnutí můžeme tedy vyjádřit poměrem upínací síly, kterou vydí upínací mechanismus a síly potřebné, získané silovým rozberem břitové destičky. (4.1, 4.2).

Bezpečnostní koeficienty jsme vyjádřili pro nůž 1. viz tab.

4.1. Za skutečnou upínací sílu se desazovala F_{us} vyvolaná jmenovitým utahovacím momentem 3 Nm při mazaném mechanismu. F_{um} je teoretická upínací síla získaná silovým rozberem upínacího mechanismu. Bezpečnostní koeficient k_1 je vztažen ke skutečné upínací síle F_{us} a koeficient k_2 je vztažen k teoretické upínací síle F_{um} .

$$k_1 = \frac{F_{us}}{F_{up}} \quad (4.1)$$

$$k_2 = \frac{F_{um}}{F_{up}} \quad (4.2)$$

tab. 4.1 Bezpečnostní koeficienty upnutí BD pro nůž 1

koef.	Gm 35 Tizit		Pramet S 20	
	I	II	I	II
k_1	4,72	0,33	4,72	1,25
k_2	9,5	0,68	9,5	2,53

Z tab. 4.1 je zřejmé, že pro nůž I bezpečnost upnutí při platnosti výše uvedených podmínek zajištěna je, protože koeficienty k_1 a k_2 vycházejí větší jak jedna. Pouze v případě varianty II u destičky Gm 35 Tizit dostáváme koeficienty menší jak jedna, což je nereálný případ. Důvod spočívá v tom, že potřebná upínací síla F_{up} je mnohem větší než síla skutečná F_{us} , kterou lze upínacím mechanismem vyvést bez deformace jeho jednotlivých elementů. Pak destička Gm 35 Tizit pro variantu II není bezpečně upnuta.

5. Pevnostní výpočet upínacího mechanismu

Při upnutí BD vyšším utahovacím momentem může dojít k enormnímu namáhání elementů upínacího mechanismu, zejména upínacího čepu zatěžovaného ohybem a tím i k poklesu potřebné upínací síly. Tento důvod mne vedl k temu, abych se zabýval pevnostní kontroleu upínacího mechanismu. Je tedy třeba na základě výpočtu provést kontrolu namáhaných průřezů čepu, kontrolo na otlačení ve stykových místech mechanismu a vyjádřit velikost průhybu čepu na jeho spodním konci za působení jmenovité síly $F_{us} = 997,7 \text{ N}$.

5.1 Kontrola bezpečných průřezů čepu

Upínací čep je vyroben z materiálu 14 260 o $\sigma_{p_t} = 1177 - 1470 \text{ MPa}$. Na jeho spodní část působí reakce od kolíku o velikosti $R_k = 1479 \text{ N}$. Tato reakce namáhá čep ohbovým momentem M_o , který je zakreslen na obr. 5 - 1 společně s průběhem ohbového napětí σ_o . Při stanovení maximálních velikostí ohbových napětí v kritických průřezech čepu jsme vycházeli ze skutečné upínací síly $F_{us} = 997,7 \text{ N}$, jež odpovídá jmenovitému utahovacímu momentu $M = 3 \text{ Nm}$ u mazaného mechanismu.

Po dle obr. 5 - 1 je zřejmé, že největší napětí vznikají v průřezech 1 a 2 :

v průřezu 1 vzniká napětí

$$\sigma_{o_1} = \frac{22, F_{us} \cdot 8,07 \cdot 10^{-3}}{\pi \cdot 6,4 \cdot 10^{-8}} = 1281,4 \text{ MPa} \quad (5.1)$$

v průřezu 2 vzniká napětí

$$\sigma_{o_2} = \frac{22, F_{us} \cdot 4,73 \cdot 10^{-3}}{\pi \cdot 6,4 \cdot 10^{-8}} = 1113,4 \text{ MPa} \quad (5.2)$$

Maximální ohýbový moment je dán vztahem

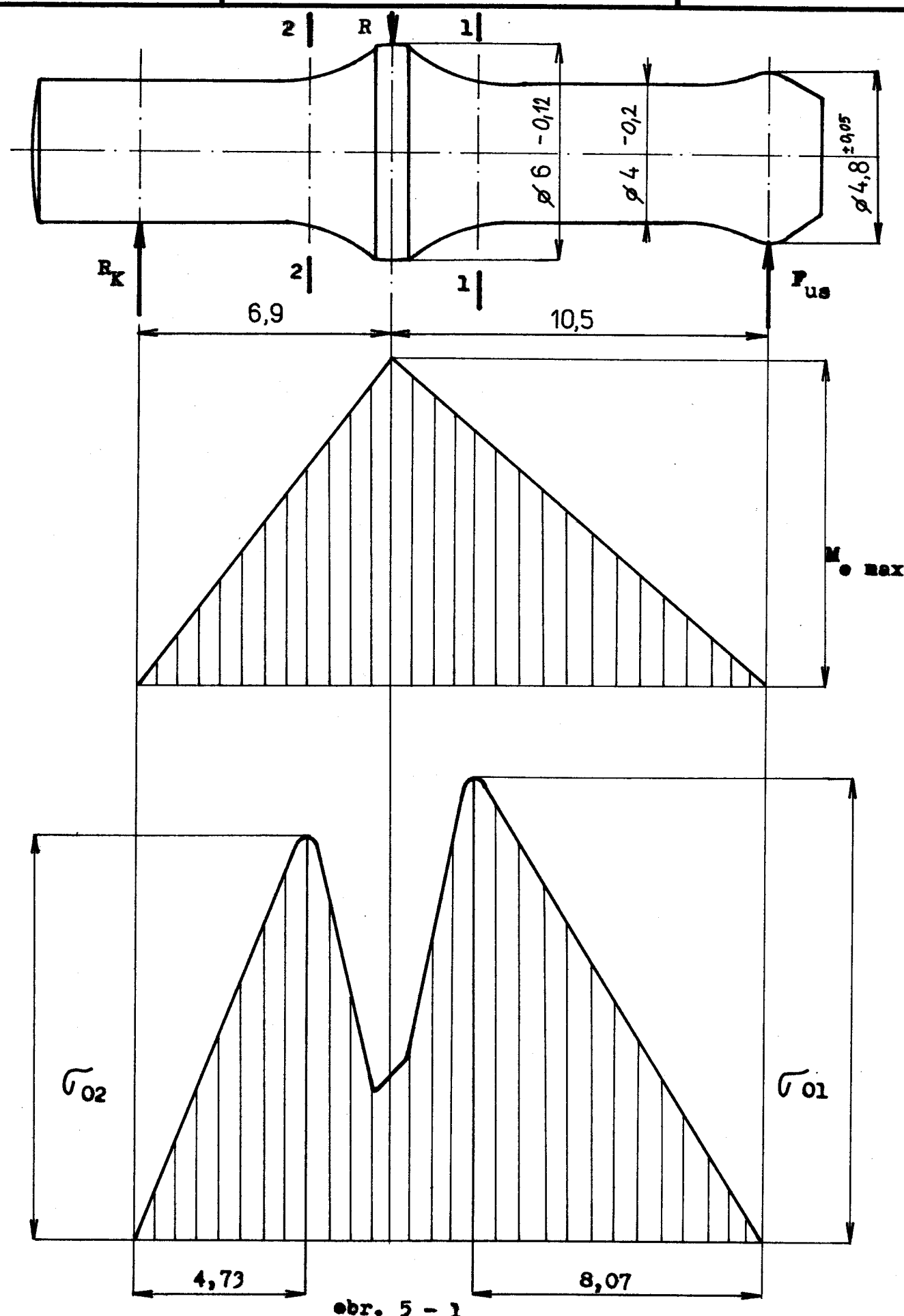
$$M_{e \max} = F_{us} \cdot 10,5 \cdot 10^{-3} = 10,5 \text{ Nm} \quad (5.3)$$

Z uvedeného tedy vyplývá, že kritickým průřezem je průřez 1. Přesto, že hodnota ohýbového napětí zde leží v intervalu meze pevnosti materiálu, nedocházele při působení jmenovitej silou $F_{us} = 997,7 \text{ N}$ na čep k jeho deformaci. Protože při běžném utažení šroubu v upínací mechanismu vyvodíme momenty dva až tři Nm a často se ani nejedná o mazaný mechanismus, můžeme konstatovat, že čepy z hlediska požadavků na funkci celkem vyhovují. Bezpečnost k mezi pevnosti je dána vztahem

$$k = \frac{\sigma_{pt}}{\sigma_{o_1}} = \frac{1570}{1281,4} = 1,22 \quad (5.4)$$

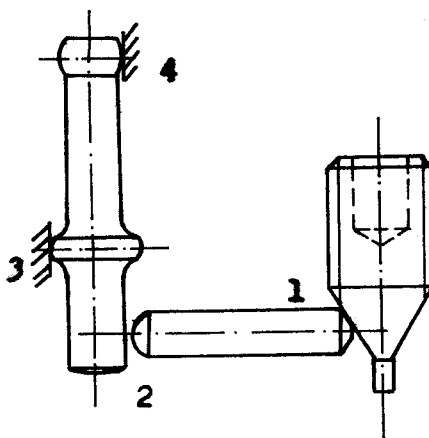
5.2 Výpočet kontaktních napětí na stykových místech upínacího mechanismu

Ve fázi upínání břitové destičky dochází nejdříve k vymezení všech vůlí v daném systému, potom k napru-



žení upínacího čepu. Kontaktní napětí vzniklá v místech styku kolíku a šroubu, kolíku a čepu a čepu a břitevě destičky bude značné. Proto stanovme jejich velikost a povedeme je s průhybem čepu při jmenovitém utahovacím momentu $M = 3 \text{ Nm}$.

Označení stykových míst
v upínacím mechanismu



ebr. 5 - 2

1. Jedním z míst, kde dochází ke značné deformaci kontaktních plech je styk šroubu a kolíku. Jde v podstatě o styk dvojice různě velkých kuželových plech. Skutečná kontaktní pleška je lichoběžník. Pretež však kuželové zakončení kolíku je mnohem menší než kužel na šroubu, můžeme stykovou plešku považovat za obdélník, jehož menší strana je stejně velikosti jako menší základna lichoběžníka. Uvažujeme styk jakoby dveře kuželových válcových plech zatížených reakcí R_1 a platí, že $R_1 = R_2 = 0,3$ a $E_1 = E_2 = 2,05 \cdot 10^5 \text{ MPa}$. viz ebr. 5 - 2. Polovina menší strany stykové plešky je dána vztahem (5.5)

$$b = 2,15 \sqrt{\frac{q}{E}} \cdot \frac{D_1 \cdot D_2}{D_1 + D_2} = 2,15 \sqrt{\frac{2 \cdot 32 \cdot 1,4 \cdot 1,1 \cdot 10^{-6}}{2,1 \cdot 10^{11} \cdot 2,5 \cdot 10^{-3}}} = 1,77 \cdot 10^{-4} \text{ m} \quad (5.5)$$

kde q je střední tlak na jednotku délky stykové plešky a vyjádří se vztahem (5.6) a D_1 a D_2 jsou průměry stykajících se

těles. Normální reakce R_1 se vypočítá podle (3.24) a (3.25).

$$q = \frac{R_1}{a} = \frac{3907.4}{1,68 \cdot 10^{-3}} = 2,32 \cdot 10^6 \text{ N/m} \quad (5.6)$$

Hednata a je délka stykové plešky. Maximální tlak na plešku je

$$p_1 = \frac{\frac{4 \cdot a \cdot q}{\pi \cdot b}}{5,5 \cdot 10^{-4}} = \frac{4 \cdot 2,32 \cdot 10^6}{5,5 \cdot 10^{-4}} = 16872 \text{ MPa} \quad (5.8)$$

a dovolený tlak je dán (5.9) za předpokladu $\tilde{\sigma}_{K_t} = \tilde{\sigma}_{K_d}$.

$$p_D = \frac{\tilde{\sigma}_{P_d}}{0,56 \sqrt{\frac{\tilde{\sigma}_{K_t}}{\tilde{\sigma}_{K_d}}}} = \frac{1080 \cdot 10^6}{0,56 \cdot 1} = 1928 \text{ MPa} \quad (5.9)$$

Kontaktní deformaci vyjádříme z empirického vztahu (5.10).

$$\begin{aligned} \delta_1 &= \frac{2(1-\mu^2)}{E} \cdot \frac{a}{\pi} \cdot \left(\frac{2}{3} + \ln \frac{2 \cdot \frac{D_1}{a}}{6} + \ln \frac{2 \cdot \frac{D_2}{a}}{6} \right) = \\ &= \frac{2(1-0,09)}{2,1 \cdot 10^{11}} \cdot \frac{2,32 \cdot 10^6}{\pi} \cdot \left(\frac{2}{3} + \ln \frac{2 \cdot 1,4 \cdot 10^{-3}}{1,77 \cdot 10^{-4}} + \ln \frac{2 \cdot 1,1 \cdot 10^{-3}}{1,77 \cdot 10^{-4}} \right) = \\ &= 3,8 \cdot 10^{-5} \text{ m} \end{aligned} \quad (5.10)$$

2. Tlak mezi kuličkou a upínacím čepem způsobený silou R_K , viz. obr. 5 - 2. Dotyková pleška mezi koulí a válcem je eliptického tvaru s polosach

$$a = \sqrt[3]{\frac{R_K \cdot n}{\pi}} = 1,486 \cdot \sqrt[3]{\frac{1479,1 \cdot 3,35 \cdot 10^{-3}}{3,07 \cdot 10^{-11}}} = 3,75 \cdot 10^{-4} \text{ m} \quad (5.11.)$$

$$b = \sqrt[3]{\frac{R_K \cdot n}{n}} = 0,717 \cdot \sqrt[3]{\frac{1479,1 \cdot 3,35 \cdot 10^{-3}}{3,07 \cdot 10^{11}}} = 1,81 \cdot 10^{-4} \text{ m} \quad (5.12)$$

Pro výpočet potřebujeme konstanty m, n , jež jsou dány (5.13) a (5.14).

$$m = \frac{4}{\frac{1}{r_1} + \frac{1}{r_1'} + \frac{1}{r_2} + \frac{1}{r_2'}} = \frac{4}{\frac{1}{1,9 \cdot 10^{-3}} + \frac{1}{\infty} + \frac{1}{3 \cdot 10^{-3}} + \frac{1}{3 \cdot 10^{-3}}} = \\ = 3,35 \cdot 10^{-3} \text{ m} \quad (5.13)$$

$$n = \frac{4 \cdot E}{3 \cdot (1 - \mu^2)} = \frac{4 \cdot 2 \cdot 1 \cdot 10^{11}}{3 \cdot (1 - 0,09)} = 3,07 \cdot 10^5 \text{ MPa} \quad (5.14)$$

Hodnoty r_1, r_1' jsou hlavní poloměry křivosti čepu a r_2, r_2' jsou hlavní poloměry křivosti kalíku. Maximální tlak je dán výrazem (5.15).

$$p_2 = 1,5 \cdot \frac{R_K}{\pi \cdot m \cdot b} = \frac{1479,1}{\pi \cdot 3,75 \cdot 1,81 \cdot 10^{-4}} = 10404 \text{ MPa} \quad (5.15)$$

Výpočtem pomocné veličiny γ podle (5.16) získáme $\gamma = 61^\circ 42'$

$$\cos \gamma = \frac{m}{4} \sqrt{\left(\frac{1}{r_1} - \frac{1}{r_1'}\right)^2 + \left(\frac{1}{r_2} - \frac{1}{r_2'}\right)^2 + 2 \left(\frac{1}{r_1} - \frac{1}{r_1'}\right) \cdot \left(\frac{1}{r_2} - \frac{1}{r_2'}\right) \cdot \cos 2\varphi} \quad (5.16)$$

a pro ní nalezneme v / 3 / hodnoty konstant λ, α a β . Úhel φ je úhel, který svírají reviny maximálních křivostí stýkajících se těles. Dovolený tlak p_D vyjádříme dle (5.9) a velikost stykové deformace má tvar (5.17).

$$p_D = 2803 \text{ MPa}$$

$$\sigma_2 = \lambda \cdot \sqrt[3]{\frac{R^2}{n^2 \cdot m}} = 1,985 \cdot \sqrt[3]{\frac{1479,1^2}{(3,07 \cdot 10^{-1})^2 \cdot 3,35 \cdot 10^{-3}}} = \\ = 3,78 \cdot 10^5 \text{ N} \quad (5.17)$$

3. Tlak mezi upínacím čepem a tělesem než přenášený silem R. viz. obr. 5-2. V tomto případě se dotek přenáší mezi kulevým povrchem čepu o poloměru $r_1 = 2,95 \text{ mm}$ a válcovým povrchem tělesa než o poloměru $r_2 = 2,975 \text{ mm}$. Pro toto místo je výpočet podle předchozího případu nevhodný, protože obě plechy se k sobě přimykají a z výpočtu vyjde $\mu = 0$.

4. Tlak mezi upínacím čepem a břítevou destičkou způsobený silem P_{us} . viz. obr. 5 - 2. Tento případ považujeme za styk kulevé plechy čepu s válcovou plechou destičky. Pro zjištěný úhel $\mu = 64^\circ 48'$ podle (5.16) nalezneme $\lambda = 1,378; \beta = 0,759; \lambda = 1,912$. Konstantu $m = 3,88 \cdot 10^{-3} \text{ m}$ spočítáme ze vztahu (5.13) a n podle (5.18), protože se jedná o styk dveř různých materiálů.

$$n = \frac{8 \cdot E_1 \cdot E_2}{3 \cdot [E_2 \cdot (1-\mu_1^2) + E_1 \cdot (1-\mu_2^2)]} = \frac{8 \cdot 2,1 \cdot 10^{11} \cdot 4,7 \cdot 10^{11}}{3 \cdot 4,7 \cdot 10^{11} \cdot (1-0,378^2) + 2,1 \cdot 10^{11} \cdot (1-0,0759^2)} \\ = 4,22 \cdot 10^5 \text{ MPa} \quad (5.18)$$

Počasy detykové elipsy mají velikost dle (5.19) a (5.20).

$$a = \sqrt[3]{\frac{F_{us} \cdot m}{n}} = 1,378 \cdot \sqrt[3]{\frac{997,7 \cdot 3,88 \cdot 10^{-3}}{4,22 \cdot 10^{11}}} = 2,88 \cdot 10^{-4} \text{ m} \\ (5.19)$$

$$b = \beta \sqrt[3]{\frac{F_{us}}{n}} = 0,759 \cdot \sqrt[3]{\frac{997,7 \cdot 3,88 \cdot 10^{-3}}{4,22 \cdot 10^{11}}} = 1,58 \cdot 10^{-4} \text{ m} \quad (5.20)$$

Kontaktní deformace se vypočítá ze vztahu (5.21).

$$\delta_4 = \lambda \cdot \sqrt[3]{\frac{F_{us}^2}{n^2 \cdot \pi}} = 1,912 \cdot \sqrt[3]{\frac{997,7^2}{(4,22 \cdot 10^{11})^2 \cdot 3,88 \cdot 10^{-3}}} = \\ = 2,15 \cdot 10^{-5} \text{ m} \quad (5.21)$$

Maximální stykový tlak je dán dle (5.22) a dovolený tlak získaný z (5.9) má hodnotu $p_D = 2803 \text{ MPa}$.

$$p_4 = 1,5 \cdot \frac{F_{us}}{\pi \cdot a \cdot b} = \frac{1,5 \cdot 997,7}{\pi \cdot 2,88 \cdot 1,58 \cdot 10^{-8}} = 6979 \text{ MPa} \quad (5.22)$$

Pro přehlednost jsou hodnoty vypočtených veličin shrnutы do tab. 5.1.

tab. 5.1 Přehled výsledných hodnot výpočtu kontaktních napětí

MIŠTÝKU	a /m/	b /m/	δ_i /m/	p_1 /MPa/	p_D /MPa/	n /m/	n /MPa/
1	-	$1,77 \cdot 10^{-4}$	$3,80 \cdot 10^{-5}$	16 872	1 928	-	-
2	$3,75 \cdot 10^{-4}$	$1,81 \cdot 10^{-4}$	$3,78 \cdot 10^{-5}$	10 404	2 803	$3,35 \cdot 10^{-3}$	$3,07 \cdot 10^5$
3	-	-	-	-	-	-	-
4	$2,88 \cdot 10^{-4}$	$1,58 \cdot 10^{-4}$	$2,15 \cdot 10^{-5}$	6 979	2 803	$3,88 \cdot 10^{-3}$	$4,22 \cdot 10^5$

Místo 4 také není nejhodnější pro aplikaci daného výpočtu. Lze jej však provést, neboť $\mathcal{V} \neq 0$. Výsledky v místě styku 1 a 4 je třeba brát s rezervou, protože vlivem uvažovaného zjednodušení stykových poměrů dochází ke značnému zkreslení získaných výsledků. Jak je zřejmé z tab. 5.1, největší kontaktní deformace nastává mezi kolíkem a upínacím šroubem.

5.3 Výpočet průhybu čepu

Na obr. 5 - 3 je vidět zjednodušený tvar upínacího čepu. Pod ním je zakreslen průběh ohybového momentu od sil F_{us} a R_K a jeho redukované složky vztězené k průměru d_1 . Výsledný průhyb v místě B je dán vztahem (5.23).

$$w_N = w_1 + \mathcal{V}_C^1 \cdot d \quad (5.23)$$

Pro další výpočet musíme stanovit hodnoty příslušných momentů.

$$M_1 = F_{us} \cdot \frac{d}{c} \cdot b_1 = 997,7 \cdot \frac{10,6}{7,15} \cdot 6,65 \cdot 10^{-3} = 9,84 \text{ Nm} \quad (5.24)$$

$$M_1 \text{ red} = M_1 \cdot \frac{d_1^4}{d_2^4} = 9,84 \cdot \left(\frac{3,8 \cdot 10^{-3}}{5,9 \cdot 10^{-3}} \right)^4 = 6,33 \text{ Nm} \quad (5.25)$$

$$M_2 = F_{us} \cdot d = 997,7 \cdot 10,6 \cdot 10^{-3} = 10,57 \text{ Nm} \quad (5.26)$$

$$M_2 \text{ red} = M_2 \cdot \frac{d_1^4}{d_2^4} = 10,57 \cdot \left(\frac{3,8 \cdot 10^{-3}}{5,9 \cdot 10^{-3}} \right)^4 = 6,80 \text{ Nm} \quad (5.27)$$

$$M_3 = F_{us} \cdot b_3 = 997,7 \cdot 10,1 \cdot 10^{-3} = 10,07 \text{ Nm} \quad (5.28)$$

$$M_3 \text{ red} = M_3 \cdot \frac{d_1^4}{d_2^4} = 10,07 \cdot \left(\frac{3,8 \cdot 10^{-3}}{5,9 \cdot 10^{-3}} \right)^4 = 6,48 \text{ Nm} \quad (5.29)$$

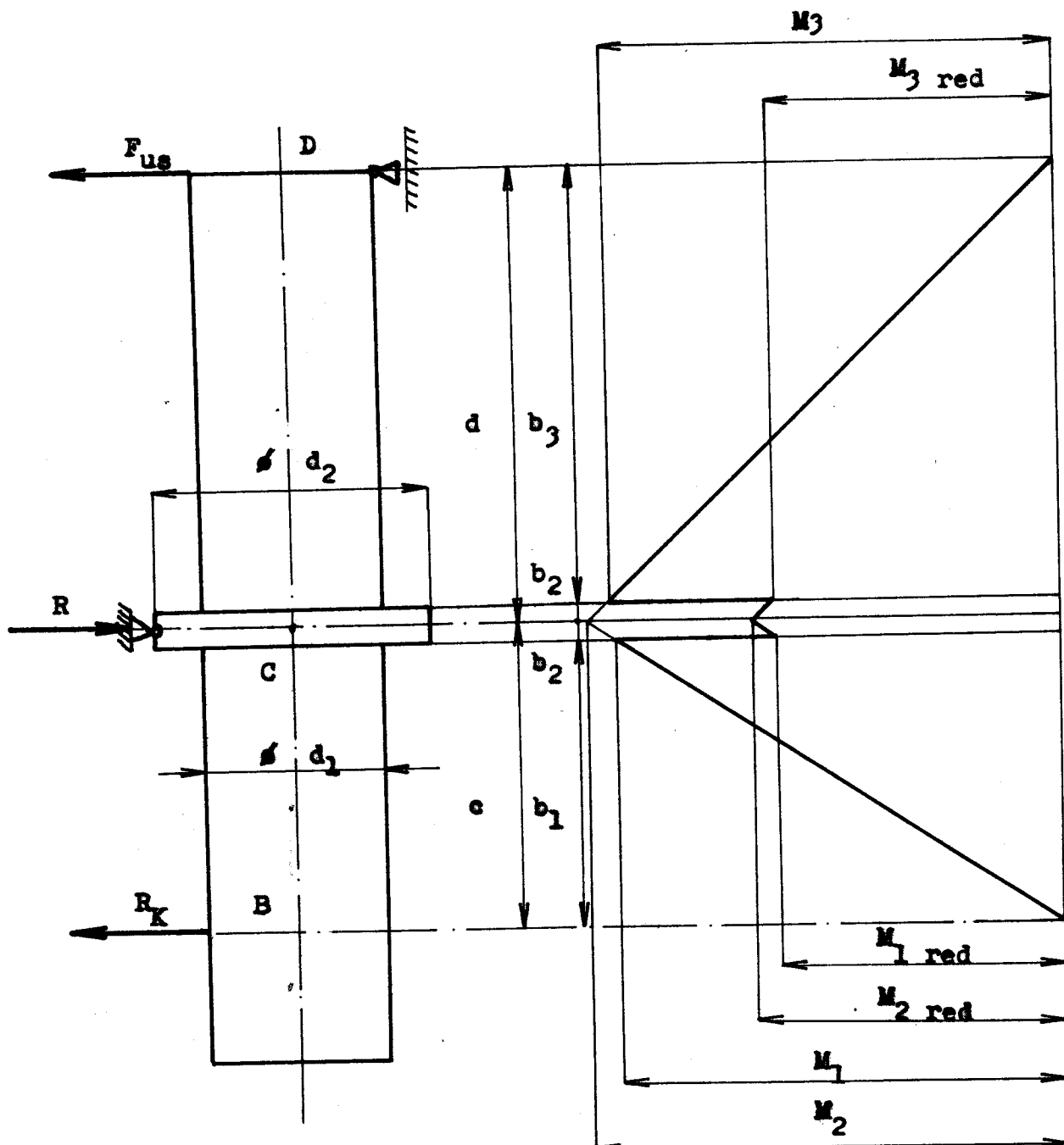
Výsledný průhyb w_N se tedy skládá z vlastního průhybu velmiho konče w_1 a z posunu daného posunem průhybové čáry čepu v místě C t.j. $\mathcal{V}_C^1 \cdot d$. Průhyb w_1 , je-li tuhost neznámu E , $I = E \cdot \frac{\pi \cdot d^4}{64}$, je dán rovnicí (5.30).

$$w_1 = \frac{1}{E \cdot I} \cdot \left[\frac{1}{2} M_1 b_1 \frac{2}{3} b_1 + M_1 \text{ red} b_2 \left(\frac{b_2}{2} + b_1 \right) + \frac{1}{2} (M_2 \text{ red} - M_1 \text{ red}) \cdot b_2 \cdot \left(\frac{2}{3} b_2 + b_1 \right) \right] \quad (5.30)$$

Po dosazení hodnot vyšel průhyb $w_1 = 0,224 \cdot 10^{-3}$. Sklon

$$\mathcal{V}_C^1 = -\frac{1}{E \cdot I} \cdot R_C, \text{ kde } R_C \text{ je fiktivní reakce sdruženého neznámu}$$

Zjednodušený tvar čepu pro
výpočet průhybu v místě B



$d_1 = 3,8 \text{ mm}$
 $d_2 = 5,9 \text{ mm}$
 $b_1 = 6,65 \text{ mm}$
 $b_2 = 0,5 \text{ mm}$
 $b_3 = 10,1 \text{ mm}$
 $c = 7,15 \text{ mm}$
 $d = 10,6 \text{ mm}$

zatíženého ohybovým momentem coby spojitým obtížením v části mezi podporami. Určíme ji z momentové podmínky k bodu D.

$$\bar{R}_c = \frac{1}{d} \cdot \left[M_3 \text{ red } b_2 \cdot \left(\frac{b_2}{2} + b_3 \right) + \frac{1}{2} \cdot (M_2 \text{ red } - M_3 \text{ red }) \cdot b_2 \cdot \left(\frac{2}{3} b_2 + b_3 \right) + \right. \\ \left. + \frac{1}{3} M_3 b_3 \frac{2}{3} b_3 \right] \quad (5.31)$$

Sklen tečny k ohybové čáře v bodě C je

$$V_c = \frac{\bar{R}_c}{E \cdot I} = \frac{64 \cdot 0,0352}{\pi \cdot 2,1 \cdot 10^4 \cdot 0,0038^4} = 1,63 \cdot 10^{-2} \quad (5.32)$$

Výsledný průhyb v místě styku s kolíkem vypočteme z (5.33).

$$w_N = w_1 + V_c \cdot d = 0,224 \cdot 10^{-3} + 1,63 \cdot 10^{-2} \cdot 10,6 \cdot 10^{-3} = \\ = 3,96 \cdot 10^{-4} \text{ m} \quad (5.33)$$

Z výpočtu je zřejmé, že čep se v místě B ohýbá téměř o 0,4 mm při působení utahovacího momentu 3 Nm v mazaném upínacím mechanismu. Jestliže srovnáme celkový průhyb čepu s velikostmi kontaktních ^{deformací}, jsou tyto až 10x menší. Z toho tedy vyplývá, že při statickém řešení nemůžeme kontaktní deformace vzhledem k provoznímu průhybu čepu zanedbat. Pretež však ulehla výpočtu kontaktních deformací je nelineární, nemohli bychom použít principu superpozice. a celý problém by se musel řešit komplexně.

5.4 Zjednodušení pevnostního výpočtu upínacího mechanismu

Na základě provedené pevnostní kontrole upínacího mechanismu bylo zjištěno, že mazaný mechanismus pracuje spolehlivě do hodnoty jmenovitého utahovacího momentu na šroubu $M = 3 \text{ Nm}$, odmaštěný mechanismus do 5 Nm. Vyšší utahovací momenty vyvolávají na čepu ohybová napětí, která svou velikostí překračuje mez pevnosti materiálu. Je zajímavé, že při praktickém ověření deformace čepu i po překročení meze pevnosti materiálu nedešle

k jeho zlomení, ale pouze k chybě v kritickém průřezu I. Kritický průřez I je z hlediska pevnosti rozhodně nejchoulostivějším místem na upínacím čepu. Pro jmenovitý uťahovací moment zde vzniká chybové napětí o hodnotě 1281 MPa. Výpočtem bylo ověřeno, že při uťažení jmenovitým momentem dojde na stykových místech upínacích elementů ke značné deformaci. Největší se projeví na styku kalíku a šroubu, pak také na styku kalíku a čepu. viz. tab. 5-1. Při kontrole na chyb čepu se zjistilo, že dojde k jeho průhybu v bodě B až o 0,4 mm. viz. obr. 5-3. Jak je tedy vidět, tak tato hodnota je srovnatelná s velikostí stykových deformací. Kontrola na otlačení ukázala, že ani jedno místo styku nevyhovuje hodnotám uvedených tlaků. Díky takto zkreslených výsledků budou zřejmě v aplikaci správné výpočetní metody, která by poстihla skutečné poměry ve stykovém místě.

5.5 Návrh úpravy upínacího čepu

Závěry z dosud prebraných kap. 3.1, 4., a 5. mne vedly k tomu, abych se zabýval možností zvýšení pevnosti čepu a zjištěním jeho správných upínacích schopností, jde především o zajištění čepu proti posuvu vzhůru, tj. ve směru osy z. V původním provedení zabraňuje posuvu čepu ve směru kolmém na lůžko BD třecí síla od normálné reakce způsobené kolíkem. Není-li v lůžku břitová destička, čep je jištěn důtým nýtem, který současně arretuje podložnou destičku. Často se stává, že se čep při obrábění vlivem chvění pascuvá směrem vzhůru a vytlačuje nýt z otveru, tím dochází k uvolnění podložné destičky a poruší se stabilita BD. Proto je potřeba zajistit čep proti posuvu během doby provozu. Byla provedena vhodná úprava, jak je zřejmé z výkresu 3-KOM-OM-002/01 v příloze. Ve spodní části čepu je vysostruženo kuželové osazení přecházející v radius R5. Tato úprava způsobí, že kulová část kolíku při upnutí kontaktuje čep na kuželové ploše a i v radiusem prohloubení. Normálné reakce od kolíku se v těchto dvou místech rozkládají do příslušných směrů tak, že při výkyvu je čep tlačen šikmo dolů, čímž je zajištěn proti pohybu ve směru osy z. Pro zvýšení pevnostních vlastností čepu bylo navrženo zesílení průřezů v kritických místech 1 a 2 viz kap. 5.1. Zesílení z původních $\varnothing 3,8$ na $\varnothing 4,6$ mm má za následek snížení hodnot kritických ohybových napětí. V průřezu 1 vzniká pro upravený čep ohybové napětí $\sigma_{01} = 856 \text{ MPa}$ při utahovacím momentu 3 Nm. V porovnání se σ_{01} v kap. 5.1 se ohybové napětí podstatně sníží a z toho vyplývá, že čep může přenášet v mazaném mechanismu i síly vyvozené utahovacím momentem vyšším jak 3 Nm. Tedy při upínání můžeme vyvinout podstatně větší upínací síly než u pů-

vodního čepu, a to aniž by došlo k jeho deformaci. Zesílení kritických průřezů čepu však nesmí mít za následek omezení výkyvu při upínání. Pro navrhovaný čep, je-li v sedle nože podložná destička i s nýtem, má posuv bodu H (viz kap. 3.1.1) při vychýlení z mezní do upínací polohy hodnotu $y_1 = 0,29 \text{ mm}$. Te vše za předpokladu, že se kolík detýká čepu na $\varnothing 4^+ 0,2 \text{ mm}$ a jde-li o malé vychýlení.

Bude-li tento čep používán pro daný systém upínání, měl by pracovat v upínacím mechanismu s bezpečností proti chybu vyjádřenou koeficientem bezpečnosti $k = 1,83$, na rozdíl od čepu původního, který pracuje s bezpečností $k = 1,22$. Vlivem zvýšené bezpečnosti upraveného čepu se zvýší i mechanismem vyvoditelné upínací síly a zajistí se tak stabilita břitové destičky v širším rozsahu řezných podmínek.

6. Pracovní rozsah nožů

Pracovním rozsahem nože se rozumí v širším významu oblast řezných podmínek, ve kterých na základě různých kriterií bude nástrej pracovat spolehlivě a s určitou bezpečností.

Při stanovení pracovního rozsahu na zkoumaných kopírovacích nežích jsme během obráběcího procesu za předem volených řezných podmínek sledovali chování nože, tj. zda nedochází k nadměrnému chvění, v některých případech jsme kontrolovali naklopení BD ve směru kolmém na lůžko nože, prověřili jsme, zda nedochází k chybu čepu při upínání, pro jednotlivé vytypované řezné podmínky jsme sledovali oblast utváření třísky, třísky jsme odebírali a sestavili z nich přehled, kterým jsme dekladovali daný nůž. Zkoušky jsme prováděli na soustruhu SU 50/1500, jehož charakteristika je uvedena v kap. 3.2.1 a též na soustruhu SU 32 s příkonem 7 kW, stupňovitou změnou otáček. Hladiny vyložení obou nožů ve všech případech byly L = 36 mm.

6.1 Stanovení pracovního rozsahu na materiálu 12 050.1

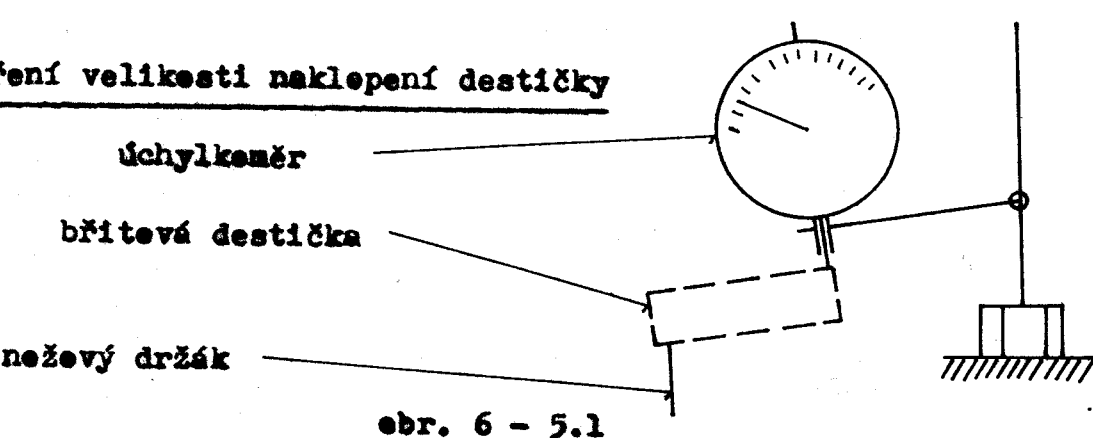
Oba nože jsme podrobili zkouškám za předem volených řezných podmínek, které udává obr. 6-1 a 6-2. Nože jsme osazovali břitovou destičkou Pramet S-20/CN, pro níž byla vytypována oblast správného utváření třísky a zaznamenána do t-s diagramu na obr. 6-3 a 6-4. Pracovali jsme na soustruhu SU 50 se stupňovitou změnou otáček.

Zkušební obrobek: etalonový materiál 12 050.1 s chemickým složením podle ČSN 41 2050 o rozměrech 123,7 x 900 mm byl upnut do skličidla, před započetím měření byl obrobek zbaven kůry

a ze strany koníku byla sražena hrana pro plynulé najetí nože do záběru.

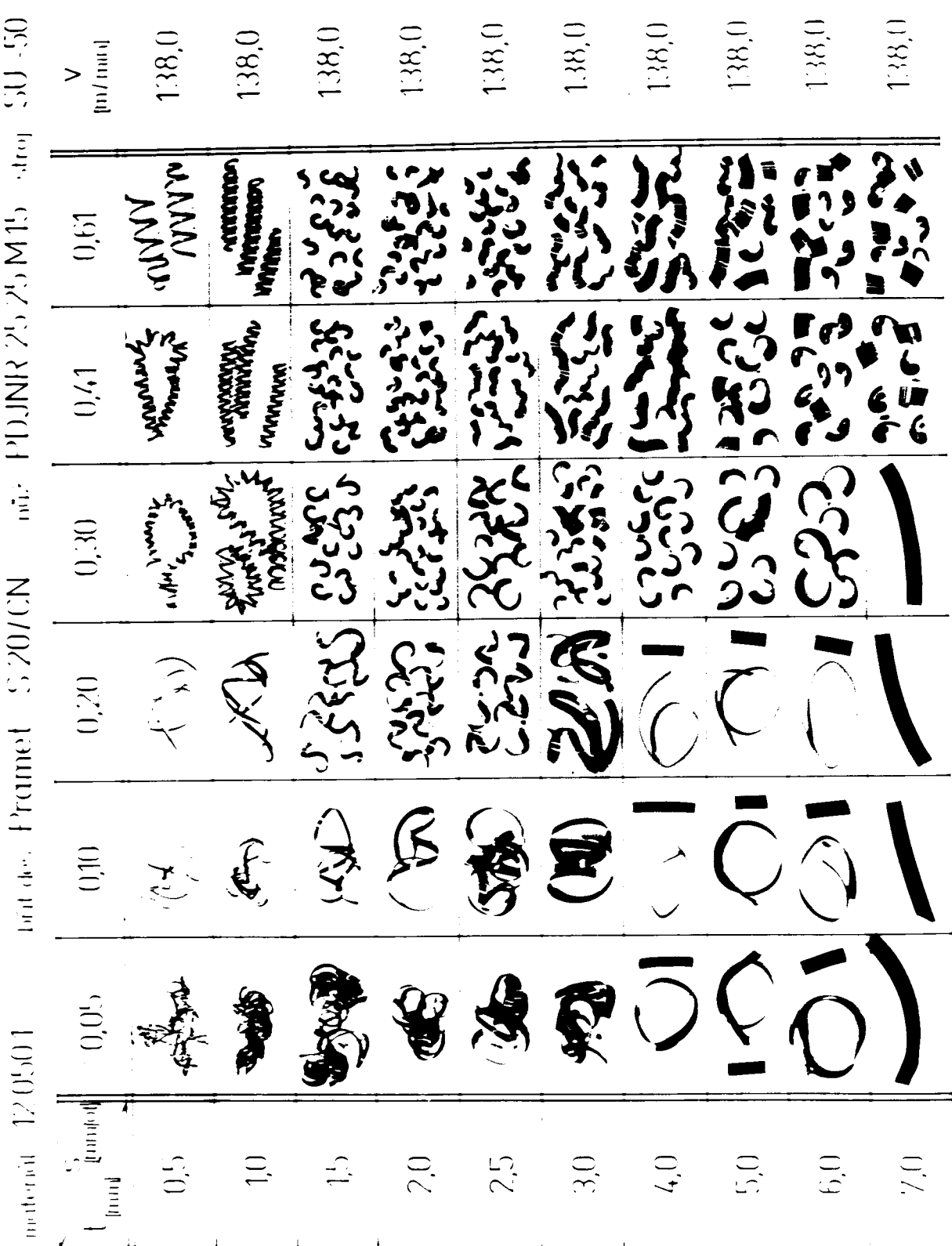
Pro navržené řezné podmínky byl nůž uveden do záběru a po ustálení řezného procesu měřena výše uvedená kriteria. viz kap. 6. Při ověřování předpokládaného pohybu destičky jsme používali setinového úchylkoměru uchyceného v magnetickém stojánu, který byl upnut na noževou hlavu. viz obr. 6-5.1.

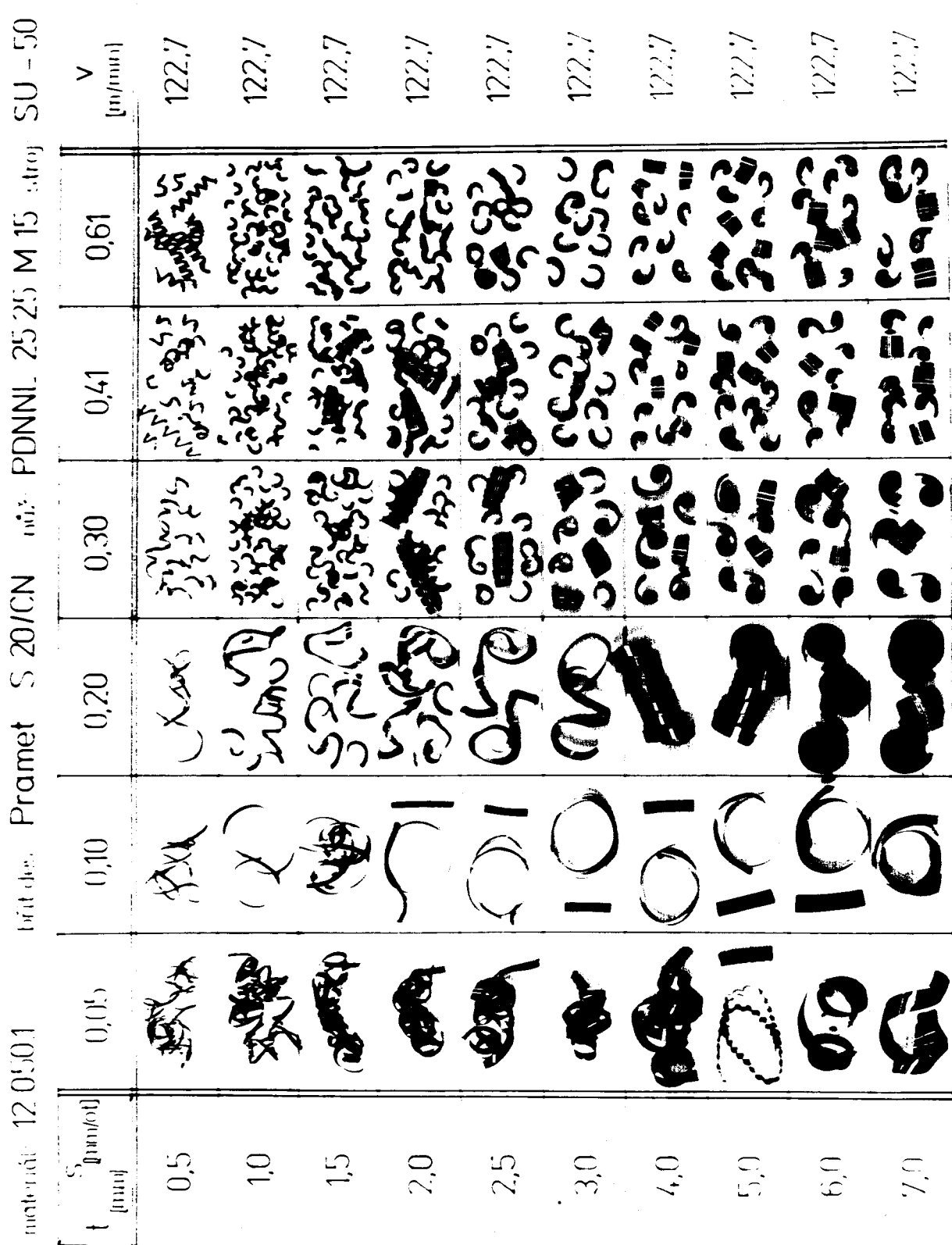
Měření velikosti naklopení destičky



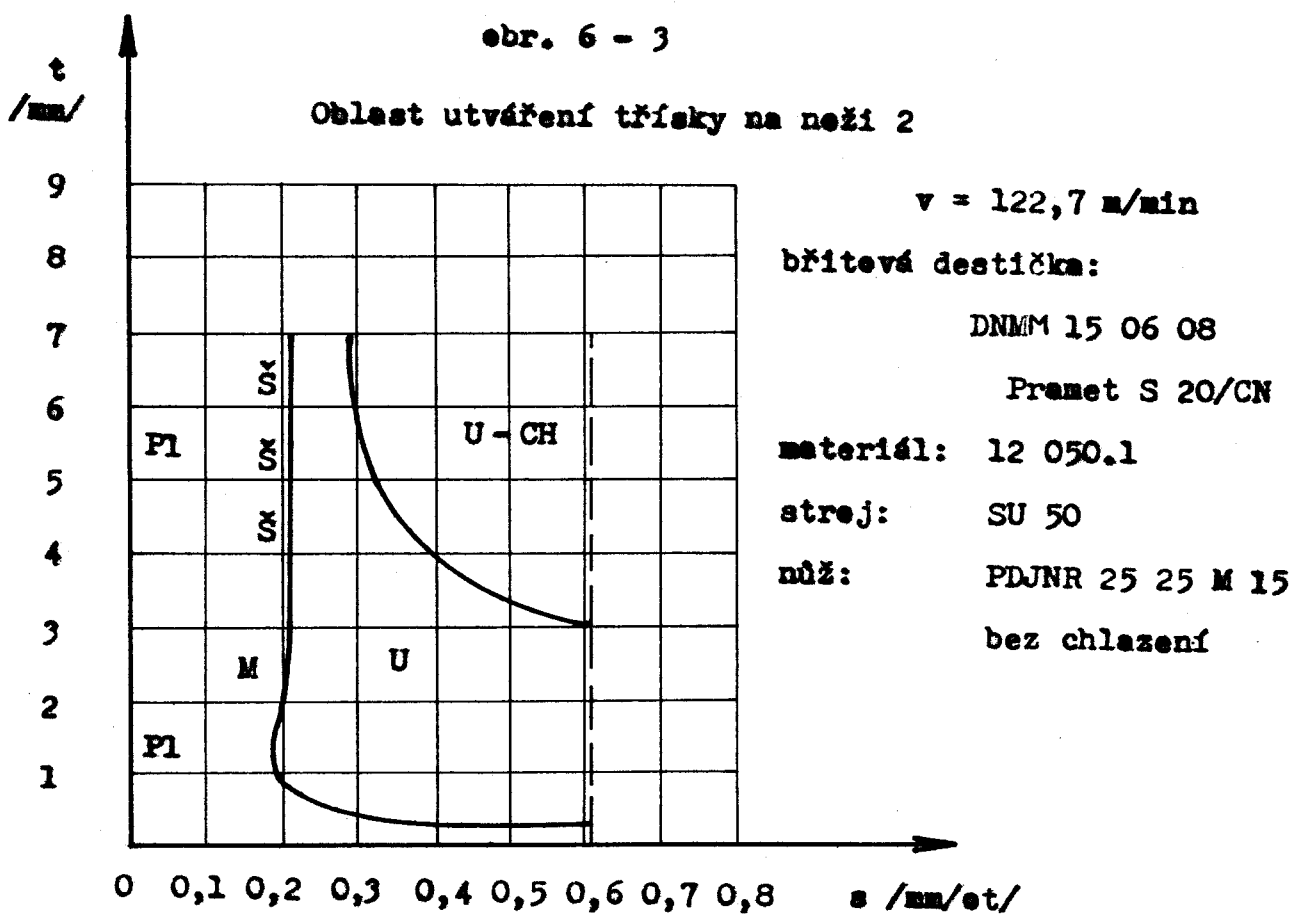
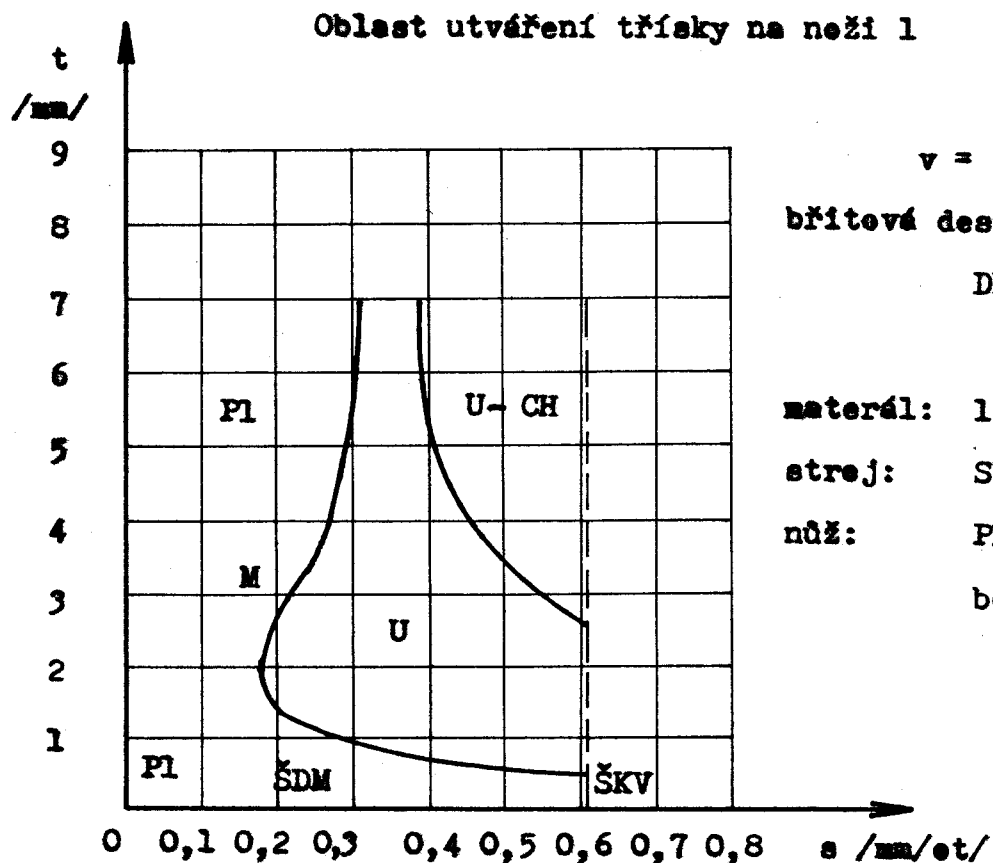
ebr. 6 - 5.1

Vždy po 20 naměřených hodnotách jsme ověřovali, zda nedošlo vlivem utažení šroubu k chybě výkyvného čepu. Celý upínací mechanismus byl mazán strojním olejem. Při měření se též sledovalo, či nedochází k nadměrnému chvění nástrojů, stroje a obrobku. Nůž 1 pracoval bez nadměrného chvění při uvedené řezné rychlosti do $t = 7 \text{ mm}$ a $s = 0,30 \text{ mm/et}$. a do $t = 2 \text{ mm}$ a $s = 0,61 \text{ mm/et}$. K největšímu naklopení s hodnotu cca $0,04 \text{ mm}$ docházel při posuvu $s = 0,30 - 0,61 \text{ mm/et}$ a hloubce třísky $t = 1 \text{ mm}$. Protože však při záběru se nástroj chvěl, mohla tato hodnota představovat chybu měření. Při kontrole mechanismu nebyla zjištěna žádná závada. Nůž 2 pracoval se širší oblastí utváření třísky při osazení stejnou břítevou destičkou jako nůž 1, ale také s větší oblastí chvění pesunuté k nižším hodnotám posuvů. Při kontrole naklápění BD u tétoho nože docházel k odšouvání dotyku úchylkoměru změřeného místa vlivem plynule odcházející třísky a vlivem značného chvění. Protože změřené hodnoty by nebyly objektivní,





obr. 6 - 2



ebr. 6 - 4

bylo od tohoto způsobu měření pro nůž 2 upuštěno. Přehled třísek odebíraných při jednotlivých podmínkách obrábění pro nba lze udává obr. 6-1 a 6-2.

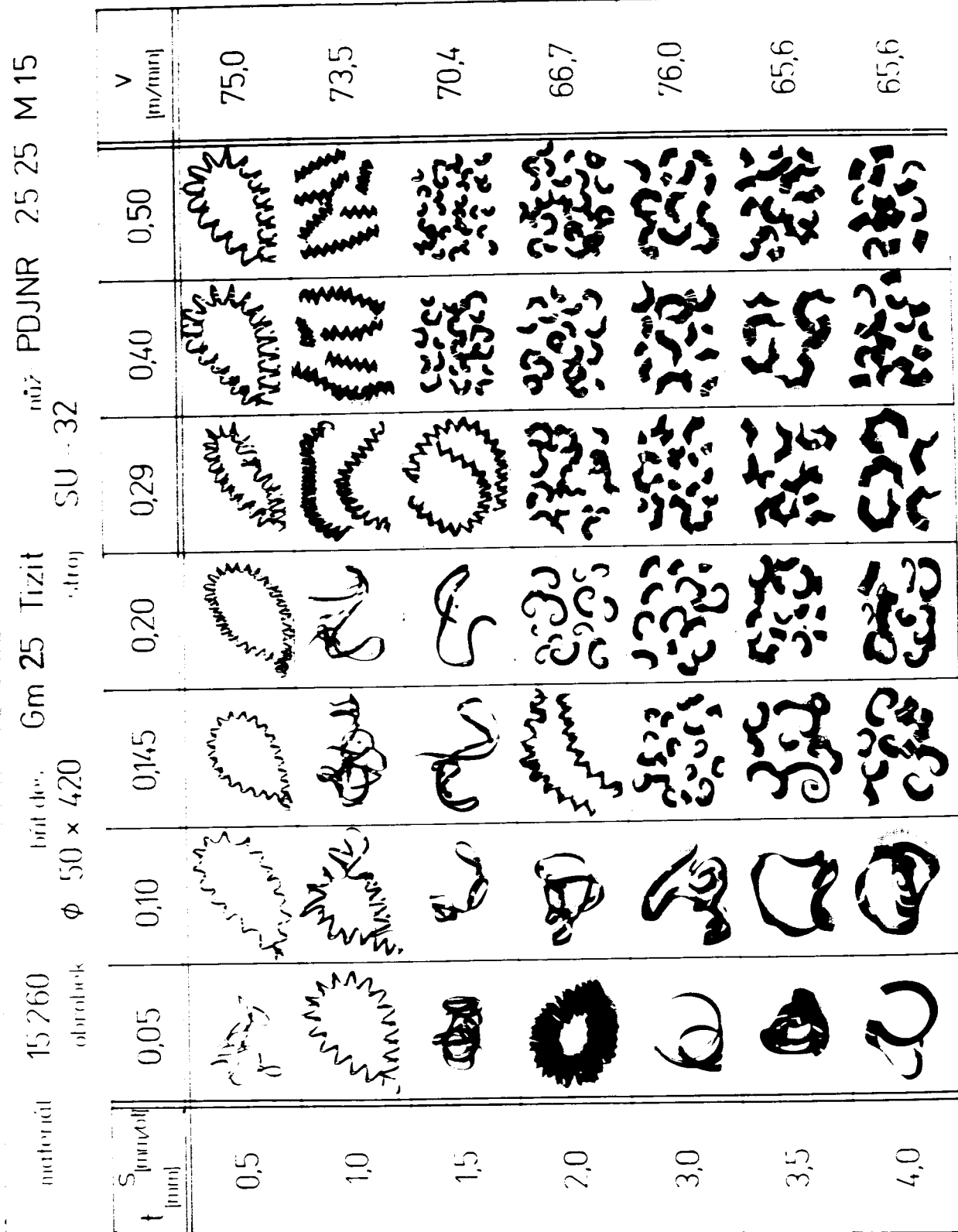
6.2 Utváření třísky na materiálu 15 260

V tomto případě byly zkoušky prováděny na stroji SU 32 se stupňovitou změnou otáček. Zkušební obrobek o rozměrech 50×420 mm byl upnut do skličidla a zbaven kůry, ze strany koniku byla sražena hrana; složení materiálu 15 260 je podle ČSN 41 5260. Používali jsme pouze nůž PDJNR-25 25 M 15, který jsme osazovali dvěma břitovými destičkami, a to Pramet S 20/CN a Gm-25 Tizit. Protože se zkoušky neprováděly za konstantní řezné rychlosti, nemohli jsme stanovit přesnou oblast utváření třísky břitové destičky. Proto jsme alespoň třísky při příslušných řezných podmínkách odebírali a sestavili z nich vzorník, viz obr. 6-5 a 6-6. Řeznou rychlosť jsme volili v rozmezí $60 - 80$ m/min, na základě možného otáčkového rozsahu stroje. Vždy pro jednu houbku t a všechny uvažované posuvy se odebíraly třísky při stejné řezné rychlosti u obou typů BD. Takže alespoň k určitým závěrům můžeme dojít. Z obr. 6-5 a 6-6 je vidět, že destička Gm 25 Tizit pro houbku $t = 2$ mm a větší, utvářela třísku i při posuvech $s = 0,145$ mm/ot, což svědčí o velmi dobré konstrukci utvářeče. Můžeme tedy předpokládat, že destička Tizit na rozdíl od destičky Pramet bude mít daleko širší oblast utváření třísky pro tento druh materiálu. Houbku t a posuv s jsme volili podle výkonu stroje a protože se jednalo o dlouhý obrobek malého průměru, volili jsme podmínky i z hlediska tuhosti obrobku. Rozsah zkoušek byl pak navržen pro $t = 4$ mm a $s = 0,5$ mm/ot.

material: 15 260 břit dle: Pramet S 20/CN nůž: PDJNR 2525 M 15
 obrobek: ϕ 50 x 420 stroj: SU - 32

t [mm]	S [mm ² /min]	0,05	0,10	0,145	0,20	0,29	0,40	0,50	v [m/min]
0,5									75,0
1,0									73,5
1,5									70,4
2,0									66,7
3,0									76,0
3,5									65,6
4,0									65,6

obr. 6 - 6



obr. 6 - 5

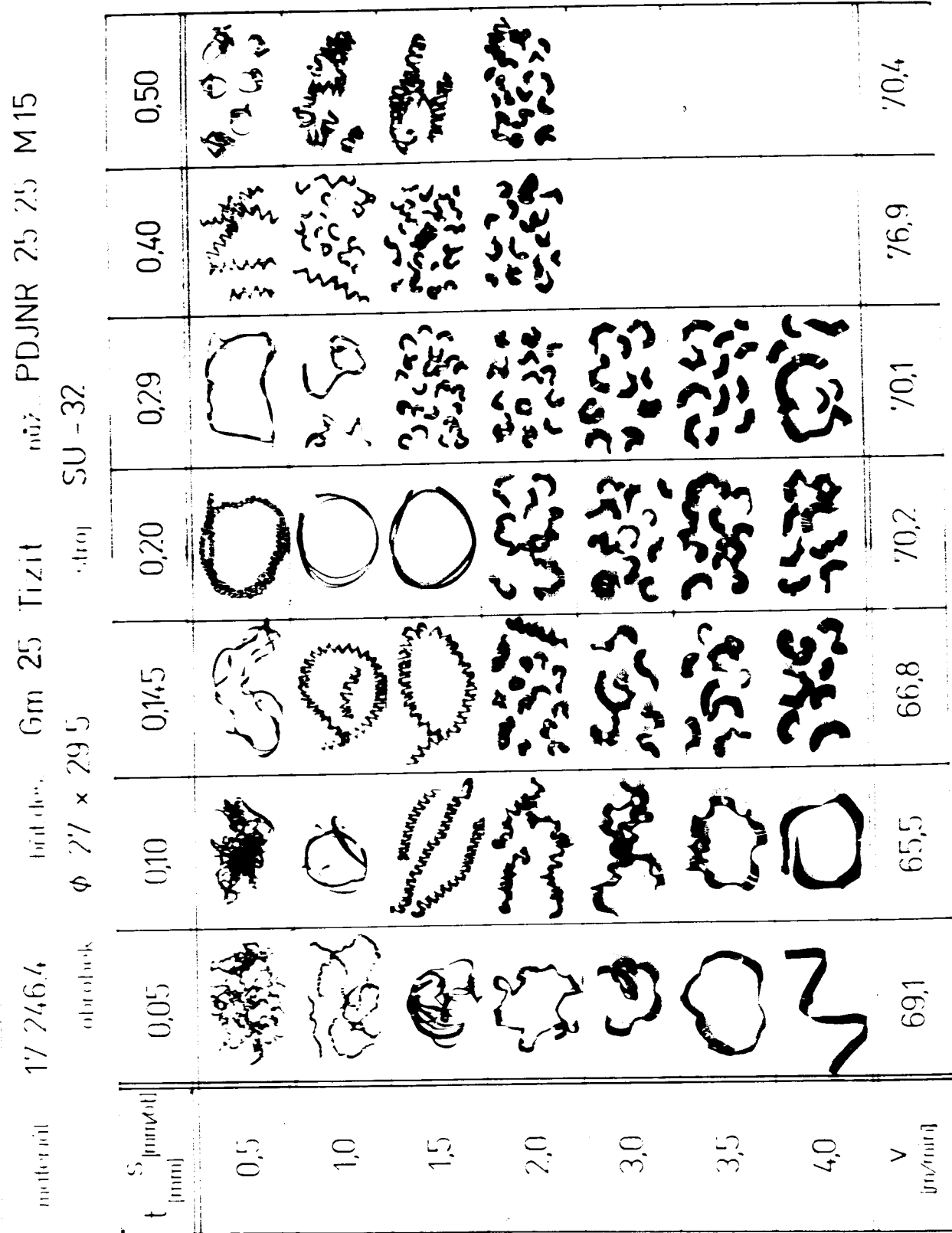
Nůž při rychlostech pod 70 m/min pracoval od hloubek $t = 2$ mm a posuvech větších jak $s = 0,29$ m/ot za značného chvění. Mohlo to být však způsobeno nízkou tuhostí obrobku a vysokým výkonovým omezením stroje. Měřili jsme i naklopení břitové destičky v lúžku nože, ale ze získaných výsledků nelze učinit věrohodné závěry, protože za značného chvění nástroje nebylo možné objektivně odečítat hodnoty naklopení na úchylkoměru. Proto jsme od téhoto měření nakonec upustili.

6.3 Oblast utváření třísky na materiálu 17 246,4

Opět jsme pro tento druh materiálu používali již uvedené druhy břitových destiček, jimiž jsme osazovali nůž PDJNR 25 25 M 15. Pracovali jsme na soustruhu SU 32, jehož charakteristika je v předchozích kapitolách. Obrobek, materiál 17 246,4, s rozměrami $\varnothing 27 \times 295$ mm byl prostrčen vřetenem soustruhu a upnut do čelistí skličidla. Protože se jednalo o malý průměr obrobku, nebylo možné velkou otáčkou daných strojem zajistit stálou řeznou rychlosť. Proto se u destičky Pramet při jedné řezné rychlosti odebírala tříška za měnících se hloubek t a konstantním posuvu. U destičky Gm 25 Tizit se odebírala tříška při konstantní řezné rychlosti ve směru posuvu pro stálou hloubku t , viz tab. 6.7 a 6.8. V tomto případě docházelo u BD Gm 25 Tizit k tverbě silného nárůstku, který způsoboval její brzké spotřebení a to i při nízkých rychlostech 60 - 80 m/min. Příčina zřejmě bude v šířce utvařeče, protože u destičky Pramet S 20/CN nedocházelo k tak časté výměně jako u destičky Tizit, neboť tam je utvařeč daleko širší. Při intenzivnímu vzniku nárůstku na BD Tizit byla edcházející tříška značně pěchována, a to hlavně u hloubek $t = 2 - 3$ mm a malých posuvech $s = 0,10 - 0,145$.

motor id: 17 246,4 břit dle: Pramet S 20/CN S_{min} : PDJNR 25 25 M 15
 otočnice: $\phi 27 \times 295$ SU - 32

S_{min} [mm]	0,05	0,10	0,145	0,20	0,29	0,40	0,50	V [m/min]
0,5								67,4
1,0								64,8
1,5								60,4
2,0								68,9
3,0								63,4
3,5								66,4
4,0								66,4



obr. 6 - 8

mm/ot. Pro hloubky t větší jak 3 mm a posuvy větší jak 0,30 mm/ot nebylo možné třísku odbrat, protože obrobek byl vlivem vysokých řezných sil zasouvan do vřetena seustruhu, a to i při maximálním dotažení skličidla. Při tomto měření jsme se zabývali pouze odběrem třísky, poněvadž sledování ostatních vlivů působících na řezný proces, které jsme zjišťovali v předchozích kapitolách, by nemělo z hlediska uvedených podmínek obrábění objektivní význam. Na základě uvedených skutečností můžeme konstatovat, že materiál 17 246.4 je nevhodný pro obrábění, jelikož je značně houževnatý. Z obr. 6-7 a 6-8 vyplývá, že při vyšších posuvech $e > 0,20$ mm/ot a hloubkách $t > 2$ mm dochází poměrně dobře k utváření třísky při rychlostech nad 70 m/min. Pro obrábění tohoto materiálu je pak rozhodně vhodnější použití destiček se širším utvářecem třísky.

7. Stanovení trvanlivosti břitových destiček

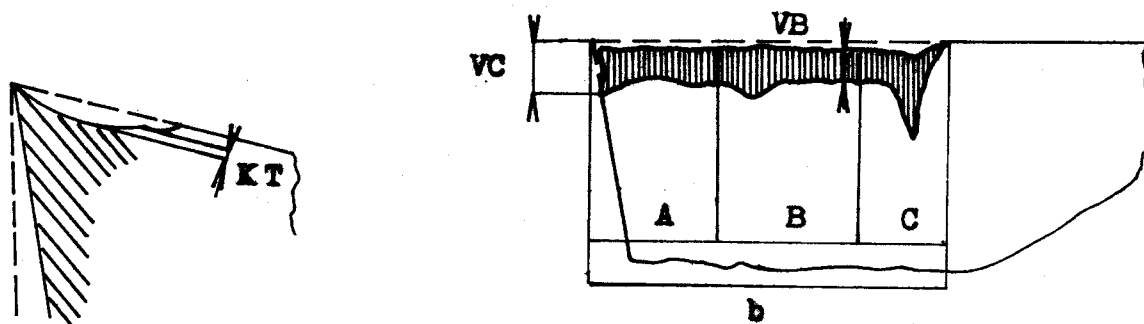
Trvanlivost břitu nástroje je doba řezání, za kterou se dosáhne kriteria trvanlivosti, což je předem zvolená mezní míra opotřebení. V našem případě jsme jako mezní míru opotřebení volili opotřebení na hřbetě $VB_{kr} = 0,3$ mm. Prováděli jsme dleuhodobé zkoušky pro 5 různých řezných rychlostí, u každé břitové destičky. Jako řezného materiálu jsme používali destičky s předloženým utvářecem třísky DNMM 15 06 08- Pramet S 20, Pramet S 20/CN a Gm 25 Tizit. Pro zlepšení řezivosti je destička Pramet S 20/CN povlakována karbonitridem, destička Gm 25 je pokryta TiN. Destička Pramet S 20 je bez povlaku. Cílem téhoto úkolu tedy bylo prověřit trvanlivost uvedených BD tuzemské a zahraniční výroby a porovnat jejich řezné vlastnosti, které ze zkoušek vyplývají.

Vlastní měření jsme prováděli na etalonovém materiálu, ocel 12 050.1. Velikost peletovaru bez kůry byla $\varnothing 200 \times 980$ mm. Ze strany koníku jsme srazili hranu pro plynulé najetí nože do záběru. Pracovali jsme na soustruhu SU 50 se stupňovitou změnou otáček. Zkoušky byly zakončeny na průměru 85 mm. K měření jsme dále potřebovali dílencký mikroskop BK 70x50 KARL ZEISS, Jena. Přesnost edečítání na tomto mikroskopu je 0,005 mm. Destičky jsme upínali do zvláštního přípravku, který zajišťoval vždy stejnou polohu při novém měření každé následující destičky. Pro účely měření je opotřebení na hřbetě rozděleno do tří oblastí:

- A - zakřivená část břitu u špičky
- B - přímá část opotřebení břitu, ve které se provádí měření; měří se střední hodnota opotřebení
- C - čtvrtina oblasti opotřebení nejdále od špičky

Při měření VB i KT nás zajímá především oblast B, kde také vlast-

ní měření provádíme.



– opotřebená destička s předlisevaným utvařečem trásky

obr. 7 - 1

U destiček s předlisevaným utvařečem jsme měřili opotřebení na hřbetě VB a hloubku výmolu KT ode dna utvařeče. viz obr. 7-1. Hloubka výmolu byla zjištěna pomocí tisícinového úchylkeměru, celkem po každém záběru 3x a již zprůměrovaný výsledek jsme zapisovali do tabulky. Čas byl měřen digitálními stopkami DS 35 Pragotren. Protože jsme pracovali na soustruhu se stupňovitou změnou otáček, použili jsme k vyhodnocení naměřených hodnot Brachmanovy metody podle /14/. Podstatou této metody spočívá v korekci času každého záběru podélného seustružení na hodnotu, která odpovídá střední rychlosti v_{si} při dané zkoušce. Pro podmínky zkoušky velíme hodnotu exponentu m a uvádíme korekci na střední pravděpodobnou hodnotu exponentu m_s . Při tom vzniká určitá chyba, ale podle údajů autora této metody zaznamenané chyby nepřekračují hodnoty nepřípustné pro praxi. Hodnotu střední rychlosti v_{si} určíme podle vztahu

$$v_{si} = k \cdot v_{max} \quad (7.1)$$

kde exponent k závisí na poměru skutečných minimálních a maxi-

málních hodnot řezných rychlostí a na materiálu nástroje a je tabulkově v /12/ zpracován. Poté určíme korigovaný čas T_{ki} každého záběru odpovídající střední rychlosti.

$$T_{ki} = T_i \cdot k_{Ti} \quad (7.2)$$

kde k_{Ti} je opravný koeficient na čas záběru, při čemž

$$k_{Ti} = k_{vi}^{ms} \quad (7.3)$$

$$k_{vi} = \frac{v_i}{v_s} \quad (7.4)$$

Volené hodnoty exponentu m_s pro destičky

Pramet S 20 $m_s = 3,5$

Pramet S 20/CN $m_s = 5,5$

Gm 25 Tizit $m_s = 4,5$

Korigované časy T_{ki} jsou zaznamenány v tabulkách 7.1 - 7.15 společně se skutečnými naměřenými časy T_i v minutách a s naměřenými hodnotami opotřebení. Abychom získali objektivnější výsledky, provedli jsme měření pro 5 různých řezných rychlostí $v_{s1} \div v_{s5}$, kde $v_{s1} < v_{s2} < v_{s3} < v_{s4} < v_{s5}$. Postupovali jsme tak, aby závislost VB, KT na čase byla při jedné řezné rychlosti tvořena minimálně 5 body. Poslední naměřené opotřebení by mělo vždy přesáhnout hodnotu stanoveného kriteriálního opotřebení. U všech destiček jsme volili shodně kriteriální opotřebení $VB_{kr} = 0,3 \text{ mm}$, $KT_{kr} = 0,14 \text{ mm}$ pro řezné podmínky $t = 2,5 \text{ mm}$ a $s = 0,25 \text{ mm}/\text{ct}$, tedy v oblasti utváření třísky. Řezné podmínky a jím odpovídající kriteria opotřebení jsou dány normou. Sledovali jsme změny KT a VB a podle tehoto, která hodnota dosáhla dříve mezního opotřebení, byla stanovena jako hodnota kriteriální.

Tabulky závislosti spotřebení na čase : Pramet S 20

tab. 7.11

$v_{sl} = 168,0 \text{ m/min}$						
$h = 2,5 \text{ mm}$			$s = 0,25 \text{ mm/et}$			
T	T_{ki}	$\delta D / \text{mm/}$	VB / mm/	VC / mm/	KT / mm/	v / m/min/
1	1,07	153,8	0,11	0,195	0,04	171,5
2	1,07	153,8	0,15	0,25	0,065	171,5
4	2,15	153,8	0,185	0,27	0,07	171,5
6	2,15	153,8	0,205	0,27	0,08	171,5
7,5	1,61	153,8	0,22	0,29	0,08	171,5
9	1,43	148,8	0,24	0,29	0,085	165,9
12	2,87	148,8	0,28	0,31	0,105	165,9
14	1,91	148,8	0,29	0,31	0,12	165,9
16	1,91	148,8	0,30	0,35	0,13	165,9

tab. 7.12

$v_{s2} = 199,2 \text{ m/min}$						
$h = 2,5 \text{ mm}$			$s = 0,25 \text{ mm/et}$			
T	T_{ki}	$\delta D / \text{mm/}$	VB / mm/	VC / mm/	KT / mm/	v / m/min/
0,5	0,53	143,8	0,155	0,26	0,035	203,3
1	0,53	143,8	0,17	0,26	0,035	203,3
1,5	0,53	143,8	0,18	0,27	0,04	203,3
2,5	1,07	143,8	0,20	0,275	0,065	203,3
3,5	1,07	143,8	0,215	0,325	0,075	203,3
6	2,68	143,8	0,28	0,335	0,115	203,3
7	0,95	138,8	0,285	0,345	0,125	196,2
9	1,89	138,8	0,295	0,37	0,13	196,2
10	0,95	138,8	0,305	0,39	0,135	196,2

tab. 7.13

$v_{s3} = 217,7 \text{ m/min}$						
$h = 2,5 \text{ mm}$				$s = 0,25 \text{ mm/et}$		
T	T_{ki}	$sD / \text{mm/}$	VB / mm/	VC / mm/	KT / mm/	$v/\text{m/min/}$
1,0	1,11	158,8	0,185	0,19	0,075	224,5
1,5	0,55	158,8	0,20	0,265	0,085	224,5
2	0,55	158,8	0,21	0,31	0,10	224,5
2,5	0,83	158,8	0,25	0,34	0,11	224,5
4	1,24	153,8	0,275	0,37	0,125	217,4
4,75	0,66	148,8	0,295	0,41	0,135	210,3
6	1,10	148,8	0,31	0,43	0,14	210,3

tab. 7.14

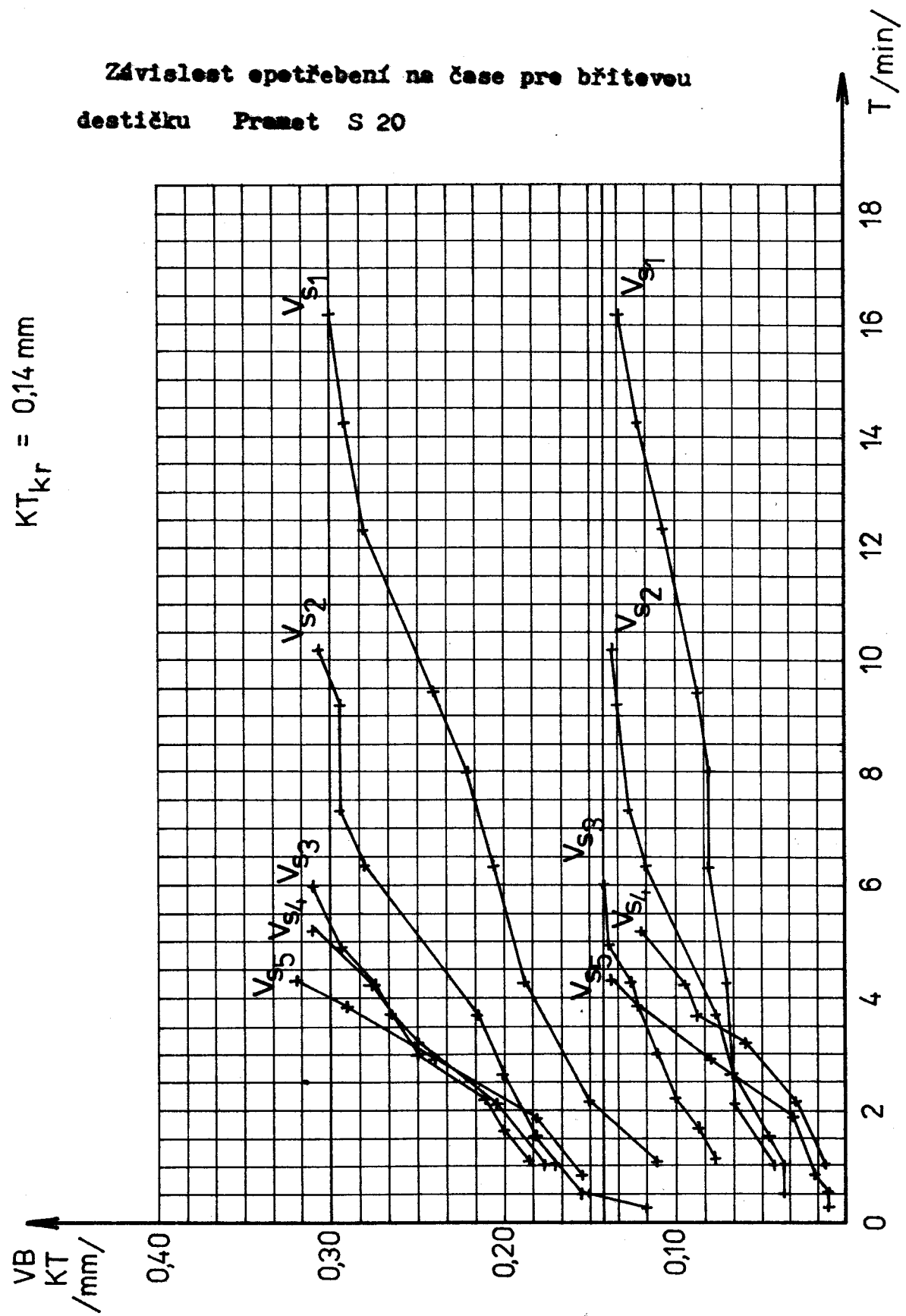
$v_{s4} = 229,8 \text{ m/min}$						
$h = 2,5 \text{ mm}$				$s = 0,25 \text{ mm/et}$		
T	T_{ki}	$sD / \text{mm/}$	VB / mm/	VC / mm/	KT / mm/	$v/\text{m/min/}$
1	1,07	133,3	0,175	0,19	0,01	234,5
2	1,07	133,3	0,205	0,25	0,03	234,5
3	1,07	133,3	0,25	0,335	0,06	234,5
3,5	0,53	133,3	0,265	0,345	0,085	234,5
4	0,53	133,3	0,275	0,385	0,095	234,5
5	0,94	128,3	0,31	0,435	0,125	225,7

tab. 7.15

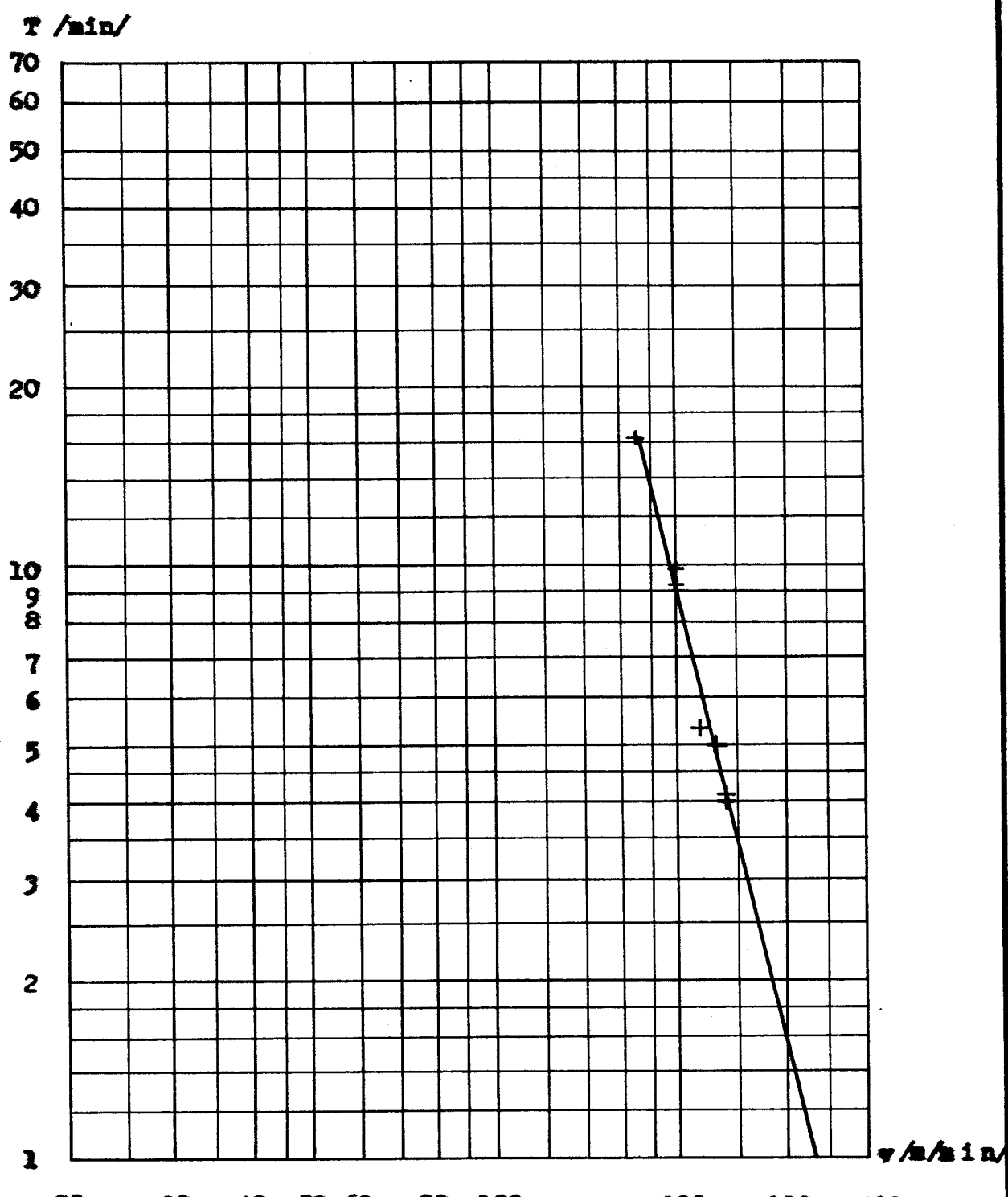
$v_{s5} = 239,3 \text{ m/min}$						
$h = 2,5 \text{ mm}$				$s = 0,25 \text{ mm/et}$		
T	T_{ki}	$sD / \text{mm/}$	VB / mm/	VC / mm/	KT / mm/	$v/\text{m/min/}$
0,25	0,27	138,8	0,115	0,16	0,01	244,2
0,5	0,27	138,8	0,15	0,20	0,01	244,2
0,75	0,27	138,8	0,155	0,21	0,02	244,2
1,5	1,07	138,8	0,18	0,235	0,03	244,2
2,5	1,07	138,8	0,24	0,25	0,08	244,2
3,5	0,93	133,3	0,29	0,39	0,12	234,5
5	0,46	133,3	0,32	0,41	0,135	234,5

Závislost spotřebení na čase pro břitovou
destičku Prajet S 20

$$\begin{aligned}VB_{kr} &= 0,30 \text{ mm} \\KT_{kr} &= 0,14 \text{ mm}\end{aligned}$$



obr. 7 - 2

T - v závislost pro břítevou destičku Pramet S 20

$$n = 3,9672 \quad \log c_v = 2,5343 \quad S = 0,8921 \quad v_{15} = 173 \text{ m/min}$$

$$c_v = 342,2$$

Tabulky pre destičku : Gm 25 Tizit
tab. 7.6 tab. 7.8

$v_{s1} = 175,8 \text{ m/min}$						
$h = 2,5 \text{ mm}$			$s = 0,25 \text{ mm/et}$			
T	T_{k1}	$\delta D/\text{mm}$	VB/mm	KT/mm	v m/min	
4,5	5,38	165,9	0,17	-	185,0	
7	2,69	160,9	0,18	-	179,5	
10	3,22	160,9	0,19	-	179,5	
15	5,38	160,9	0,20	-	179,5	
25	9,62	155,9	0,22	0,01	173,9	
35	8,58	150,9	0,26	-	168,3	
45	7,62	145,9	0,29	-	162,7	
48	2,29	145,9	0,30	-	162,7	

tab. 7.7

$v_{s2} = 209,9 \text{ m/min}$						
$h = 2,5 \text{ mm}$			$s = 0,25 \text{ mm/et}$			
T	T_{k1}	$\delta D/\text{mm}$	VB/mm	KT/mm	v m/min	
1	1,15	196,1	0,07	-	218,7	
2	1,15	196,1	0,14	-	218,7	
3	1,15	196,1	0,15	0,02	218,7	
4	1,15	196,1	0,17	-	218,7	
5	0,96	186,2	0,17	-	207,7	
6	0,96	186,2	0,17	-	207,7	
8	1,92	186,2	0,19	0,04	207,7	
10	1,92	186,2	0,20	-	207,7	
12	1,92	186,2	0,21	-	207,7	
14	1,92	186,2	0,24	-	207,7	
16	1,75	181,2	0,26	0,09	202,0	
17	0,87	181,2	0,35	-	202,0	

$v_{s3} = 252,4 \text{ m/min}$						
$h = 2,5 \text{ mm}$			$s = 0,25 \text{ mm/et}$			
T	T_{k1}	$\delta D/\text{mm}$	VB/mm	KT/mm	v m/min	
1,5	1,67	147,9	0,16	0	260,2	
3	1,48	142,9	0,17	-	251,4	
8	4,93	142,9	0,25	0,01	251,4	
9	0,87	137,9	0,26	-	242,6	
11	1,74	137,9	0,32	-	242,6	

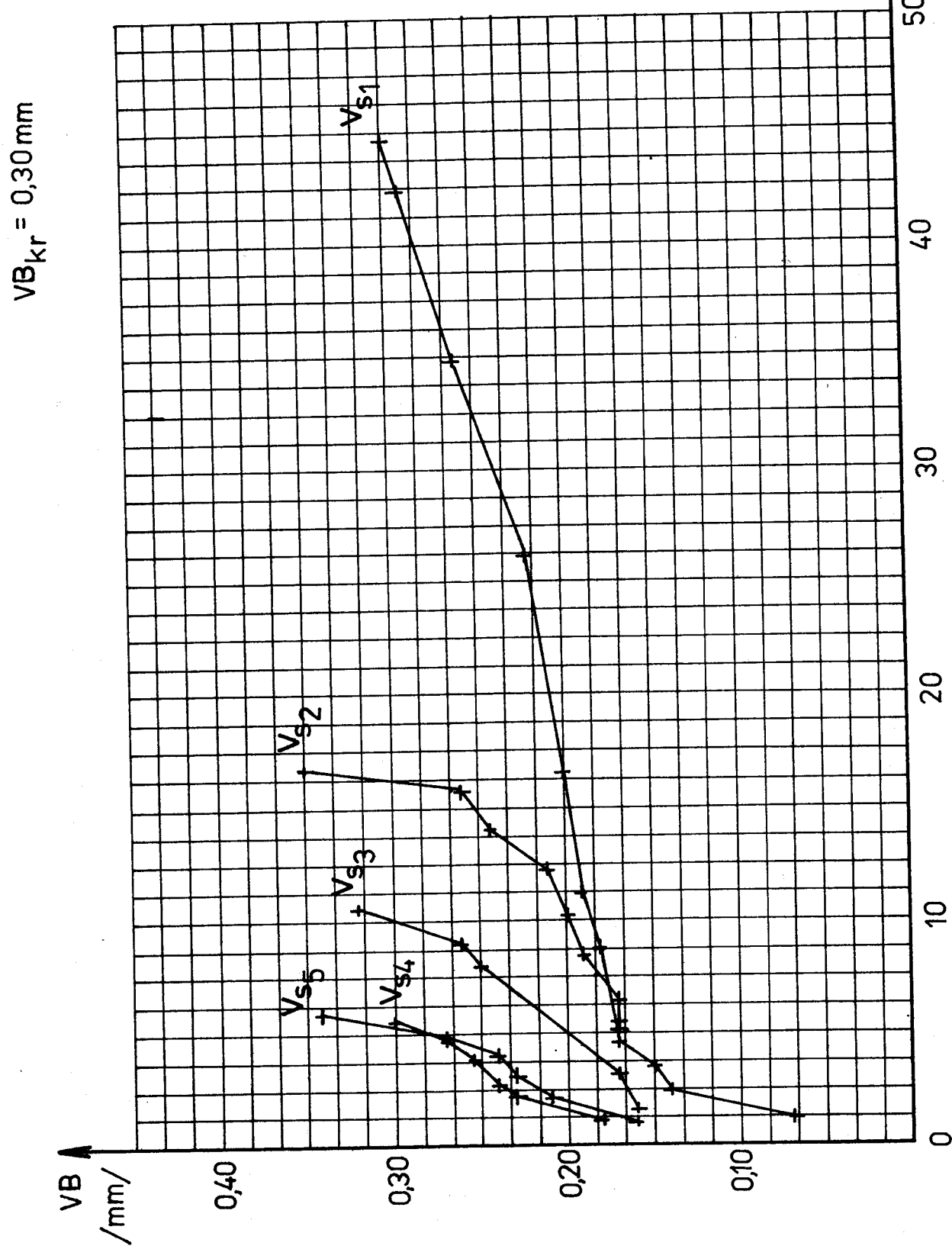
tab. 7.9

$v_{s4} = 287,5 \text{ m/min}$						
$h = 2,5 \text{ mm}$			$s = 0,25 \text{ mm/et}$			
T	T_{k1}	$\delta D/\text{mm}$	VB/mm	KT/mm	v m/min	
1	1,11	132,9	0,18	-	296,4	
2	1,11	132,9	0,23	-	296,4	
2,5	0,43	123,9	0,24	-	276,4	
4	1,30	123,9	0,255	-	276,4	
5	0,87	123,9	0,27	-	276,4	
6	0,87	123,9	0,30	-	276,4	

tab. 7.10

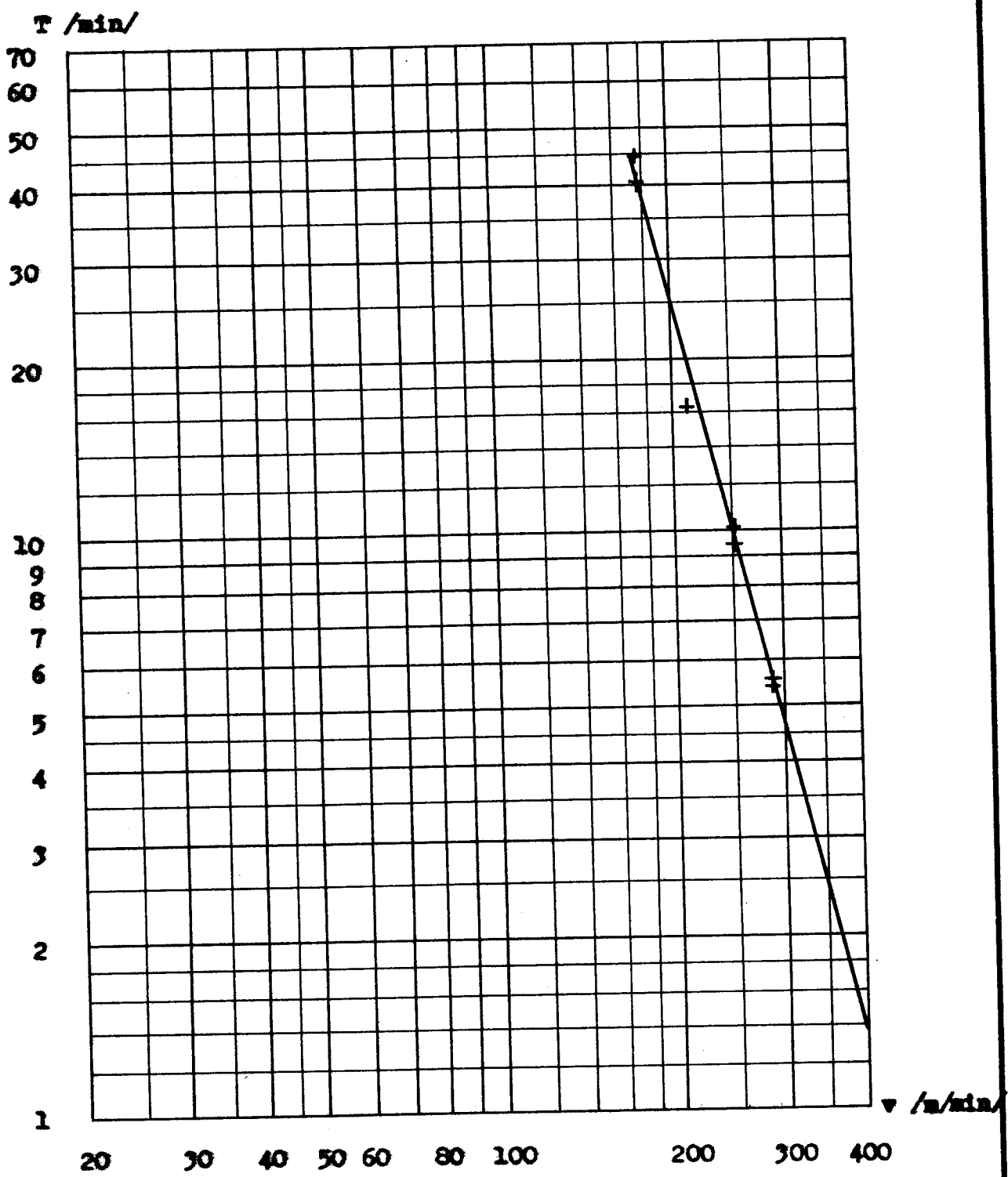
$v_{s5} = 288,4 \text{ m/min}$						
$h = 2,5 \text{ mm}$			$s = 0,25 \text{ mm/et}$			
T	T_{k1}	$\delta D/\text{mm}$	VB/mm	KT/mm	v m/min	
1	1,03	206,1	0,16	-	291,3	
2	1,03	206,1	0,21	-	291,3	
3	0,95	201,1	0,23	-	284,3	
4	0,95	201,1	0,24	-	284,3	
5	0,95	201,1	0,27	-	284,3	
6	0,95	201,1	0,34	-	284,3	

Závislost spotřebení na čase pro
břitovou destičku Gm 25 Tizit



obr. 7 - 6

$T = v$ závislost pro břítevou destičku Gm 25 Tizit



$$n = 4,0405 \quad \log c_v = 2,6425 \quad S = 3,269 \quad v_{15} = 224 \text{ m/min}$$

$$c_v = 439,0$$

Tabulky závislostí spotřebení na čase : Pramet S 20/CN

tab. 7.1

$v_{sl} = 171 \text{ m/min}$						
$h = 2,5 \text{ mm}$			$s = 0,25 \text{ mm/et}$			
T	T_{ki}	$\delta D / \text{mm/}$	VB / mm/	VC / mm/	KT / mm/v/m/min	
1	1,44	104,0	0,05	0,12	-	182,9
2	1,44	104,0	0,09	0,145	-	182,9
3	1,44	104,0	0,10	0,145	-	182,9
5	2,89	104,0	0,10	0,265	-	182,9
6	1,10	99,5	0,11	0,275	-	174,2
8	2,21	99,5	0,125	0,29	-	174,2
10	2,21	99,5	0,125	0,32	-	174,2
12	1,71	94,5	0,125	0,34	-	166,2
15,5	2,99	94,5	0,13	0,375	-	166,2
19	2,21	89,5	0,13	0,38	-	157,4
21,25	1,42	89,5	0,13	0,41	-	157,4
25	1,73	84,5	0,145	0,42	-	148,7
36	5,14	84,5	0,17	0,44	-	148,7
38	1,8	84,5	0,19	0,48	-	148,7

tab. 7.2

$v_{s2} = 226,4 \text{ m/min}$						
$h = 2,5 \text{ mm}$			$s = 0,25 \text{ mm/et}$			
T	T_{ki}	$\delta D / \text{mm/}$	VB / mm/	VC / mm/	KT / mm/	v / m/min
1	1,06	161,8	0,06	0,085	-	228,7
1,5	0,53	161,8	0,06	0,09	-	228,7
2	0,53	161,8	0,075	0,19	-	228,7
3	1,06	161,8	0,085	0,225	-	228,7
4,5	1,58	161,8	0,11	0,245	-	228,7
6	1,58	161,8	0,11	0,27	0,02	228,7
8	1,9	158,8	0,14	0,365	0,07	224,5
9	0,95	158,8	0,20	0,40	0,08	224,5
11	1,9	158,8	0,28	0,47	0,125	224,5

tab. 7.3

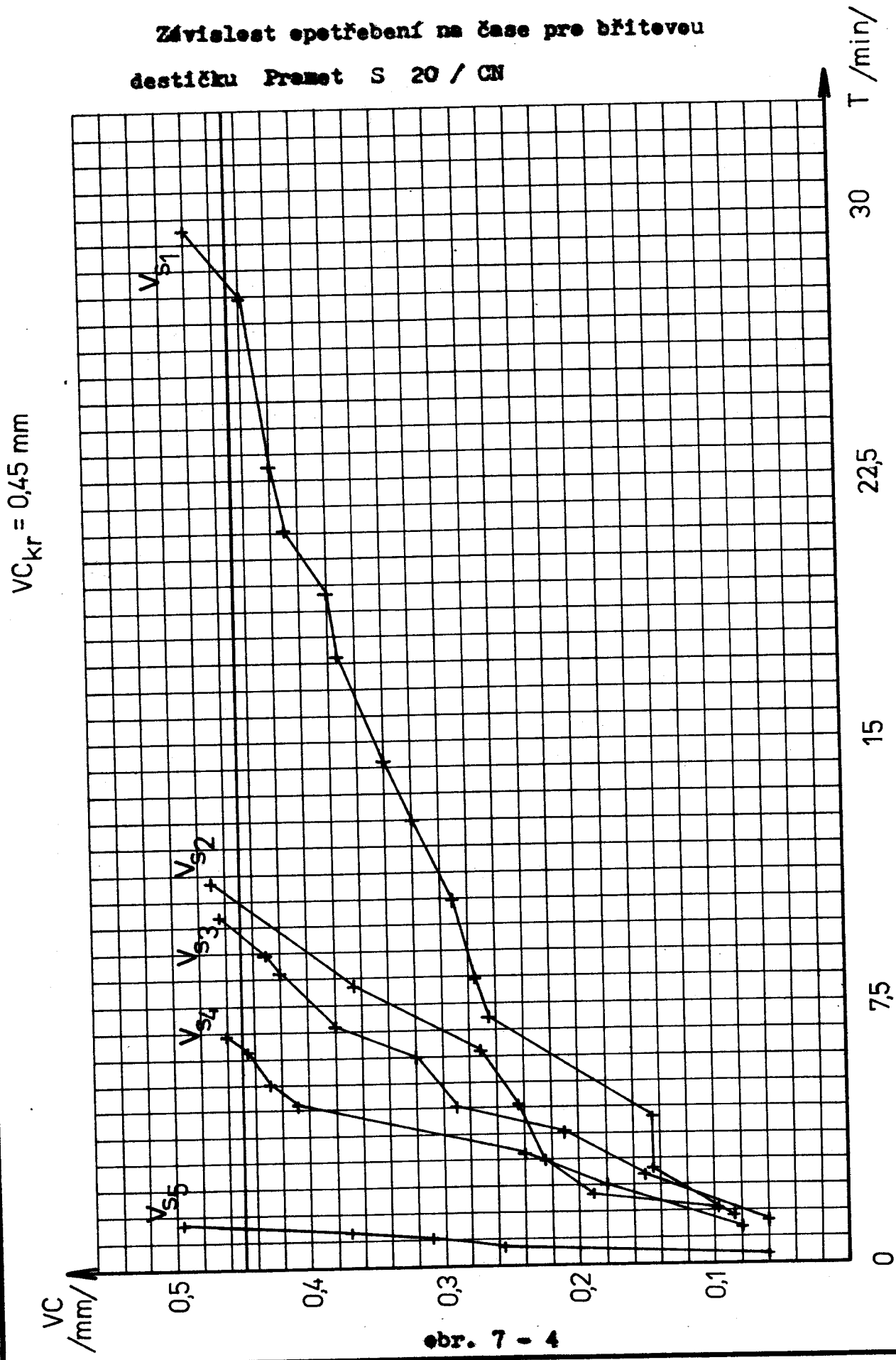
$v_{s3} = 232,1 \text{ m/min}$						
$h = 2,5 \text{ mm}$			$s = 0,25 \text{ mm/et}$			
T	T_{ki}	$\delta D / \text{mm/}$	VB / mm/	VC / mm/	KT / mm/	v / m/min
1	1,29	109,0	0,03	0,06	-	243,1
2	1,29	109,0	0,08	0,15	-	243,1
3	1,29	109,0	0,10	0,21	-	243,1
3,5	0,64	109,0	0,11	0,29	-	243,1
5	1,49	104,0	0,13	0,32	-	231,9
6	0,99	104,0	0,135	0,38	0,06	231,9
7,5	1,49	104,0	0,14	0,42	-	231,9
8	0,49	104,0	0,145	0,43	-	231,9
9,5	1,13	99,0	0,15	0,465	0,09	220,8

tab. 7.4

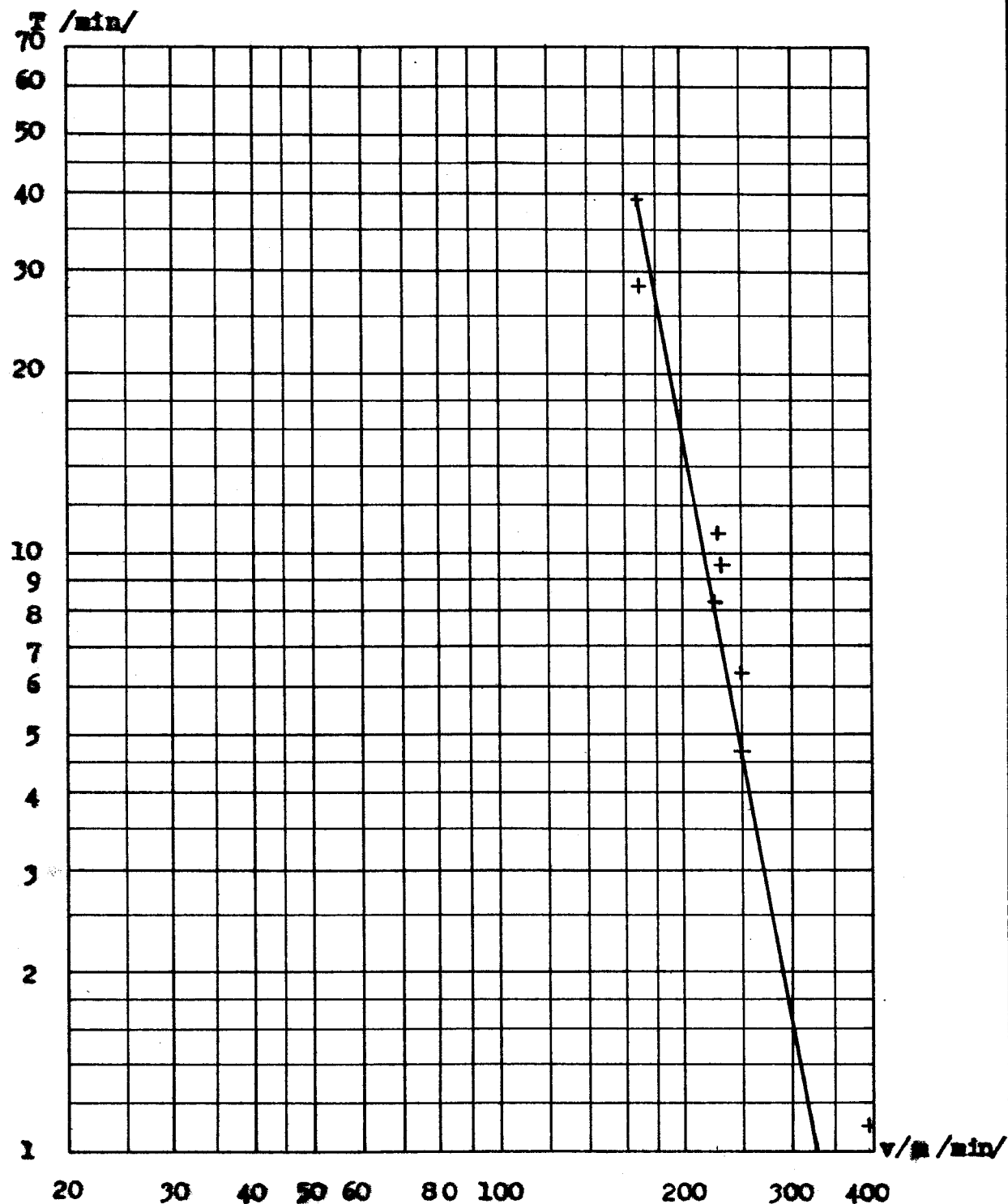
$v_{s4} = 250,4 \text{ m/min}$						
$h = 2,5 \text{ mm}$			$s = 0,25 \text{ mm/et}$			
T	T_{ki}	$\delta D / \text{mm/}$	VB / mm/	VC / mm/	KT / mm/	v / m/min
1	1,11	114,5	0,04	0,08	-	255,5
2	1,11	114,5	0,06	0,18	-	255,5
3	1,11	114,5	0,09	0,24	-	255,5
4,5	1,67	114,5	0,105	0,41	-	255,5
5	0,43	109,5	0,11	0,43	0,02	244,2
6	0,87	109,5	0,11	0,445	0,04	244,2
6,5	0,43	109,5	0,12	0,46	0,08	244,2

tab. 7.5

$v_{s5} = 296,9 \text{ m/min}$						
$h = 2,5 \text{ mm}$			$s = 0,25 \text{ mm/et}$			
T	T_{ki}	$\delta D / \text{mm/}$	VB / mm/	VC / mm/	KT / mm/	v / m/min
0,25	0,25	168,8	0,03	0,06	-	296,9
0,5	0,5	168,8	0,04	0,255	-	296,9
0,75	0,75	168,8	0,06	0,31	-	296,9
1	1,0	168,8	0,075	0,37	-	296,9
1,25	1,25	168,8	0,08	0,495	-	296,9



T - v závislost pro břízovou destičku Pomet S 20 / CN



$$n = 5,5867$$

$$\log c_v = 2,5188$$

$$S = 6,876$$

$$v_{15} = 203 \text{ m/min}$$

$$e_v = 330,2$$

ebr. 7 - 5

Pouze u destičky Pramet S 20/CN docházelo k enormnímu opotřebení VC na špičce BD, při čemž hodnoty VB a KT byly velmi malé viz tab. 7.1 - 7.5. Opotřebení na hřbetě u této destičky bylo značně nerovnoměrné a z tohoto důvodu byla stanovena jako hodnota kriteriální $VC_{kr} = 0,45 \text{ mm}$. Hodnotu VC jsme sledovali i u destičky nepovlakované Pramet S 20. Tam však bylo dosaženo nejdříve opotřebení na hřbetě. Tab. 7.1 - 7.15 charakterizují opotřebení pro dané řezné podmínky a z nich se pak vychází při sestrojování závislosti VB - t. viz obr. 7-2, 7-4, 7-6. Ze závislosti VB-t se odečte trvanlivost při příslušné řezné rychlosti. Tyto hodnoty jsou zpracovány do tab. 7.16

tab. 7.16 Hodnoty trvanlivosti odpovídající rychlostem v_{si}

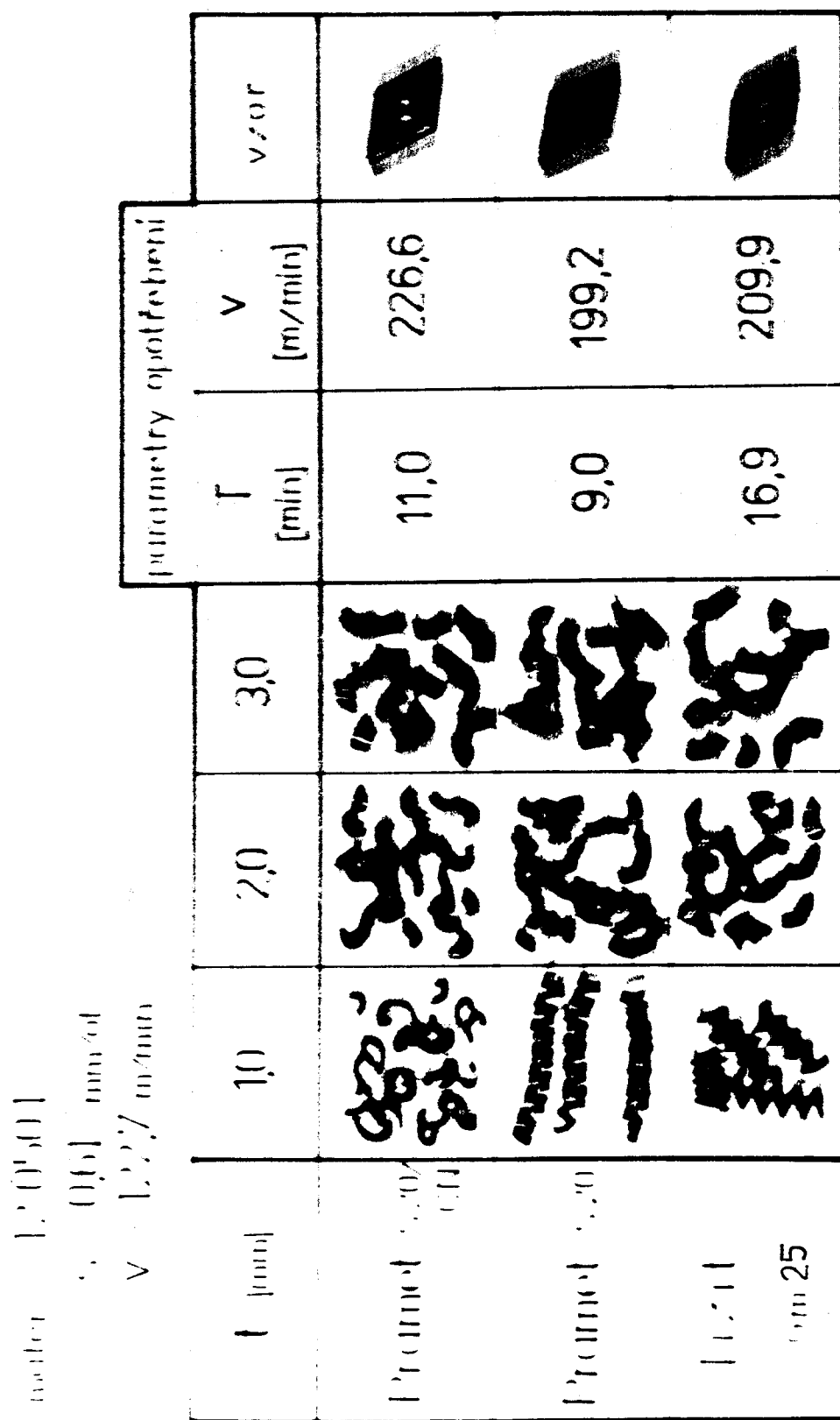
	/ min /				
	T_1	T_2	T_3	T_4	T_5
Pramet S 20/CN	28,20	10,45	9,6	6,35	1,10
Pramet S 20	16,17	9,80	5,39	5,00	4,05
Gm 25 Tizit	44,78	16,25	10,10	5,69	5,40

Hodnoty T_i vyneseeme společně s odpovídajícími rychlostmi v_{si} do logaritmické sítě a metodeou nejmenších čtverců preložíme zjištěnými body regresní přímky. Hodnota exponentu $m = \operatorname{tg} \alpha$ udává citlivost řezného materiálu na řeznourychlosť. Výpočet jednotlivých parametrů byl prováděn podle /18/. Výsledky výpočtu jsou uvedeny u příslušných grafů. viz obr. 7-3, 7-5, 7-7. Rychlosť v_{15} je rychlosť, při které je trvanlivost břitu nástroje 15 minut. Konstanta c_v je rovna řezné rychlosti při trvanlivosti 1 minutu a S je odhad směredatných odchylek, z kterého se dá určit pásme rozptylu ed regresní přímky v T-V diagramu.

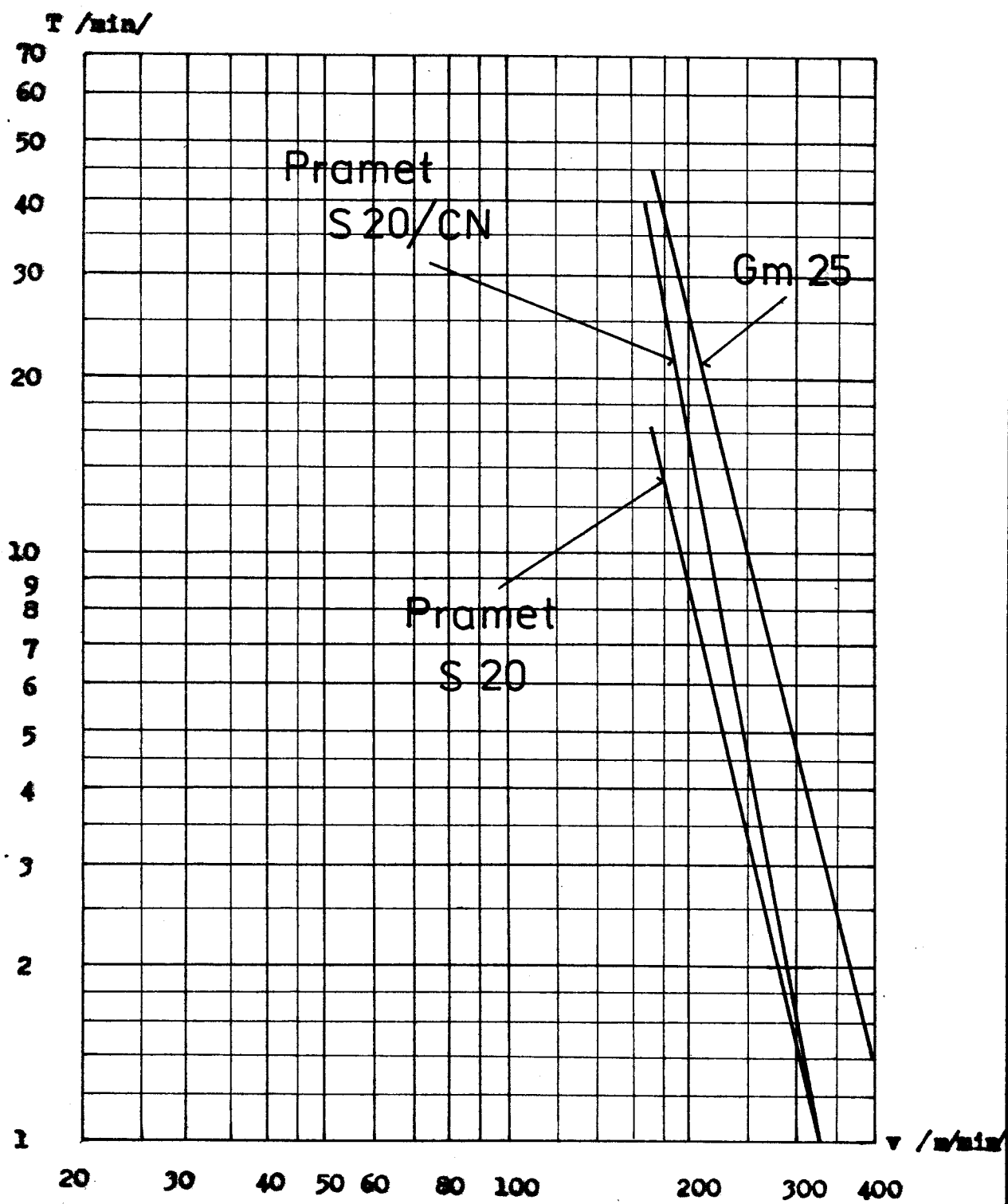
7.1 Převnání naměřených hodnot trvanlivosti

Na základě naměřených hodnot (tab. 7.1 - 7.15) můžeme konstatovat, že povrchově upravované řezné materiály mají své přednosti. Povlakované destičky vykazují vyšší odolnost proti otěru, proto se také tak často netvoří výmol na čele BD vlivem odcházející třísky. U destičky nepovlakované pramet S 20 docházelo k tvarbě výmolu velmi intenzivně a po dosažení jeho kritických hodnot byla tříška pěchována. Kvalita obroběného povrchu se tak značně zhoršila. Z povlakovacích destiček se jako nejodolnější proti otěru na čele jevila Gm 25 Tizit, kde hodnoty KT dosahovaly malých rozdílů. U destičky Pramet S 20/CN se nejintenzivněji tvořil výmol při rychlostech kolem 250 m/min ale nikdy nebyly překročeny jeho kriteriální hodnoty. viz tab. 7.1 - 7.5. Opatřebení na hřbetě u této destičky bylo značně ne- rovnoměrné, protože ostrí se vylamovalo, což způsobilo tvorbu nekvalitní plochy na obráběném materiálu. Kromě toho se také projevovalo enormní opatřebení na špičce VC a také se zhoršovala kvalita povrchu. Protože tehoto opatřebení bylo dosaženo dříve než VB_{kr} nebo KT_{kr}, byla hodnota VC_{kr} stanovena jako kriterium trvanlivosti. U destičky Gm 25 se hřbet upotřeboval rovnoměrně a na čele docházelo velmi zřídka k tvarbě výmolu, který svým dnem přesahoval úroveň dna utvačeče. Obě povrchově upravené BD se při překročení řezné rychlosti 290 m/min po jedné až dvou minutách soustružení spálily. Na obr. 7-9 jsou porovnány typy třísek vznikající vlivem různého opatřebení řezných materiálů. Třísky byly odebrány při $s = 0,61 \text{ mm/ot}$, $t = 1,2,3 \text{ mm}$ a řezných rychlostech $v = 122,7 \text{ m/min}$.

Máme-li hodnotit břitové destičky z hlediska jejich vhodnosti k použití pro danou řeznou rychlosť, je třeba konstatovat, že



Převnání řezivosti zkoušených břitových destiček z hlediska
trvanlivosti



BD Gm 25 by měla pracovat s trvanlivostí vyšší než druhé dvě, a to při řezných rychlostech nad 140 m/min. Naopak destička Pramet S 20/CN bude vhodnější z hlediska trvanlivosti pro rychlosti menší jak 140 m/min. Z obr. 7-8 je též vidět výhody povlaků na BD. Srovnáním trvanlivosti Pramet S 20/CN nebo Gm 25 s Pramet S 20 zjistíme, že při stejném rozsahu rychlostí je trvanlivost nepovlakovacích destiček menší. Se samotnou trvanlivostí břitových destiček také souvisí některé ekonomické aspekty jako např. neekonomičnost časté výměny BD, úspora skladových ploch apod. Nejvhodnější by bylo použití takových řezných materiálů, které by měly vysokou trvanlivost při velkých řezných rychlostech, čímž by se krátil strojní čas na obrábění a produkce by znatelně vzrostla. V tomto směru mají perspektivu řezné keramické materiály.

8. Závěr

Tato práce v sobě zahrnuje teoretický rozbor upínacího mechanismu. Prověřovaly se možnosti výkyvů upínacího čepu, byla stanovena potřebná délka kolíku a navržena úprava lůžka než pro zajištění správné polohy čepu vůči břitové destičce při upínání. Byl proveden výpočet mechanismem vyvoditelných upínacích sil a jejich velikosti se ověřovaly experimentálně. Dospěli jsme tak k závěru, že chyba mezi silami teoretickými a skutečnými je značná a je proto potřeba věnovat vyšší pozornost zjednodušujícím předpokladům. Posuzovali jsme stabilitu břitové destičky v lůžku nože pro jednotlivé varianty destýku při daných řezačích podmínkách a zjistili velikosti potřebných upínacích sil nutných pro zajištění stabilní polohy BD v lůžku. Můžeme konstatovat, že u nože 1 je stabilita proti pootečení v rovině rovnoběžné s lůžkem zajištěna jen částečně, proti naklippingu při platnosti zjednodušujících předpokladů je zajištěna dostatečně. Je však třeba dbát na dodržené hodnoty správné výdutosti lůžka a podložné destičky. U nože 2 stabilita proti pootečení zajištěna není ani při lehkých podmínkách obrábění. Na základě některých poznatků z praktické části této práce byl proveden pevnostní výpočet upínacího mechanismu a posouzeny jeho pracovní možnosti z hlediska přenášených sil. Výsledky a zhodnocení shrnuje příslušná kapitola. Je zde také proveden návrh úpravy upínacího čepu pro zvýšení bezpečné práce upínacího mechanismu. V praktické části se ověřovaly některé poznatky z teoretického rozboru a byly stanoveny pracovní rozsahy obou nožů vyjádřené v t-s diagramech oblastí správného utváření třísky.

Dále bylo zjištěno, že kopírovací nože osazované destičkami DNMM 15 06 08 - Gm 25, Pramet S 20 pracují spolehlivě ve vytypované oblasti utváření třísky na materiálech střední pevnosti. A v neposlední řadě se pøevnávaly břitové destičky tuzemské a zahraniční výroby z hlediska jejich trvanlivosti. Bylo zjištěno, že destičky zahraniční výroby ve srovnání s tuzemskými vykazují širší pracovní možnosti. Lze je použít při vyšších řezných rychlostech než naše, a to i při relativně vysokých hodnotách trvanlivosti odpovídajících příslušným podmínkám obrábění.

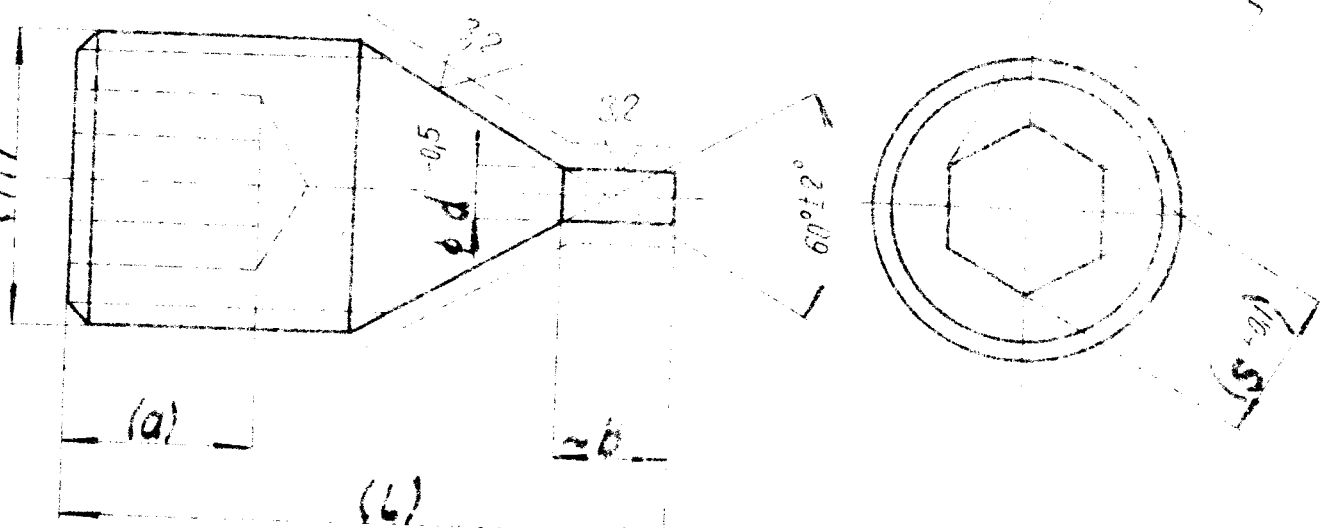
V práci je obsažena řada teoretických poznatků získaných rozborém upínacího systému, ale i množství poznatků z praktického měření, které by měly posloužit při dalším výzkumu obráběcích nožů s obdobným systémem upínání.

Literatura

- /1/ Zirm, H.: Stanovení potřebných upínacích sil břitových destiček seustružnických nožů. /diplomová práce VŠST/ Liberec 1980 - VSŠT, Fakulta strojní
- /2/ Gabriel, Vl.: - Gazda, J. - Kvapil, R.: Studium možnosti současného měření významných parametrů působících na nástroj. /výzkumná zpráva/ Liberec, VŠST 1977
- /3/ Strojnická příručka 6. Praha, SNTL 1957
- /4/ Höschl, C.: Pružnost a pevnost ve strojníctví. Praha, SNTL 1971
- /5/ Stržíž, B. a kol.: Pružnost a pevnost - druhý díl. VŠST, Liberec 1980
- /6/ Pospíšil, F.: Závity, šrouby, matice a příslušenství. 1. vydání Praha 1975
- /7/ Gabriel, Vl. - Kvapilová, J.: Teplotní zatížení a pevnostní namáhání nožů nové konstrukce a frézovacích hlav. /výzkumná zpráva/ Liberec, VŠST 1973
- /8/ Vocel, M. - Dufek, V.: Tření a opotřebení strojních součástí. 1. vydání Praha 1976
- /9/ Rektorys, K. - et.al.: Přehled užité matematiky. 1. vydání Praha 1963
- /10/ Nářadí n.p., Praha, závod Děčín: Protokol o zkoušce č.73/80 1980
- /11/ Nářadí n.p., Praha, závod Děčín: Protokol o zkoušce č.53/78 1978

- /12/ Křemen, V.: Neže s VD negativní, unifikovaný systém upínání. /dílčí výzkumná zpráva/. Nářadí n.p. Praha, závod Děčín 1976
- /13/ Přikryl, Z. - Mušilková, R.: Teorie obrábění. 2. vydání Praha 1975
- /14/ Buda, J. - Bekés, J.: Teoretické základy obrábania kovov. 2. vydáni Bratislava 1977
- /15/ Bekés, J.: Inženierská technológia obrábania kovov. Bratislava 1981
- /16/ Bumbálek, B. - Unčevský, A.: Jakost povrchu soustružených ploch, výzkum vlivu nástroje a řezných podmínek na mikrogeometrii povrchu při soustružení. /dílčí výzkumná zpráva/. Brno, Výzkumný ústav 023 1977
- /17/ Metallwerk Plansee AG, Reute - Austria: Tizit 1978
- /18/ Gabriel, Vl. - Bukač, K.: Vypracování návrhu normy metodiky zkoušení řezivosti jednobřitých nástrojů ze slinutého karbidu a metodiky zkoušení obrobitelnosti kovových materiálů nástrojem ze slinutého karbidu. /závěrečná zpráva/. VŠST, Liberec 1974
- /19/ Techakert, P.: Směrnice pro zkoušky soustružnických nežů a fréz s VD. Nářadí n.p. Praha, závod Děčín 1974

53



POLE.	(M)	(6)	(a)	-b	+d	(S)	+0,1	(e)	OZNAČENÍ	CHM.	NK	POLOTOVAR
												SN 62 187 70
1	M6	12	4	2	1,3	3	3,5	US 08	0,001			M6 x 12
2	M8	16	5	3	1,5	4	4,7	US 09	0,004			M8 x 16
3	M10	25	6	5	2	5	5,8	US 07	0,01	411 943 01 0031		M10 x 25
4	M8	22	5	3	1,5	4	4,7	US 32	0,005	411 943 01 0035	5263	16 x 25

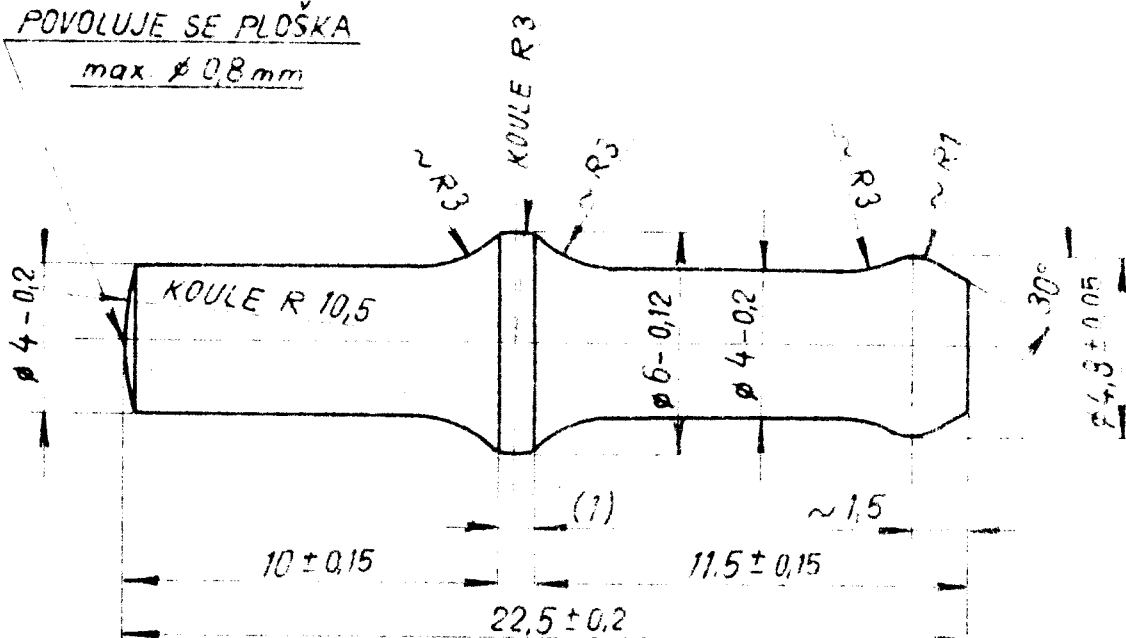
KALIT - POPUSTIT NA 380 + 1275 MP_a

$(100 \pm 135 \text{ kp/mm}^2)$

3,2/

POVOLUJE SE PLOŠKA

max. ϕ 0,8 mm



Oborové číslo
411943 03 0010

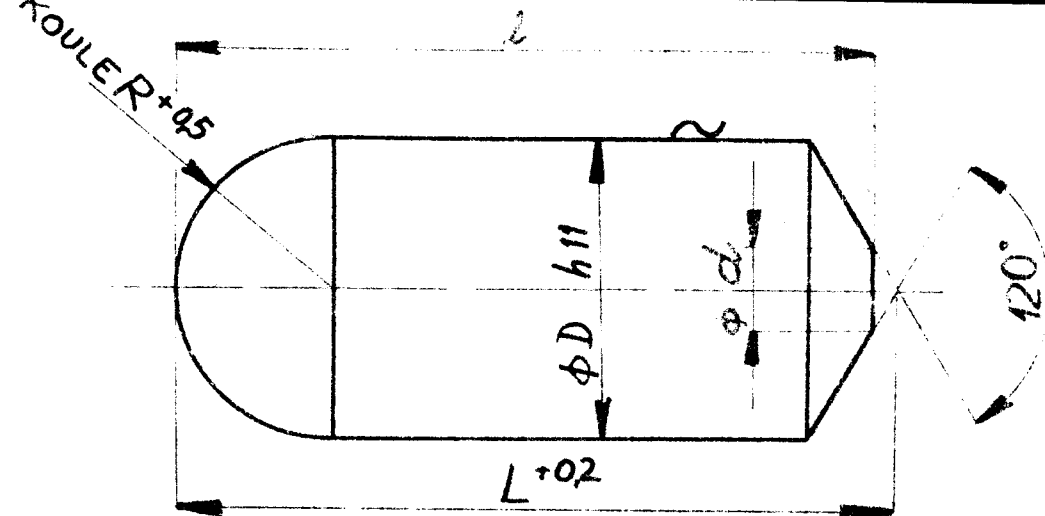
KALIT- POPUSTIT NA 1375 ÷ 1570 MPa (140 ÷ 160 kp/mm²)

1927-28 St. Paul's Presbytery No. 1
March 19, 1928, at 10 A.M.

UPÍNACÍ ČEP

UC 28

Tk 1418s/g

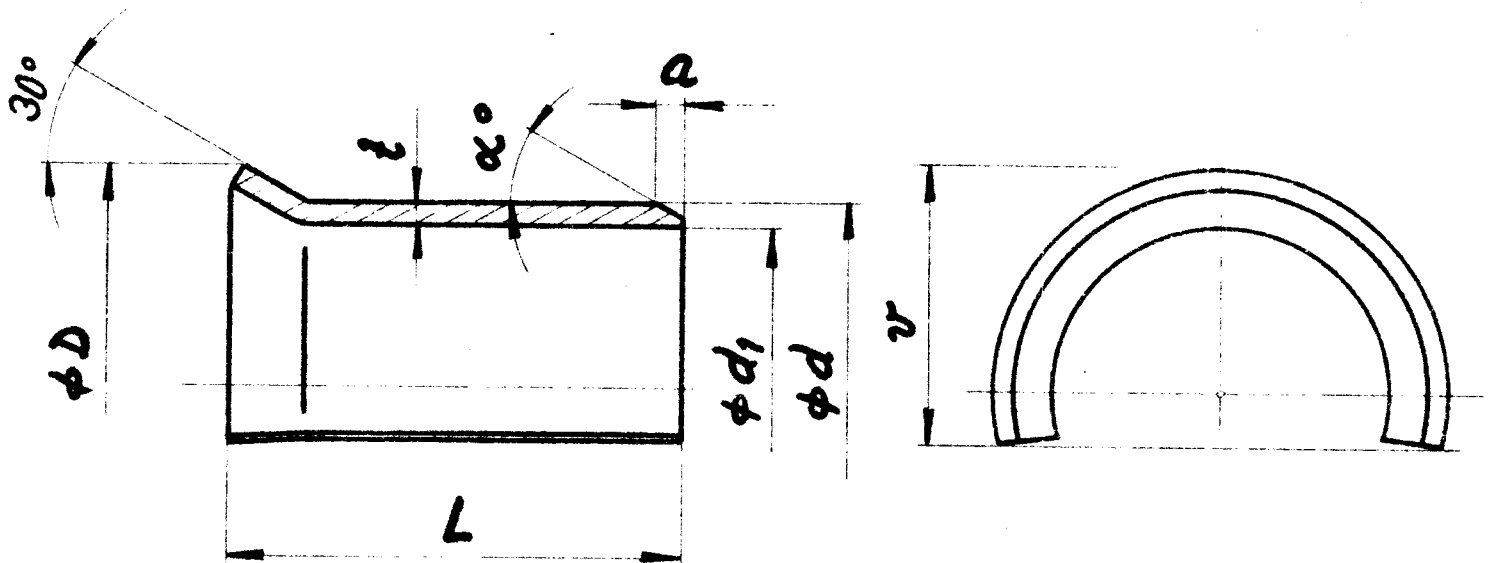


3,2

POL.	ϕD_{h11}	$R^{+0,5}$	$L^{\pm 0,2}$	ROZMĚR MATERIÁLU	OZNAČENÍ	JK	(L)	počet
1	3	1,5	10	$\phi 3 h11 \times 13$	K2		9,8	
2	4	2	9,2	$\phi 4 h11 \times 13$	K3		9	
3	4	2	11,6	$\phi 4 h11 \times 15$	K4		11,4	0,7
4	4	2	13,2	$\phi 4 h11 \times 16$	K5		3	
5	5	3	17,8	$\phi 5 h11 \times 20$	K6		17,4	
6	5	3	14,2	$\phi 5 h11 \times 16$	K7	411943030011	13,8	14
7	4	2	10,9	$\phi 4 h11 \times 14$	K8		10,7	0,7
8	6	3,5	12,7	$\phi 6 h11 \times 16$	K9		12,2	
9	6	3,5	15,8	$\phi 6 h11 \times 19$	K10		15,8	37
10	3	1,5	9,2	$\phi 3 h11 \times 13$	K11		9	0,7

KALIT NA 50÷55 HRc

Číslo číslo	Cíle výkresu detailu číslo normy	Počet kusů 1 prodejní	Součást	Material	Kat. odpadu	Rozměry metrické čís. modelu - závorky	Cíle výroba 1 kuse v kg	Poznámka zak číslo
19421	VIZ TAB							
Materiál	Kat. odpadu	Rozměry mat čís. modelu nebo závorky		Zakázkové číslo	Cíle výroba	Cíle číslo	Výkres zásvavy	
Stříbrný	Stříbrný	Stříbrný	C. snímku	DELENÝ KOLÍKU K7 ZE 19,6 NA 14,1	15,2	1	1	
				a				
				b				
				c				
				d				
				e				
				f				
				g				
				h				
				i				
				j				
				k				
				l				
				m				
				n				
				o				
				p				
				q				
				r				
				s				
				t				
				u				
				v				
				w				
				x				
				y				
				z				
				A				
				B				
				C				
				D				
				E				
				F				
				G				
				H				
				I				
				J				
				K				
				L				
				M				
				N				
				O				
				P				
				Q				
				R				
				S				
				T				
				U				
				V				
				W				
				X				
				Y				
				Z				
				A'				
				B'				
				C'				
				D'				
				E'				
				F'				
				G'				
				H'				
				I'				
				J'				
				K'				
				L'				
				M'				
				N'				
				O'				
				P'				
				Q'				
				R'				
				S'				
				T'				
				U'				
				V'				
				W'				
				X'				
				Y'				
				Z'				
				A''				
				B''				
				C''				
				D''				
				E''				
				F''				
				G''				
				H''				
				I''				
				J''				
				K''				
				L''				
				M''				
				N''				
				O''				
				P''				
				Q''				
				R''				
				S''				
				T''				
				U''				
				V''				
				W''				
				X''				
				Y''				
				Z''				
				A'''				
				B'''				
				C'''				
				D'''				
				E'''				
				F'''				
				G'''				
				H'''				
				I'''				
				J'''				
				K'''				
				L'''				
				M'''				
				N'''				
				O'''				
				P'''				
				Q'''				
				R'''				
				S'''				
				T'''				
				U'''				
				V'''				
				W'''				
				X'''				
				Y'''				
				Z'''				
				A''''				
				B''''				
				C''''				
				D''''				
				E''''				
				F''''				
				G''''				
				H''''				
				I''''				
				J''''				
				K''''				
				L''''				
				M''''				
				N''''				
				O''''				
				P''''				
				Q''''				
				R''''				
				S''''				
				T''''				
				U''''				
				V''''				
				W''''				
				X''''				
				Y''''				
				Z''''				

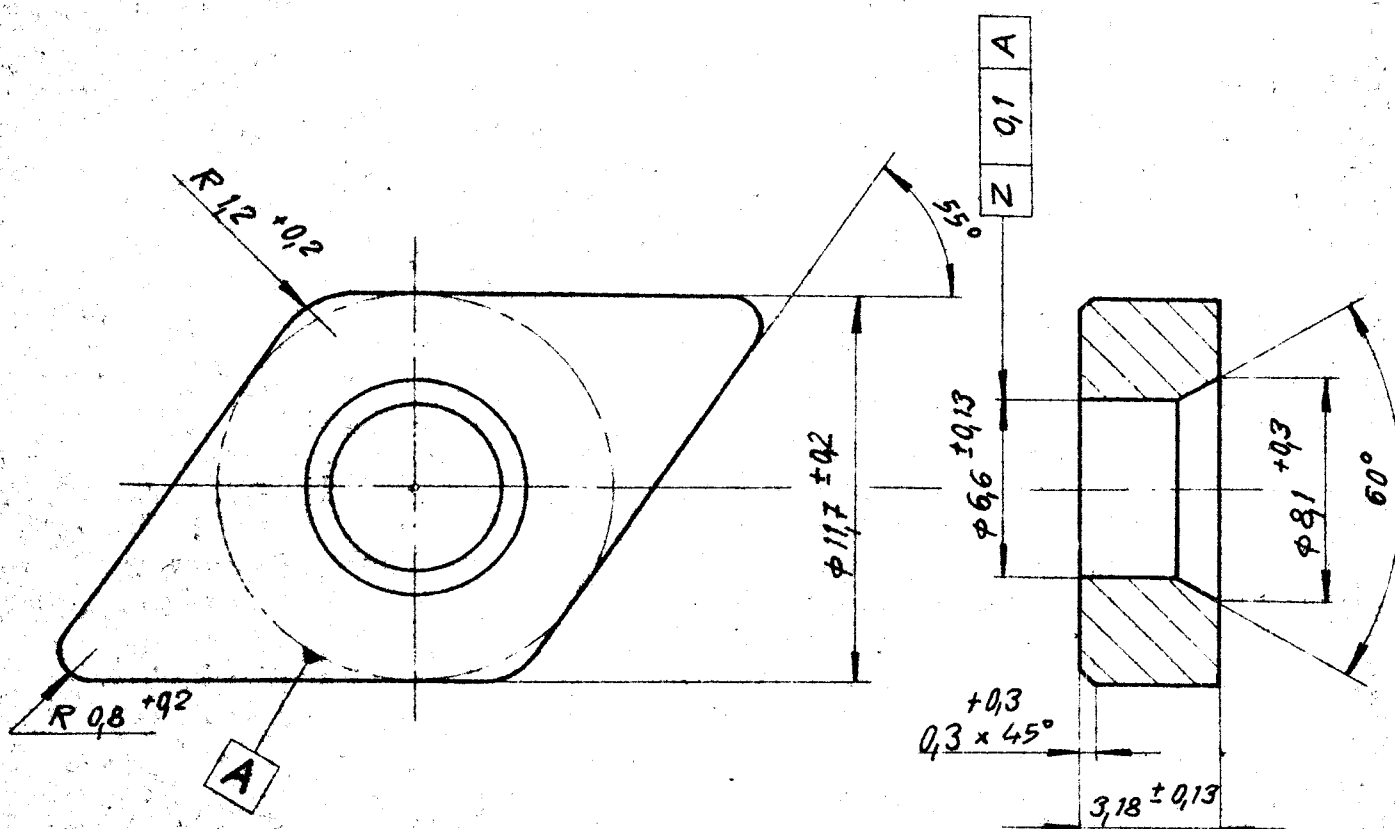


POL.	ϕd	ϕD	ϕd_1	L	v	a	t	α°	OZNACENÍ VÝROBCE	OZN.	ČJK
1	4,8	5,6	4,2	5,3	3,4	0,4	0,3	30	214.85.606	NT 04	
2	6,6	7,5	5,7	5,7	4,8	0,3	0,45	45	214.85.608	NT 05	
3	9,6	10,8	8,4	10,8	6,5	0,5	0,6	45	214.85.610	NT 06	
4	8,1	9,3	7,1	8,7	6,25	0,3	0,5	30	214.85.609	NT 07	
5	12,65	13,9	11,25	11,9	10,25	0,6	0,7	15	214.85.611	NT 08	
6	6,6	7,5	5,7	4,4	4,8	0,3	0,45	45	X	NT 09	411 943 050003

X UPRAVENC Z NÝTU 214.85.608 (NT 05)

ROZMĚRY JSOU ODMĚŘENY Z VÝROBKU FY. KRUPP!

Číslo části	Číslo výkresu detailu	II. 1. 1. 1. 1.	Součást	Materiál	Kat. odpadu	Rozměry materiálu čís. modelu - zkouš.	Čistá váha 1 kuse v kg	Poznámka	
								zak. číslo	
Materiál	Kat. odpadu	Rozměry mat. čís. modelu nebo zápatky			Zákazkové číslo	Čistá váha	C. části	Výkres sestavy	
Materiál	Kreslil				Č. snímku				
Přezkoušel	<i>Kaljek</i>								
Norm. ref.									
Výr. projedn	Schválil				C. transp.				
Dne		19.2.79							
						DOPLNĚNA POL. 4,5			149,79 Kč
		Typ	Starý výkres			Nový výkres			
NÁRADÍ n.p. DĚČÍN		Název							
						Tk 1439 s			
DUTÝ NÝT									

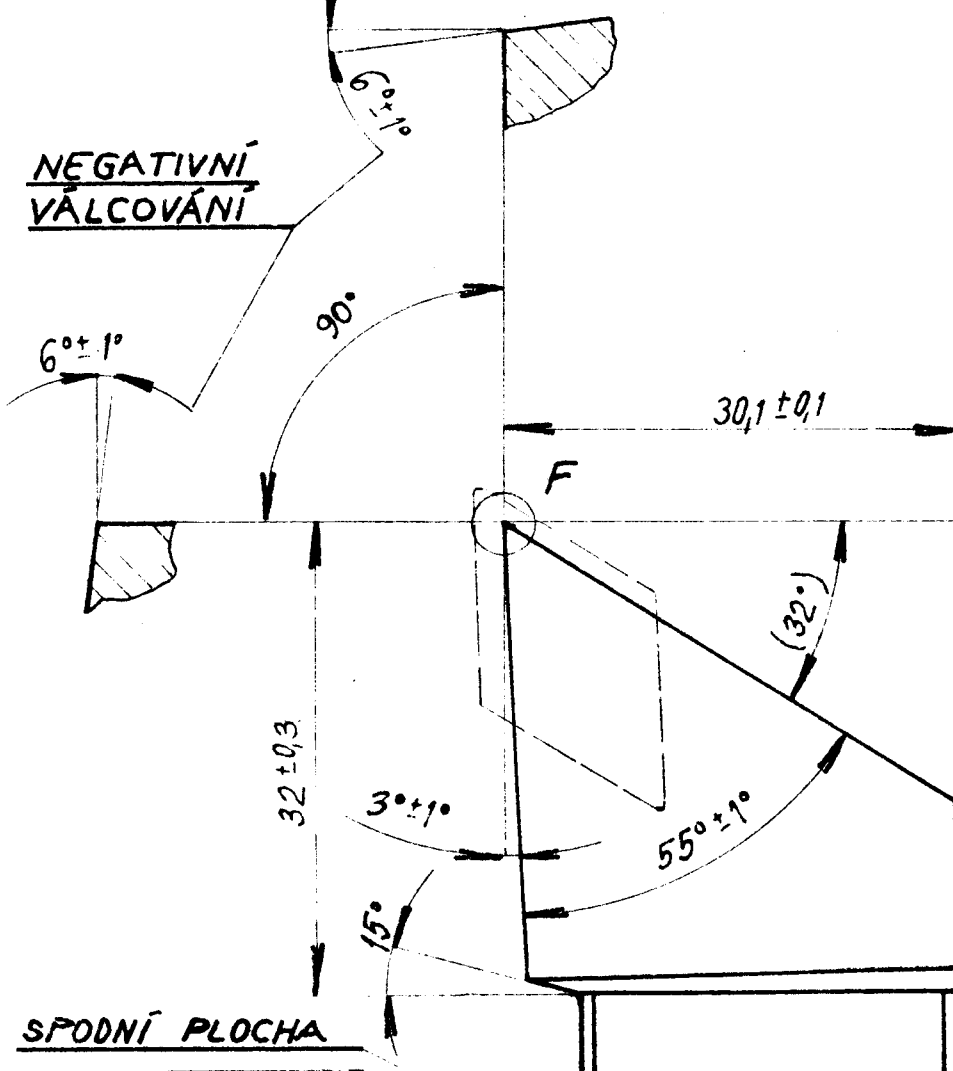


OZNACENÍ: DNU 15 03 08

PROVEDENÍ PODLE PN 220902

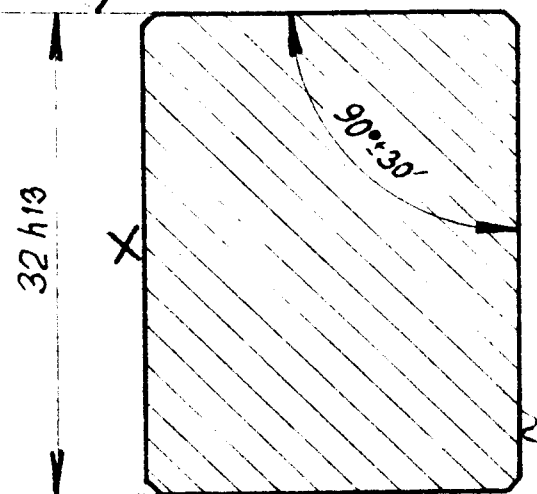
PROVÉS
SEDLA

NEGATIVNÍ
VALCOVÁNÍ



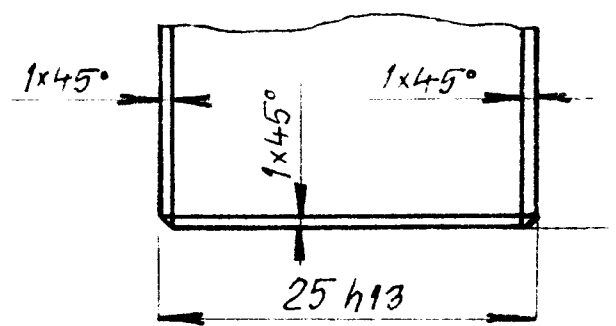
SPODNÍ PLOCHA

0,2
VYDUTÉ

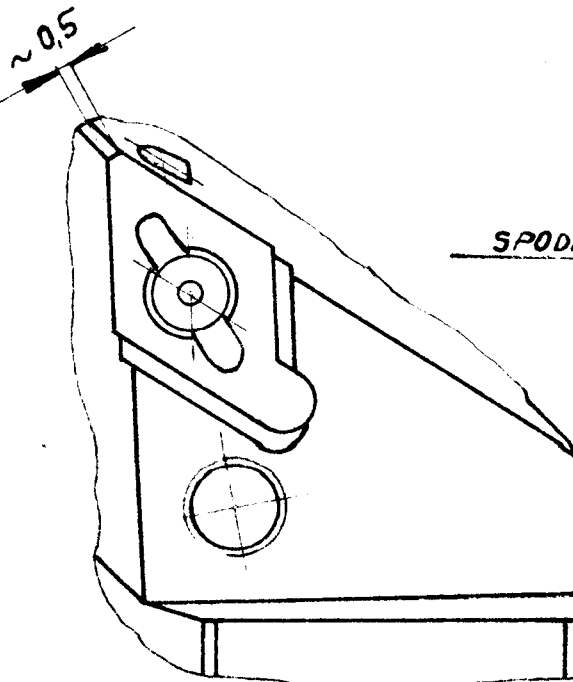


$L \pm 0,7$

(~37,5)



T PO FRÉZOVÁNÍ
PRO SK



SPODNÍ PLOCHA PŘED PÍSKOVÁNÍM 3/2/

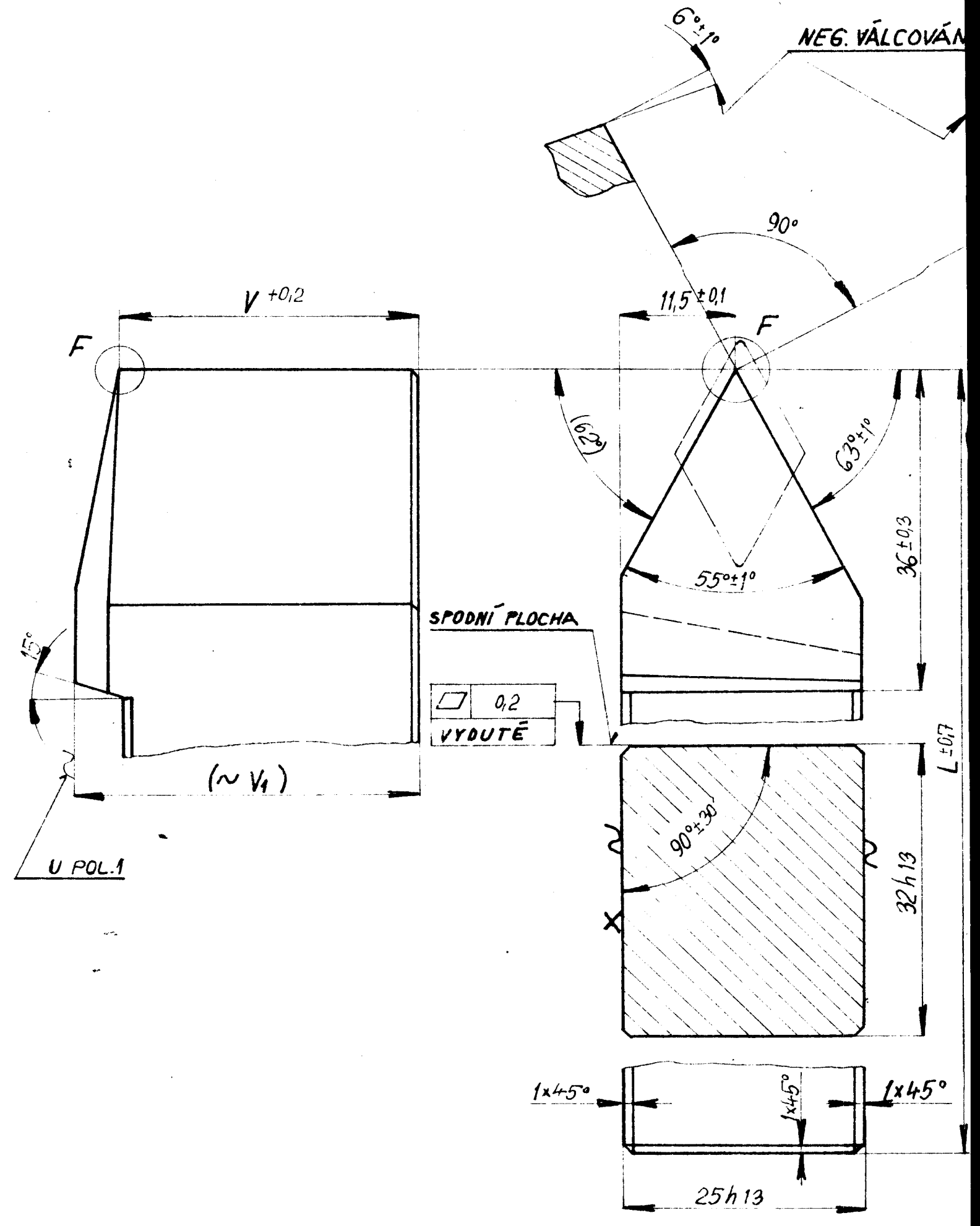
25 h 13 (0,000
- 0,330)
32 h 13 (0,000
- 0,390)

POL.	L ^{±0,7}	ROZMĚR MAT.	OZNACENÍ	POZNÁMKA
1	169	40x32x192 taž. h11	PN 0528 32 25x170	BEZ SEŘÍZ. ŠROUBU
2	139	40x32x142 taž. h11	PN 0528.0 32 25x140	OTVORY PRO SROUBY DLE TK 14725/3

SEDLO PRO SK A OTVORY PRO UPIŇACÍ MECHANISMUS
DLE TK 15 990s/3; NEKÓTOVANÉ HRANY SRAZIT 0,3x45°
KAL. - POP. NA 1175 ÷ 1375 MPa (120 ÷ 140 kp/mm²), ČERNIT!

X OZNAČIT: ZNAK ZÁVODU - PN - ROZMĚR (VEL. PÍSMENY 3mm)

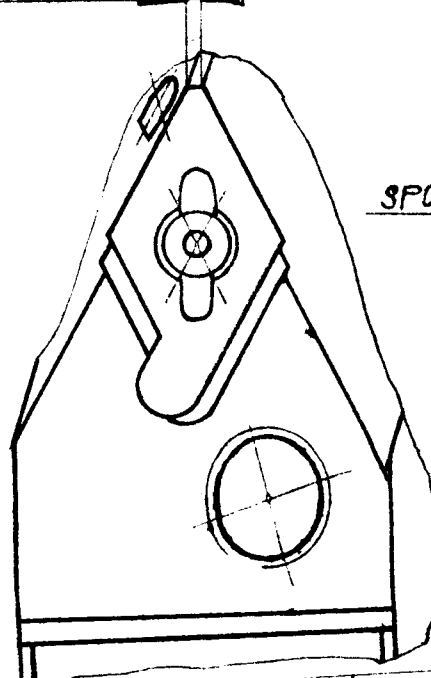
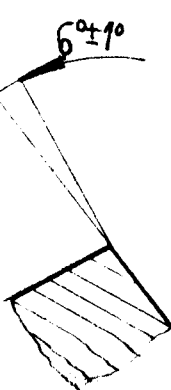
Cílo části	Cílo výkresu detailu čílo sestavy	Př. P. I.	Součást	Materiál	Kat. edice	Rozměry materiálu zíro modelu závisej	Cílo výkresu čílo sestavy	Poznámka
15260.3	VIZ TAB.						1 TK 160723/19- 1 TK 160733/7	
Material	Kat. odpadu	Rozměry mat. zíro modelu nebo zápusťky		Zakázkové čílo	C. výkresu			
Měřítko	Kreslil <i>Sečerková</i> Přesnění Mínus 1%	číslo		E				
2:1		12.8.81.		F				
		Type	PRAVÝ 32x25	G				
NÁRADÍ a.p. DECIN		KOPÍROVACÍ NŮŽ TELESO		H				
				I				
				J				
				K				
				L				
				M				
				N				
				O				
				P				
				Q				
				R				
				S				
				T				
				U				
				V				
				W				
				X				
				Y				
				Z				
				A				
				B				
				C				
				D				
				E				
				F				
				G				
				H				
				I				
				J				
				K				
				L				
				M				
				N				
				O				
				P				
				Q				
				R				
				S				
				T				
				U				
				V				
				W				
				X				
				Y				
				Z				
				A				
				B				
				C				
				D				
				E				
				F				
				G				
				H				
				I				
				J				
				K				
				L				
				M				
				N				
				O				
				P				
				Q				
				R				
				S				
				T				
				U				
				V				
				W				
				X				
				Y				
				Z				
				A				
				B				
				C				
				D				
				E				
				F				
				G				
				H				
				I				
				J				
				K				
				L				
				M				
				N				
				O				
				P				
				Q				
				R				
				S				
				T				
				U				
				V				
				W				
				X				
				Y				
				Z				
				A				
				B				
				C				
				D				
				E				
				F				
				G				
				H				
				I				
				J				
				K				
				L				
				M				
				N				
				O				
				P				
				Q				
				R				
				S				
				T				
				U				
				V				
				W				
				X				
				Y				
				Z				
				A				
				B				
				C				
				D				
				E				
				F				
				G				
				H				
				I				
				J				
				K				
				L				
				M				
				N				
				O				
				P				
				Q				
				R				
				S				
				T				
				U				
				V				
				W				
				X				
				Y				
				Z				
				A				
				B				
				C				
				D				
				E				
				F				
				G				
				H				
				I				
				J				
				K				
				L				
				M				
				N				
				O				
				P				
				Q				
				R				
				S				
				T				
				U				
				V				
				W				
				X				
				Y				
				Z				
				A				
				B				
				C				
				D				
				E				
				F				
				G				
				H				
				I				
				J				
				K				
				L				
				M				
				N				
				O				
				P				
				Q				
				R				
				S				
				T				
				U				
				V				
				W				
				X				
				Y				
				Z				
				A				
				B				
				C				
				D				
				E				
				F				
				G				
				H				
				I				
				J				
				K				
				L				
				M				
				N				
				O				
				P				
				Q				
				R				
				S				
				T				
				U				
				V				
				W				
				X				
				Y				
				Z				
				A				
				B				
				C				
		</						



(PROVĚST PO FRÉZOVÁNÍ SEDLA PRO SK) ~0,5

6,3

3,2



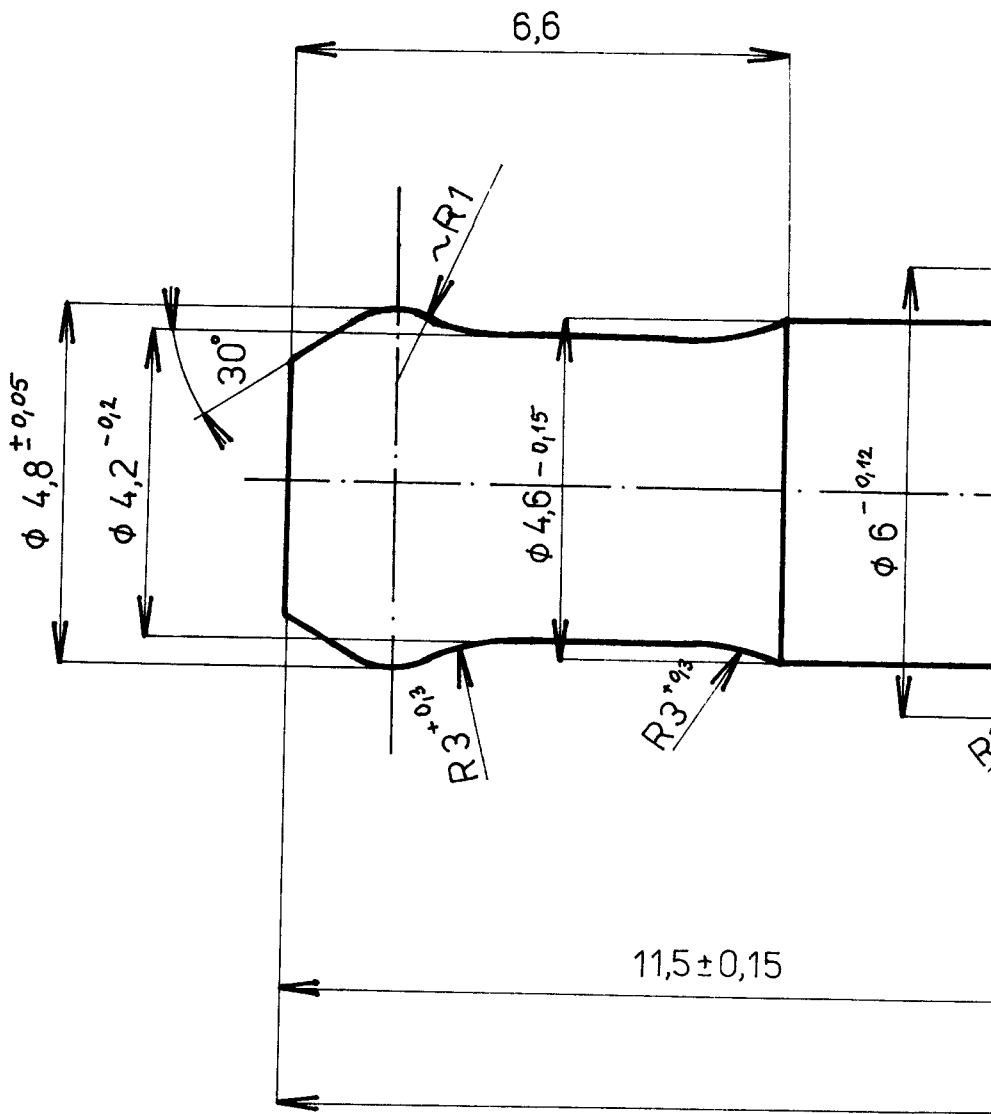
SPODNÍ PLOCHA PŘED PÍSKOVÁNÍM

<u>25 h 13</u>	(0,000 - 0,330)
<u>32 h 13</u>	(0,000 - 0,390)

POL.	L $\pm 0,7$	V $+0,2$ ($\sim V_1$) ROZMĚR MAT.	OZNAČENÍ	POZNÁMKA
1	99	35,4 40 40x25 taž. h11x102	PN 0527 32 25 x 100	BEZ SERIŽ. ŠROUBU
2	169	31,4 37,5 40x25 taž. h11x172	PN 0527 32 25 x 170	OTVORY PRO ŠROUBY DLE TK 1472 s/3
3	139	31,4 37,5 40x25 taž. h11x142	PN 0527.0 32 25 x 140	

SEDLO PRO SK A OTVORY PRO UPÍNACÍ MECHANISMUS
DLE TK 16034 s/2,3; NEKÓTOVANÉ HRANY SRAZIT 0,3x45°
KAL.-POP. NA 1175-1375 MPa (120-140 kp/mm²), ČERNIT!
X OZNAČIT: ZNAK ZÁVODU - PN - ROZMĚR (VEL. PÍSMEN 3 mm)

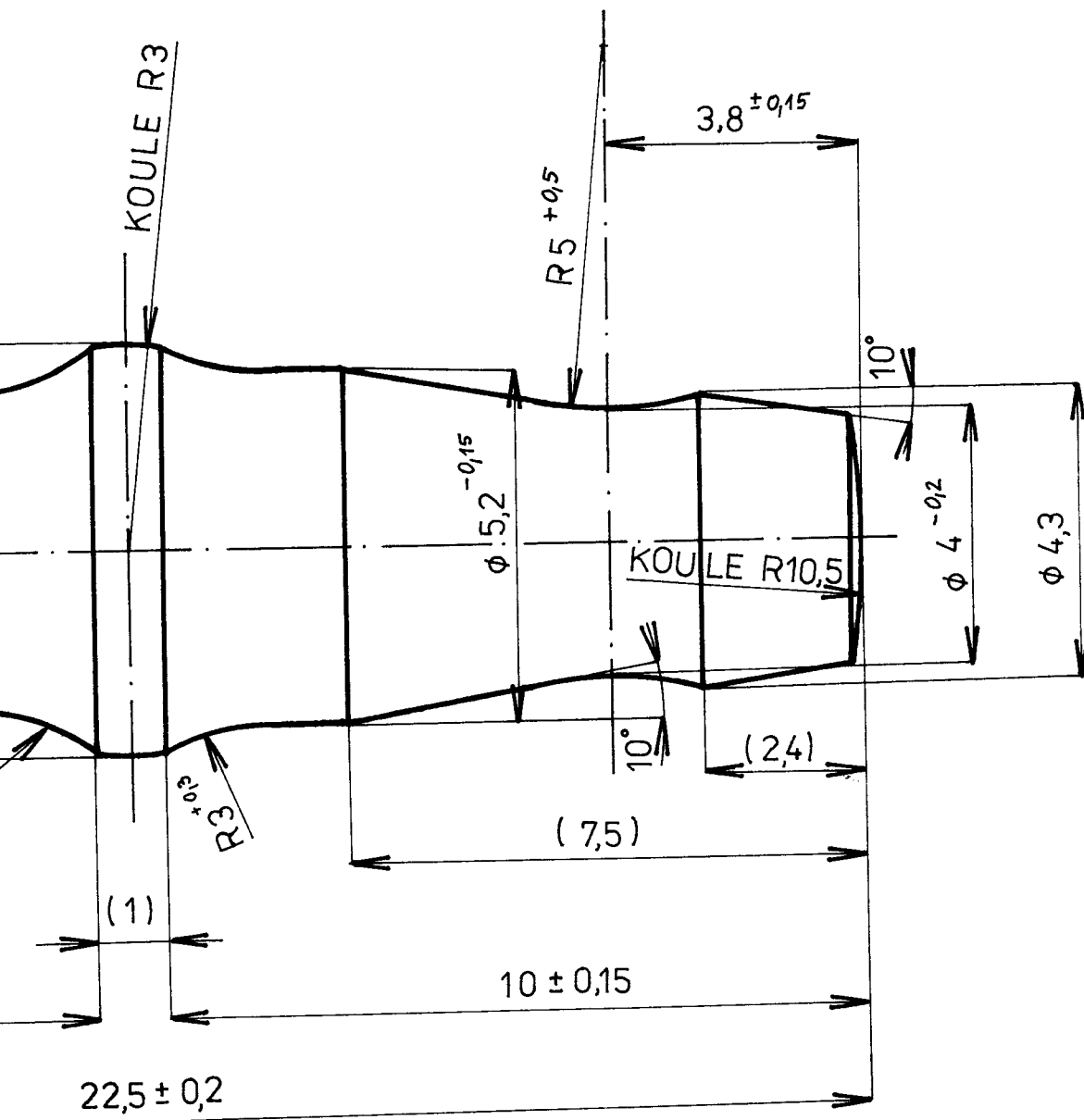
Cíle součtu	Cíle výkresu dílu čísla, názvy	III. II. I.	Pořadí k sprostředování	Součást	Materiál	Kat. edocebu	Rozměry materiálu čís. modelu - zárušník	Cílové váha 1 kusu v kg	Poručenka
15260.3	VIZ TAB.							TK 16072 s/46 TK 16073 s/44	
Materiál	Kat. odpradatel	Rozměry mat. čís. modelu nebo číspustky				Zakázkové číslo	Cílové váha		Výkres seřízen
Manuál	Kreslil J. Čecherka Dokumentoval K. Hendl			C. výměru		a			
						b			
						c			
						d			
						e			
						f			
						g			
						h			
						i			
						j			
						k			
						l			
						m			
						n			
						o			
						p			
						q			
						r			
						s			
						t			
						u			
						v			
						w			
						x			
						y			
						z			
						aa			
						bb			
						cc			
						dd			
						ee			
						ff			
						gg			
						hh			
						ii			
						jj			
						kk			
						ll			
						mm			
						nn			
						oo			
						pp			
						qq			
						rr			
						ss			
						tt			
						uu			
						vv			
						ww			
						xx			
						yy			
						zz			
						aa			
						bb			
						cc			
						dd			
						ee			
						ff			
						gg			
						hh			
						ii			
						jj			
						kk			
						ll			
						mm			
						nn			
						oo			
						pp			
						qq			
						rr			
						ss			
						tt			
						uu			
						vv			
						ww			
						xx			
						yy			
						zz			
						aa			
						bb			
						cc			
						dd			
						ee			
						ff			
						gg			
						hh			
						ii			
						jj			
						kk			
						ll			
						mm			
						nn			
						oo			
						pp			
						qq			
						rr			
						ss			
						tt			
						uu			
						vv			
						ww			
						xx			
						yy			
						zz			
						aa			
						bb			
						cc			
						dd			
						ee			
						ff			
						gg			
						hh			
						ii			
						jj			
						kk			
						ll			
						mm			
						nn			
						oo			
						pp			
						qq			
						rr			
						ss			
						tt			
						uu			
						vv			
						ww			
						xx			
						yy			
						zz			
						aa			
						bb			
						cc			
						dd			
						ee			
						ff			
						gg			
						hh			
						ii			
						jj			
						kk			
						ll			
						mm			
						nn			
						oo			
						pp			
						qq			
						rr			
						ss			
						tt			
						uu			
						vv			
						ww			
						xx			
						yy			
						zz			
						aa			
						bb			
						cc			
						dd			
						ee			
						ff			
						gg			
						hh			
						ii			
						jj			
						kk			
						ll			
						mm			
						nn			
						oo			
						pp			
						qq			
						rr			
						ss			
						tt			
						uu			
						vv			
						ww			
						xx			
						yy			
						zz			
						aa			
						bb			
						cc			
						dd			
						ee			
						ff			
						gg			
						hh			
						ii			
						jj			
						kk			
						ll			
						mm			
						nn			
						oo			
						pp			
						qq			
						rr			
						ss			
						tt			



KALIT - POPUSTIT NA $1375 \div 1570 \text{ MPa}$

$(140 \div 160 \text{ kp/mm}^2)$

3,2



$\phi 7,5 \times 25$ taž. h11

14 260

Bílkov

10:1

UC-28

VŠST
LIBEREC

UPÍNACÍ ČEP

3-KOM-0M-002/01